

**YILDIZ TEKNİK ÜNİVERSİTESİ**  
**FEN BİLİMLERİ ENSTİTÜSÜ**

**34707**

**STABİLİTE PROBLEMLERİNİN  
MATRİS METODLARI  
VE BAZI YAKLAŞIK METODLARLA  
İNCELENMESİ**

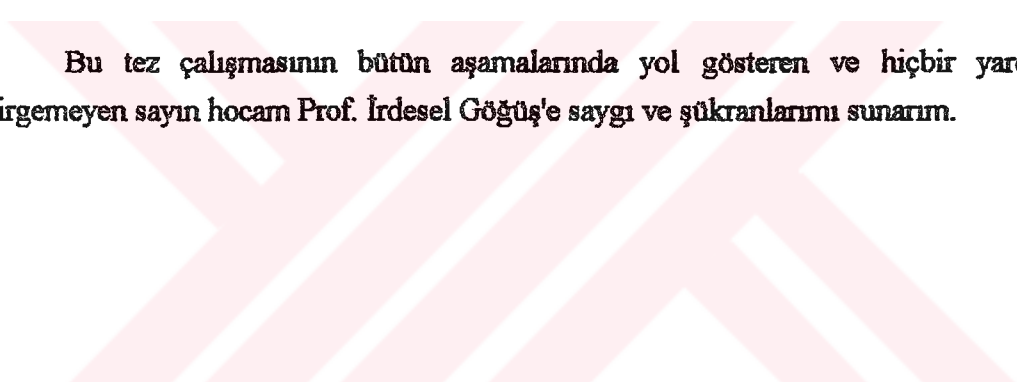
**İnş.Müh. Mustafa İPEKGİL  
F.B.E. İnşaat Mühendisliği Anabilim Dalında  
hazırlanan**

**YÜKSEK LİSANS TEZİ**

**Tez Danışmanı : Prof. İrdesel Göğüş**

**T.C. YÜKSEKÖĞRETİM KURULU  
DOKÜMANASYON MERKEZİ**

**İSTANBUL, 1994**



Bu tez çalışmasının bütün aşamalarında yol gösteren ve hiçbir yardımı esirgemeyen sayın hocam Prof. İrdesel Göğüş'e saygı ve şükranlarımı sunarım.

## **İÇİNDEKİLER :**

<b>1. ÖZDEĞERLER VE ÖZVEKTÖRLER ÜZERİNE GENEL AÇIKLAMA</b>	1
1.1. Problemin Tanımı ve Kavramlar	1
1.2. Özdeğerlerin Özellikleri	1
1.3. Özvektörlerin Özellikleri	2
1.4. Genel Özdeğer Problemlerinin Özel Özdeğer Problemine Dönüşürülmesi	3
1.4.1. ( $B^{-1}$ ) ile Çarparak Dönüşüm	6
1.4.2. Cholesky Yöntemi	6
1.5. Özdeğer Problemlerinde $\lambda_{\max}$ Hesabı İçin Yaklaşık Metodlar	6
1.5.1. Matrisin Karesini Alma Metodu	9
1.5.2. Kuvvet İterasyonu Metodu	9
1.5.3. Von Mises'in İteratif Çözümü	9
1.5.3.1. Genel Özdeğer Problemleri İçin Von Mises Çözümü	10
1.5.3.2. Özel Özdeğer Problemleri İçin Von Mises Çözümü	10
<b>2. ELASTİK STABİLİTE HAKKINDA GENEL AÇIKLAMA</b>	11
2.1. Stabilite Probleminin Genel Kavramları	11
2.2. Kararlılık Kavramı	12
2.3. Kararlılık Kriteri	12
2.4. Stabilite Problemlerinin Çeşitleri	16
2.5. Burkulma	17
<b>3. STABİLİTE PROBLEMINİN ÇÖZÜM YÖNTEMLERİ</b>	18
3.1. Diferansiyel Metod	18
3.1.1. Elastika	20
3.1.2. Kesme Kuvvetinin Kritik Yüke Etkisi	23
3.1.3. Kolon Hesapları	24
3.1.4. Burkulma Çarpanı İle Hesap	25
3.2. Matris Metodu	26
3.2.1. Varsayımlar	26
3.2.2. Temel Bağıntılar	26
3.2.3. Burkulma Determinantı ve Elastik Rijitlik Matrisi $K^e$ nin Oluşturulması	28
3.2.4. Çeşitli Mesnet Şartları İçin Çözüm	33
3.2.5. Burkulma Uzunluğu	36
3.2.6. Geometrik Rijitlik Matrisi $K_g$ nin Oluşturulması ve Çözüm	36
3.3. Mc Minn 'in Yaklaşık Stabilite Hesabı	40
3.3.1. Yanal Deplasman Yapmayan Sistemlerde Mc Minn Metodu	41
3.3.2. Yanal Deplasman Yapan Sistemlerde Mc Minn Metodu	49
<b>4. ELASTİK STABİLİTENİN SINIRI ve İNELASTİK STABİLİTE</b>	61
<b>5. SAYISAL UYGULAMALAR</b>	68
5.1. Matris Metodu İle Çözüm	68
5.2. Mc Minn Metodu İle Çözüm	74
5.3. T.S. 500 deki Abaklar Yardımıyla Çözüm	76
Sonuçlar ve Öneriler	
Kaynaklar	
Özgeçmiş	

## ÖZET:

Y.T.Ü Yüksek Lisans Tezi olarak hazırlanan bu çalışmada bir özdeğer problemi olan stabilité hesabı çeşitli metodlarla incelenmiştir.

Bunun için birinci bölümde özdeğer problemlerinin tanıtımı yapılmış, dönüşümleri ve temel çözüm yöntemleri hakkında bilgi verilmiştir. Bu bölüm içerisinde Cholesky ve Von Mises yöntemleri tanıtılarak pratik bir Cholesky programı hazırlanmıştır.

İkinci bölümde elastik stabilité hakkında temel bilgiler verilmiş, kararlılık kavramı, kararlılık kriteri ve stabilité probleminin çeşitleri incelenmiştir.

Üçüncü bölümde stabilité problemlerinin çözüm yöntemlerinden diferansiyel metod, matris metodu ve Mc Minn' in yaklaşık metodу incelenmiştir. Diferansiyel denklem metodunda farksız denge konumunda bulunan sistemin yakınında bulunan ikinci bir denge konumunun elastik eğrisinin diferansiyel denklemi aranmıştır. Matris metodunda önce yapılan varsayılm ve kabuller bildirilmiş, elastik rijitlik matrisi ve geometrik rijitlik matrisi oluşturularak elastik stabilitenin temel matrisiel bağıntısı elde edilmiştir. Daha sonra bir genel özdeğer problemi olan bu bağıntı, birinci bölümdeki yöntemlerle özel özdeğer problemine dönüştürülmüş ve çözüm elde edilmiştir.

Bu kesin çözüm yöntemlerinin yanında, yaklaşık bir yöntem olan Mc Minn' in metodу tanıtılmıştır. Bu metodd'a başlangıçta bir burkulma yük çarpanı seçilmiş, Livesley & Chandler tabloları kullanılarak sistem için bir rijitlik matrisi oluşturulmuş ve bu matristen hareketle elde edilen kriter değerlendirilerek sistemin o yük için stabil olup olmadığına karar verilmiştir. İşleme, burkulma kriterine ulaşılınca dek deneme-yanılma metoduyla devam edilerek kritik yük çarpanı elde edilmiştir.

Dördüncü bölümde elastik stabilitenin sınır ve inelastik stabilité konusunda temel bilgiler verilmiştir. Bu konuda yapılan teorik ve deneysel çalışmalar tanıtılarak amprik formüller ve tablolar verilmiştir.

Beşinci bölümde simetrik yükün ortogonal bir çerçeveyenin stabilité hesabı, üçüncü bölümde tanıtılmış olan metodlardan matris metodу ile, Mc Minn' in yaklaşık metodу ile ve T.S. 500 deki abaklar yardımıyla yapılarak sonuçlar karşılaştırılmıştır.

## SUMMARY :

In this study which is prepared for Y.T.U. master thesis, the stability problem is examined by various methods.

In the first section, the definition of eigenvalue problem is done and transformations and basic solutions of this problem are given. In this part, Cholesky and Von Mises methods are studied and a computer programme for Cholesky is written.

In the second section, basic parts of elastic stability is explained, stability concept, stability criterion and types of stability problem are introduced.

In the third section, for the solution of stability problems, differential method, matrix method and Mc Minn's approximate method are examined. In the differential method, the differential equation of the elastic curve of an another balance position near to the system which is in the indifferent balance position is searched. In the matrix method, the assumptions are notified and the basic matrixial equation of elastic stability is established by generating and using elastic and geometric stiffness matrices. Then this equation which is a kind of general eigenvalue problem is converted to a special eigenvalue problem which can be solved by using the methods explained in the first section.

Beside these exact solution methods, Mc Minn's approximate method is also explained. In this method, firstly a buckling load factor is chosen and stiffness matrix is formed for system by using Livesley and Chandler tables. And stability of the system is determined by analysing the criterion obtained from stiffness matrix. Trial and error method is used until the buckling criterion is reached, in order to obtain the critical buckling load factor.

In the fourth section, some basic informations are given about the elastic stability's limit and inelastic stability. Theoretical and experimental studies on this topic are introduced and empirical formulas and tables are given.

In the last section, stability calculation of a symmetric loaded orthogonal frame is done by previously explained methods (matrix method and Mc Minn's approximate method) and by the method in T.S.500. Then results are compared with the solution of matrix method which is the exact solution.

## 1. ÖZDEĞER VE ÖZVEKTÖRLER ÜZERİNE GENEL AÇIKLAMA

### 1.1. PROBLEMİN TANITIMI VE KAVRAMLAR

Yapısal mühendisliğin birçok problemlerinde, büyük önem taşıyan ve bu problemlerin çekirdeği olan bir soru ortaya çıkar. Kare ve keyfi olan, reel veya karmaşık olabilen A ve B matrisleri ile

$$(A - \lambda B)X = 0 \quad (1.1)$$

veya

$$AX = \lambda BX \quad (1.1')$$

şeklinde ifade edilebilen ve genel özdeğer problemi olarak adlandırılan denklemin çözüm kümesi olarak  $\lambda$  parametresi ile X vektörleri aranmaktadır. Uygulamada çoğunlukla B matrisi birim matris olduğundan veya birim matrise dönüştürülebildiğinden (1.1) denkleminin özel bir hali olan

$$(A - \lambda I)X = 0 \quad (1.2)$$

veya

$$AX = \lambda X \quad (1.2')$$

denklemi elde edilir. Eşdeğer olan (1.2) ve (1.2') denklemleri özel özdeğer problemi olarak adlandırılır. Problemin ayrıntılı şekli homojen karakterli olarak

$$\begin{aligned} (a_{11} - \lambda)X_1 + a_{12}X_2 + \dots + a_{1n}X_n &= 0 \\ a_{21}X_1 + (a_{22} - \lambda)X_2 + \dots + a_{2n}X_n &= 0 \\ \dots & \\ a_{n1}X_1 + a_{n2}X_2 + \dots + (a_{nn} - \lambda)X_n &= 0 \end{aligned} \quad (1.3)$$

şeklinde olup bu denklem sisteminin katsayılar matrisi olan

$$(A - \lambda I) = \begin{matrix} a_{11} - \lambda & a_{12} & \dots & a_{1n} \\ a_{21} & a_{22} - \lambda & \dots & a_{2n} \\ \dots & \dots & \dots & \dots \\ a_{n1} & a_{n2} & \dots & a_{nn} - \lambda \end{matrix} \quad (1.4)$$

matrisine A matrisinin karakteristik matrisi denir. (1.2) denkleminin, yalnız karakteristik matrisin determinantının sıfır eşit olması halinde sıfır özdeş olmayan X çözümleri vardır.

$$\begin{array}{cccc}
 a_{11}-\lambda & a_{12} & \dots & a_{1n} \\
 a_{21} & a_{22}-\lambda & \dots & a_{2n} \\
 \vdots & \vdots & \ddots & \vdots \\
 a_{n1} & a_{n2} & \dots & a_{nn}-\lambda
 \end{array}$$

$$P(\lambda) = \det(A - \lambda I) = \dots \quad (1.5)$$

Bu karakteristik determinant  $\lambda$  parametresine bağlıdır ve açılımı,  $\lambda$  ya göre  $n$ .inci dereceden bir polinomu ifade eder:

$$P(\lambda) = \det(A - \lambda I) = \lambda^n + a_{n-1}\lambda^{n-1} + \dots + a_1\lambda + a_0 \quad (1.6)$$

$A$  matrisinin bu karakteristik polinomu,  $n$  adet reel veya karmaşık  $\lambda_1, \lambda_2, \dots, \lambda_n$  köklerine sahiptir. Bu  $\lambda$  kök değerlerine  $A$  matrisinin özdeğerleri, bulunan her bir  $\lambda$  özdeğeriinin (1.3) denklem sisteminde yerine konması sonucunda hesaplanan  $X$  vektörlerine ise  $A$  matrisinin özvektörleri adı verilir.

## 1.2. ÖZDEĞERLERİN ÖZELLİKLERİ

$n \times n$  boyutlu kare ve keyfi  $A, B, C, \dots$  matrislerinin karakteristik polinom ve özdeğerlerinin özelliklerini söyle sıralanabilir:

Özellik 1.  $(A - \lambda I)$  matrisinin yalnız ve yalnız singüler olması halinde  $\lambda$ ,  $A$  nin bir özdegeridir.

Özellik 2.  $A$  matrisinin özdeğerlerinin toplamı matrisin izine eşittir:

$$\text{sp}(A) = \lambda_1 + \lambda_2 + \dots + \lambda_n$$

Özellik 3.  $A$  matrisinin özdeğerlerinin çarpımı matrisin determinantına eşittir:

$$\det A = \lambda_1 * \lambda_2 * \dots * \lambda_n$$

Özellik 4.  $A$  matrisinde  $\det A = 0$  ise mutlaka bir  $\lambda = 0$  özdegeri mevcuttur.

Özellik 5.  $A$  matrisinin derecesi  $r$  olduğuna göre

$$\lambda_i = 0 \text{ sayısı : } n - r \text{ dir.}$$

Özellik 6.  $A$  ve  $A^T$  aynı karakteristik polinoma ve özdeğerlere sahiptir.

Özellik 7.  $A \cdot B$  ve  $B \cdot A$  aynı karakteristik polinoma ve özdeğerlere sahiptir.

Özellik 8.  $P(\lambda) = \lambda^n + a_{n-1}\lambda^{n-1} + \dots + a_1\lambda + a_0$ ,  $A$  nin karakteristik polinomu ise

$$P(A) = A^n + a_{n-1}A^{n-1} + \dots + a_1A + a_0$$

olur. Yani her  $A$  matrisi kendi karakteristik denklemiğini sağlar. Bu özellik, Cayley-Hamilton Teoremi olarak adlandırılır.

### 1.3. ÖZVEKTÖRLERİN ÖZELLİKLERİ

Özellik 1. A matrisinin farklı  $\lambda_1, \lambda_2, \dots, \lambda_n$  özdeğerlerine karşılık gelen  $X_1, X_2, \dots, X_n$  özvektörleri birbirinden lineer bağımsızdır.

Özellik 2. A matrisinin n adet lineer bağımsız  $X_1, X_2, \dots, X_n$  özvektörlerinin birleşiminden oluşan n\*n boyutlu X matrisi için

$$D = X^{-1} A X$$

yazılabilir. D diagonal bir matristir ve ana diagonalının üzerindeki elemanlar,  $\lambda_1, \lambda_2, \dots, \lambda_n$  şeklinde A matrisinin özdeğerleridir. Her real A matrisi bu yöntemle diagonal hale getirilebilir.

Özellik 3. A matrisinin simetrik olması durumunda  $X_1, X_2, \dots, X_n$  özvektörleri karşılıklı ortogonalıdır.

İspat : A matrisinin farklı  $\lambda_1, \lambda_2$  özdeğerlerine karşılık gelen özvektörler  $X_1, X_2$  olsun.  $A \cdot X_1 = \lambda_1 \cdot X_1$ ,  $A \cdot X_2 = \lambda_2 \cdot X_2$  ifadeleri için özvektörler  $X_1$  ve  $X_2$  nin

$$X_2^T \cdot X_1 = 0$$

ortogonalilik durumunu araştıralım. İkinci eşitliğin transpozesini alırsak,

$$X_2^T \cdot A^T = \lambda_2 \cdot X_2^T \text{ olur.}$$

A matrisi simetrik olduğundan  $A = A^T$  dir. Bunu yerine koyarsak,

$$X_2^T \cdot A = \lambda_2 \cdot X_2^T \text{ olur.}$$

her iki tarafı  $X_1$  ile çarpalım

$$X_2^T \cdot A \cdot X_1 = \lambda_2 \cdot X_2^T \cdot X_1$$

Buradan  $(\lambda_1 - \lambda_2) \cdot X_2^T \cdot X_1 = 0$  elde edilir.

$\lambda_1 \neq \lambda_2$  olduğundan  $X_2^T \cdot X_1 = 0$  olur.

**ÖRNEK . Karakteristik denklemle özdeğerin ve özvektörün hesabı**

$$A = \begin{bmatrix} 3 & 1 & 0 \\ 1 & -1 & 1 \\ 2 & 0 & 1 \end{bmatrix}$$

A matrisini (1.2) nolu özel özdeğer problemine uygulayalım.

$$(A - \lambda \cdot I) \cdot X = 0$$

$$\left( \begin{bmatrix} 3 & 1 & 0 \\ 1 & -1 & 1 \\ 2 & 0 & 1 \end{bmatrix} - \lambda \cdot \begin{bmatrix} 1 & 0 & 0 \\ 0 & 1 & 0 \\ 0 & 0 & 1 \end{bmatrix} \right) \cdot \begin{bmatrix} x_1 \\ x_2 \\ x_3 \end{bmatrix} = 0$$

Burada karakteristik matris

$$(A - \lambda I) = \begin{bmatrix} 3 - \lambda & 1 & 0 \\ 1 & -1 - \lambda & 1 \\ 2 & 0 & 1 - \lambda \end{bmatrix}$$

şeklindedir ve özdeğerlerin (1). özelliğinden , özdeğerlerin mevcut olabilmesi için bu karakteristik matrisin singüler olması gereklidir.

$$P(\lambda) = \det(A - \lambda I) = -\lambda^3 + 3\lambda^2 + 2\lambda - 2 = 0$$

Bu durumda  $\lambda_1, \lambda_2, \lambda_3$  olarak 3 tane özdeğer vardır.

$$\lambda_1 = -1$$

$$\lambda_2 = 2 + \sqrt{2}$$

$$\lambda_3 = 2 - \sqrt{2}$$

**Kontrol :**

özellik (2) ye göre

$$\text{sp}(A) = \lambda_1 + \lambda_2 + \lambda_3$$

$$3 - 1 + 1 = -1 + (2 + \sqrt{2}) + (2 - \sqrt{2})$$

$$3 = 3$$

özellik (3) e göre

$$\det(A) = \lambda_1 * \lambda_2 * \lambda_3$$

$$-2 = -1 \cdot (2 + \sqrt{2}) \cdot (2 - \sqrt{2})$$

$$-2 = -2$$

Özellik (4) e göre       $\det A \neq 0$       olduğundan değeri sıfır olan bir özvektör yoktur.

Özdeğerler hesaplandıktan sonra herbiri (1.2) denkleminde yerine konarak , o özdeğere karşılık gelen özvektör bulunur.Burada  $\underline{X}_1$  ,  $\underline{X}_2$  ,  $\underline{X}_3$  gibi 3 özvektör vardır.

$\lambda_1 = -1$  için

$$(A - \lambda I) \cdot \underline{X} = \begin{bmatrix} 3 - (-1) & 1 & 0 \\ 1 & -1 - (-1) & 1 \\ 2 & 0 & 1 - (-1) \end{bmatrix} \begin{bmatrix} x_1 \\ x_2 \\ x_3 \end{bmatrix} = 0$$

$$4x_1 + x_2 = 0$$

$$x_1 + x_3 = 0$$

$$2x_1 + 2x_3 = 0$$

Özvektörlerin (1).özellikine göre farklı özdeğerlere ait özvektörler birbirinden lineer bağımsız olduğundan  $\underline{X}_1$  in bir değerini serbest seçebiliriz. Örneğin  $x_3 = \alpha$  diyalim. Buradan ,

$$x_1 = -\alpha, \quad x_2 = 4\alpha, \quad x_3 = \alpha \quad \text{bulunur.}$$

$$\underline{X}_1 = \alpha \begin{bmatrix} -1 \\ 4 \\ 1 \end{bmatrix}$$

Diğer özvektörler de ( $\underline{X}_2$  ve  $\underline{X}_3$ ) benzer şekilde bulunur.

## 1.4. GENEL ÖZDEĞER PROBLEMLERİNİN ÖZDEĞER PROBLEMİNE DÖNÜŞTÜRÜLMESİ

### 1.4.1. $(B^{-1})$ İLE ÇARPARAK DÖNÜŞÜM

$(A - \lambda B)X = 0$  genel özdeğer problemini soldan  $(B^{-1})$  ile çarparak özel özdeğer problemine dönüştürmek mümkündür.

$$(B^{-1} \cdot A - \lambda \cdot I) \cdot X = 0$$

Bu durumda özel özdeğer problemi için verilen kuralların hepsi genel özdeğer problemi için de geçerlidir. Ancak çözümde böyle bir dönüşümde kaçınılmaz. Çünkü nümerik olarak elverisizdir. A ve B simetrikse böyle bir dönüşüm yapıldığında  $(B^{-1} \cdot A)$  çarpımı simetrik olmayacağından hem simetri bozulmuş olur, hem de band yapısı bozulur. Bu durumda aşağıda gösterilen yönteme dönüşüm yapılması daha uygundur.

### 1.4.2. CHOLESKY YÖNTEMİ İLE DÖNÜŞÜM

$(A - \lambda B)X = 0$  genel özdeğer probleminde A matrisi simetrik ise

$$A = L \cdot L^T \quad (1.7)$$

şeklinde üçgen L matrisi ve transpozesinin çarpımı olarak ifade edilebilir.

L matrisinin elemanları aşağıdaki şekilde elde edilir :

$$L_{ii} = \sqrt{(A_{ii} - \sum_{k=1}^{i-1} L_{ik} \cdot L_{ik})} \quad L_{ij} = \frac{A_{ij} - \sum_{k=1}^{j-1} L_{ik} \cdot L_{jk}}{L_{jj}} \quad (i > j \text{ için}) \quad (1.8)$$

(1.7) dönüşümü sonucu genel özdeğer denklemi

$$L \cdot L^T \cdot X - \lambda \cdot B \cdot X = 0 \quad \text{haline gelir.}$$

$L^T \cdot X = Y$  dersek  $X = (L^{-1})^T \cdot Y$  olur. Bunlar yerine konursa,  
 $L \cdot Y - \lambda \cdot B \cdot (L^{-1})^T \cdot Y = 0$  bulunur.

Soldan  $L^{-1}$  ile çarparak ,

$$L \cdot Y - \lambda \cdot (L^{-1}) \cdot B \cdot (L^{-1})^T \cdot Y = 0 \quad (1.9)$$

olur. Burada (1.9) eşitliğinin her iki terimini  $\lambda$  ya bölersek ve

$$\tilde{A} = (L^{-1}) \cdot B \cdot (L^{-1})^T \quad \text{ve} \quad \Lambda = 1 / \lambda \quad \text{ile gösterilirse ,}$$

$$(\tilde{A} - \Lambda \cdot I) \cdot Y = 0 \quad (1.10)$$

şeklinde bir özel özdeğer problemine dönüşüm sağlanmış olur. Bu problemin özdeğer ve özvektörleri bulunduktan sonra

$$\lambda = 1 / \Lambda \quad \text{ve} \quad X = (L^{-1})^T \cdot Y \quad (1.11)$$

şeklinde geri dönüşüm ile genel özdeğer probleminin özdeğer ve özvektörleri bulunur.

ÖRNEK 2. Cholesky üçgenlere ayırma metoduyla dönüşüm

$$A = \begin{bmatrix} 3 & 0 & -1 & 1 \\ 0 & 6 & 3 & 2 \\ -1 & 3 & 2 & 1 \\ 1 & 2 & 1 & 10 \end{bmatrix}$$

$$L_{ii} = \sqrt{A_{ii} - \sum_{k=1}^{i-1} L_{ik}^2} \quad L_{ij} = \frac{A_{ij} - \sum_{k=1}^{j-1} L_{ik} L_{jk}}{L_{jj}} \quad (i > j \text{ için})$$

$$L_{11} = \sqrt{(3 - 0)} = 1.732 \quad L_{21} = \frac{0 - 0}{1.732} = 0 \quad L_{32} = 1.225$$

$$L_{22} = \sqrt{(6 - 0)} = 2.449 \quad L_{31} = \frac{-1 - 0}{1.732} = -0.577 \quad L_{42} = 0.816$$

$$L_{33} = \sqrt{6 - \sum (-0.577^2 + 1.225^2)} = 0.439 \quad L_{41} = 0.577 \quad L_{43} = 0.766$$

$$L_{44} = \sqrt{10 - \sum (0.577^2 + 0.816^2 + 0.766^2)} = 2.9$$

$$L = \begin{bmatrix} 1.732 & 0 & 0 & 0 \\ 0 & 2.449 & 0 & 0 \\ -0.577 & 1.225 & 0.439 & 0 \\ 0.577 & 0.816 & 0.766 & 2.9 \end{bmatrix} \quad LL^T = A = \begin{bmatrix} 3 & 0 & -1 & 1 \\ 0 & 6 & 3 & 2 \\ -1 & 3 & 2 & 1 \\ 1 & 2 & 1 & 10 \end{bmatrix}$$

L matrisi elde edildikten sonra Konu 1.4.2. de belirtilen şekilde dönüşüm ve geri dönüşüm gerçekleştirilerek özdeğer ve özvektörler bulunur.



## 1.5 ÖZDEĞER PROBLEMLERİNDE $\lambda_{MAX}$ HESABI İÇİN YAKLAŞIK METODLAR

Yukarıdaki metodlarla özdeğerlerin tümünün hesaplanması büyük boyutlu matrislerle çalışmayı gerektirir ve oldukça ugraştırıcıdır. Mühendislik problemlerinde de çoğu zaman özdeğerlerin en büyüğünün bilinmesi yeterli olmaktadır.

### 1.5.1. MATRİSİN KARESİNİ ALMA METODU

$(A - \lambda I)X=0$  problemi için

$$P=A^m \quad \text{ve} \quad Q=A^{m+1} \quad \text{ise}$$

$\lambda_{max}$ , herhangi bir  $Q_{ij}$  elemanının  $P_{ij}$  elemanına bölünmesi suretiyle bulunabilir

$$\lambda_{max} \cong Q_{ij} / P_{ij}$$

ÖRNEK 3.

$A = \begin{bmatrix} 3 & 2 \\ 1 & 2 \end{bmatrix}$  matrisinin en büyük özdeğerini 1.5.1. metodu ile bulalım.

$$A^2 = \begin{bmatrix} 11 & 10 \\ 5 & 6 \end{bmatrix}$$

$$A^4 = \begin{bmatrix} 171 & 170 \\ 85 & 86 \end{bmatrix}$$

$$A^8 = \begin{bmatrix} 43691 & 43690 \\ 21845 & 21846 \end{bmatrix}$$

$$A^8 \cdot A = A^9 = \begin{bmatrix} 174763 & 174762 \\ 87381 & 87382 \end{bmatrix}$$

$$174763 / 43691 = 3.999977$$

$$174762 / 43690 = 4.000046$$

$$87381 / 21845 = 4.00046$$

$$87382 / 21846 = 3.999908$$

Gerçek  $\lambda_{max}$  değeri tam 4 dür.

### 1.5.2. KUVVET İTERASYONU METODU

Matrisin karesini alma metoduna göre  $A^{m+1} \cong \lambda \cdot A^m$  olduğundan  $A^{m+1} \cdot y \cong \lambda \cdot A^m \cdot y$  yazabiliriz. Burada  $y$  keyfi bir kolon matrisidir.

ÖRNEK 4.

$$A = \begin{bmatrix} 3 & 2 \\ 1 & 2 \end{bmatrix} \quad \text{ve} \quad y = \begin{bmatrix} 1 \\ 1 \end{bmatrix}$$

$$A \cdot y = \begin{bmatrix} 5 \\ 3 \end{bmatrix} \quad A^2 \cdot y = A \cdot A \cdot y = \begin{bmatrix} 3 & 2 \\ 1 & 2 \end{bmatrix} \cdot \begin{bmatrix} 5 \\ 3 \end{bmatrix} = \begin{bmatrix} 21 \\ 11 \end{bmatrix}$$

$$A^3.y = \begin{bmatrix} 85 \\ 43 \end{bmatrix} \quad A^4.y = \begin{bmatrix} 341 \\ 171 \end{bmatrix}$$

$$\lambda_{\max} \approx 341/85 = 4.0118 \approx 171/43 = 3.9767$$

### 1.5.3. VON MISES'İN İTERATİF METODU

Bu yöntem özellikle stabilité problemleri için uygundur. Genel bir özdeğer probleminin çözümü A ve B matrislerinin simetrisi ve band yapısı bozulmadan yapılabilmektedir. Sonuçta en büyük özdeğer ve ona karşılık gelen özvektör elde edilmektedir.

#### 1.5.3.1. GENEL ÖZDEĞER PROBLEMLERİ İÇİN VON MISES ÇÖZÜMÜ

$(A - \lambda B)X=0$  problemi için  $\lambda_{\max} > 0$  ve X aranmaktadır.

I-) İterasyon başlangıcı :  $\lambda_0 > 0 \quad X_0 \neq 0$  dir.

II-) v. iterasyon

$$B.X_{v+1} = A.X_v$$

III-) Yaklaşık özdeğerin hesabı (Rayleigh faktörü)

$$\lambda_v = \frac{X_v^T \cdot A \cdot X_v}{X_v^T \cdot B \cdot X_v} = \frac{X_v^T \cdot B \cdot X_{v+1}}{X_v^T \cdot B \cdot X_v}$$

IV-) İterasyon sonu

$$|(\lambda_v - \lambda_{v+1}) / \lambda_{v-1}| < \text{hata sınırı}$$

#### 1.5.3.2. ÖZEL ÖZDEĞER PROBLEMLERİ İÇİN VON MISES ÇÖZÜMÜ

$(A - \lambda I)X=0$  problemi için  $\lambda_{\max} > 0$  ve X aranmaktadır.

I-) İterasyon başlangıcı :  $\lambda_0 > 0 \quad X_0 \neq 0$  dir.

II-) v. iterasyon

$$X_{v+1} = A.X_v$$

III-) Yaklaşık özdeğerin hesabı

$$\lambda_v = \frac{X_v^T \cdot A \cdot X_v}{X_v^T \cdot X_v} = \frac{X_v^T \cdot X_{v+1}}{X_v^T \cdot X_v}$$

IV-) İterasyon sonu

$$|(\lambda_v - \lambda_{v+1}) / \lambda_{v-1}| < \text{hata sınırı}$$

## 2. ELASTİK STABİLİTE HAKKINDA GENEL AÇIKLAMA

### 2.1. STABİLİTE PROBLEMİNİN GENEL KAVRAMLARI

Şekil değiştiren cisim mekanığında dış etkiler altında dengede bulunan bir sistem için iki önemli soru bahis konusu olabilir:

İlk soru ,sistemde zorlanmalar tehlikeli sayılan sınıra ne derece yakındır şeklärinedir. Bu sorunun cevabı sistemde iç kuvvet veya gerilme dağılışı ile ilgilidir.Eğer en büyük gerilme o cisim için izin verilen sınırı aşmış ise artık sistemde istenilen güvenlik kalmamış demektir.Bu problemlere kısaca gerilme problemi adını veriyoruz.

İkinci soru ise sistemin incelenen denge konumu acaba kararlı mıdır ,tarzundadır.Bu soru birinciden tamamen farklıdır.Eğer denge konumu kararlı değil ise sistem bu konumdan çok küçük ve bozucu etkilerle bir defa saptırılacak olursa ,tekrar ilk konuma geri dönmeye ve bu konumdan çok hızlı bir şekilde uzaklaşarak göçebilir.Bu gibi problemlere kısaca stabilité problemi diyoruz.

Esas olarak her iki problemdede yapının emniyeti bahis konusudur ; fakat sistemin tehlikeli duruma girmesinde rol oynayan unsurlar farklıdır.Birinci halde tehlikenin doğuşu sadece fazla gerilmeden ileri geldiği halde ikinciye buna denge konumunun kararsızlığı sebep olmaktadır.

Bu noktaları şu basit örnekler üzerinde de açıklayabiliriz :



Şekil 2.1

Şekil 2.1.a da Q yükü ile eğilen bir kirişin durumunu ele alalım.Burada I ile gösterilen denge konumunun kararlığı hakkında bir endişe sözkonusu olmaz.Cünkü kiriş geçici etkilerle I konumundan saptırılarak II ye getirilecek olursa ,etki ortadan kalkınca sistem tekrar I haline geri döner,yani I konumunu kararlıdır.O halde burada tek sorun ,kirişin eğilmeden doğan gerilmelerle kırılıp kırılmayacağıdır.

Şekil 2.1.b deki hale gelince ,eksenel P basınç kuvveti altında I ile gösterilen denge konumu daima kararlı değildir.Gecici sebeplerle çubuk I konumundan saptırılarak II durumuna getirilecek olursa ,bozucu etkiler ortadan kalksa bile çubuk her zaman ilk duruma geri dönmeyebilir.Örneğin P yükü çok büyük veya çubuk çok natın olursa I durumunun kararlılığının araştırılması gereklidir.

## 2.2 KARARLILIK KAVRAMI

Şekil 2.2.deki bilyenin çeşitli denge konumlarının incelenmesiyle kararlılık konusunda basit bir fikir elde edilebilir. Şekil 2.a. da bilye içbükey bir kapta I konumunda dengededir. Bu konumun kararlılığı hakkında bir yargıya varmak için cismin çok yakın II konumuna getirilip kendi haline bırakıldığını düşünelim. II ,bir denge konumu olmadığı için cisme etkiyen kuvvetler ona I konumu civarında bir titreşim hareketi verirler. Titreşimin sönümlü olduğunu kabul edersek cisim tekrar I denge konumuna döner. İşte böyle bir durumda I denge konumuna kararlı (stabil) denir.

Şekil 2.2.b durumunda ise sistem I denge konumuna çok yakın II gibi bir duruma getirilirse doğan hareket I civarında kalmaz ondan sürekli uzaklaşır. Bu takdirde I denge konumuna kararsız denir.

Şekil 2.2.c de ise I konumuna yakın alınan II konumunun kendisi bir denge konumu olduğu için cisim II den I konumuna tekrar dönmez. Bu durumda I denge konumu limit kararsız durumdur ve farksız denge durumu olarak nitelendirilir.

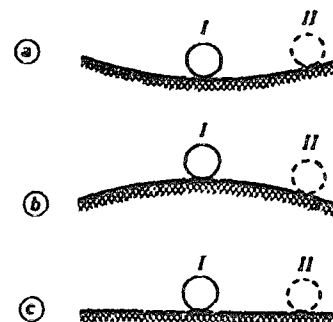
Bu basit örnektenden görüldüğü üzere verilen bir denge konumunun kararlılığı hakkında hüküm verebilmek için ona mutlaka sonsuz küçük bir bozucu etki uygulanması gereklidir. Geçici etkinin ortadan kalmasından sonra doğan hareketin karakteri kararlılık hakkında esas kriteri teşkil etmektedir. Sıtmalar küçük kalarak hareket hep denge konumu civarında bulunuyorsa yani bir titreşim hareketi varsa o zaman kararlı bir denge konumu vardır denir. Kararlı denge halinde sistemin potansiyel enerjisi minimum değere kararsız denge halinde ise maksimum değere sahiptir. Farksız denge halinde ise herhangi bir yerdeğiştirme enerjiyi değiştirmez.

## 2.3. KARARLILIK KRİTERİ

Bir denge konumunun kararlılığının araştırılmasında belli başlı şu metodlarla yaklaşılabilir :

- a)dinamik metod
- b)enerji metodu
- c)statik metod

Dinamik metodda bozulmuş konumun zamanla değişimi incelenirken enerji metodunda ise sistemin sahip olduğu toplam potansiyel enerjinin minimum oluşturan konumun kararlılığı için kriterdir. Statik metodda ise incelenen denge konumunun çok yakınında daha başka denge konumlarının bulunup bulunmadığı araştırılır.

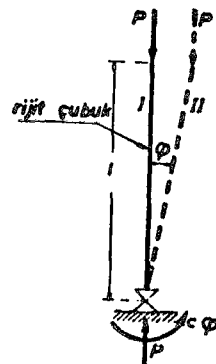


Şekil 2.2

Bu metodları şe<sup>k</sup>il 2.3 de verilen örnek üzerinde inceleyelim.

$\ell$  uzunluğunda bir çubuk elastik bir mafsalla mesnetlenmiştir.  $c$  elastik mafsalın sabitidir. Sisteme I konumunda düşey  $P$  yükü etkimektedir ve I konumunun kararlı olabilmesi için hangi şartı gerçekleme gereği araştırılmaktadır.

a) Dinamik metod : Konum yalnız  $\varphi$  açısıyla belirli olduğundan sistem bir serbestlik derecelidir. Sistemin  $\varphi = 0$  konumu etrafındaki hareketlerini yani  $\varphi(t)$  fonksiyonunu arayalım. Harekete katılan tek kitlenin çubugun ucunda olduğunu ve değerinin  $P/g$  olduğunu kabul edelim. Buna göre hareket denklemi :



Şe<sup>k</sup>il 2.3

$$\frac{P}{g} \cdot \ell^2 \cdot \frac{d^2\varphi}{dt^2} = -c \cdot \varphi + P \cdot \ell \cdot \sin \varphi \quad \text{veya} \quad \frac{d^2\varphi}{dt^2} + \frac{g}{P\ell^2} (c - P \cdot \ell \cdot \sin \varphi) = 0 \quad (2.1)$$

olur.  $\varphi=0$  civarında küçük sapmalı hareketler sözkonusu olacağından

$$\sin \varphi \approx \varphi \Rightarrow \frac{d^2\varphi}{dt^2} + \frac{g}{P\ell^2} (c - P \cdot \ell) \cdot \varphi = 0 \quad (2.2)$$

elde olunur. Hareketin tipi ikinci terimin işaretine bağlıdır. Bu terim pozitif olursa denklem

$$\frac{d^2\varphi}{dt^2} + \omega^2 \cdot \varphi = 0, \quad \omega^2 = \frac{g}{P\ell^2} (c - P \cdot \ell) > 0 \quad (2.3)$$

şeklinde,  $\varphi=0$  etrafında bir basit harmonik hareketi gösterir ve çözümü

$$\varphi = A \cdot \sin \omega t + B \cdot \cos \omega t$$

olur. Burada A ve B başlangıç şartlarına yani sonsuz küçük bozucu etkilere bağlıdır. Örneğin  $t=0$  için  $\varphi=0$  ve  $\dot{\varphi}=a$  seçilecek olursa  $A=a/\omega$ ,  $B=0$  olur.

$$\varphi(t) = a \cdot \sin \omega t / \omega \quad (2.4)$$

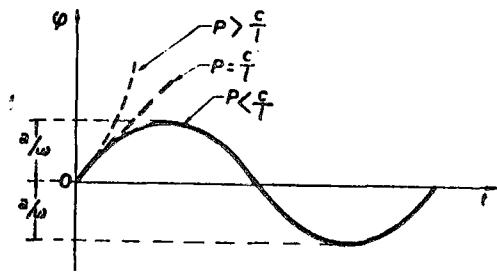
Burada a istenildiği kadar küçük seçilebilen başlangıçtaki açısal hızı gösterir. (2.4) denklemi grafik olarak şe<sup>k</sup>il 2.4 de gösterilmiştir. Kararlılığın tarifine göre yani hareketin hep  $\varphi=0$  etrafında kalabilmesi için (2.3) şartının sağlanması yeterlidir.

$$\omega^2 = \frac{g}{P\ell^2} (c - P \cdot \ell) > 0 \Rightarrow (c - P \cdot \ell) > 0 \text{ olmalıdır.}$$

O halde I konumu için kararlılık şartı

$$P < c/\ell \quad (2.5)$$

olarak bulunur. Yük şiddeti  $c/\ell$  ye ulaşır veya onu aşarsa ,hareket harmonik olmaktan çıkar ve denge konumu kararsız olur. Şe<sup>k</sup>il 2.4 de her üç durumda da başlangıç hızı a aynı olduğu halde hareket tipleri farklıdır.Zaten kararlılığa ait (2.5) kriterinde başlangıç hızının rolü yoktur.



Şekil 2.4

b) Enerji metodu : Şekil 2.3 deki sistemin toplam potansiyel enerjisini hesap edelim. Sistemde iç kuvvetlerin potansiyel enerjisi yalnız elastik mesnetteki yayda olup

$$\Pi_i = \frac{1}{2} \cdot c \cdot \varphi^2 \quad (2.6)$$

değerindedir. Dışey P dış kuvveti için potansiyel ise

$$\Pi_d = P \cdot \ell \cdot \cos \varphi \quad (2.7)$$

değerini alır. Burada mesnet seviyesinde potansiyel sıfır kabul edilmiştir. Toplam potansiyel enerji ise

$$\Pi(\varphi) = \Pi_i + \Pi_d = \frac{1}{2} \cdot c \cdot \varphi^2 + P \cdot \ell \cdot \cos \varphi \quad (2.8)$$

eder. Sistemlerin denge konumuna ait potansiyel enerjinin ekstrimum olduğunu mekaniğin genel bir prensibidir. Dirichlet' ye göre ekstrimum değer bir minimum ise o denge konumu kararlı olur. O halde (2.8) ifadesinin  $\varphi=0$  da bir minimuma sahip olabilmesi için

$$\frac{d\Pi}{d\varphi} = 0 \quad \text{ve} \quad \frac{d^2\Pi}{d\varphi^2} > 0 \quad (2.9)$$

şartları sağlanmalıdır.

$\varphi=0$  için  $\frac{d\Pi}{d\varphi} = c \cdot \varphi - P \cdot \ell \cdot \sin \varphi$  eder , yani I konumu daima bir denge konumudur. Şimdi dengenin kararlılığını araştıralım.

$$\left( \frac{d^2\Pi}{d\varphi^2} \right)_{\varphi=0} = (c - P \cdot \ell \cdot \cos \varphi)_{\varphi=0} > 0 \quad , \quad c - P \cdot \ell > 0 \quad (2.10)$$

Bu ,(2.5)de bulunan kararlılık kriterinin aynısıdır.

c) Statik metod : Bu metoda ,incelenen I denge konumunun çok yakınında II gibi başka denge konumlarının bulunup bulunmadığı araştırılır.Yani söz konusu durumun bir farksız denge konumu olması için icap eden şartlar incelenir.Bu limit kararsız durum yardımıyla da kararlılık kriterine geçilir.

II konumu için denge şartı olarak

$$P \cdot \ell \cdot \sin\phi - c\phi = 0 \quad (2.11)$$

$$P = c/\ell \cdot \phi / \sin\phi \quad (2.12)$$

yazılabilir.Aranan II konumu I konumuna çok yakın olduğundan  $\phi \rightarrow 0$  alırsak ,

$$P = \frac{c}{\ell} \left( \frac{\phi}{\sin\phi} \right)_{\phi \rightarrow 0} = \frac{c}{\ell} \quad \text{yazılabilir.O halde I konumunun farksız denge}$$

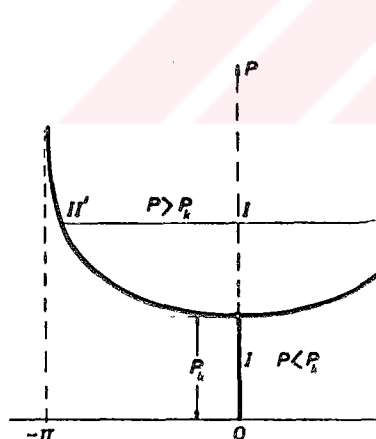
konumu olabilmesi için yükün

$$P_k = c/\ell \quad (2.13)$$

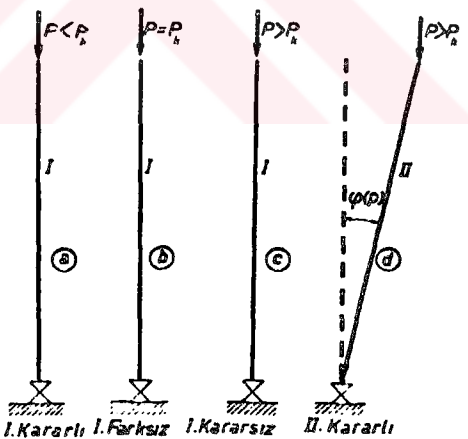
ile gösterilen kritik yük değerine ulaşması gereklidir.

$$P < c/\ell = P_k \quad (2.14)$$

ise civarda başka denge konumu bulunmaz.Tek denge konumu I dir.O halde (2.14) şartı kararlılık kriteridir ve diğer metodlarla bulunan sonucun aynısıdır.Denge konumlarını tarif eden (2.12) fonksiyonu şekil 2.5 de ( $P,\phi$ ) eksenlerinde grafik olarak temsil edilmiştir.



Şekil 2.5



Şekil 2.6

$P < P_k$  halinde denge ancak  $\phi=0$  için mümkün olduğundan eğri P eksenü üzerinde bulunur.  $P=P_k$  olunca I denge konumu farksız olur.Bu noktada  $P=P(\phi)$  eğrisi dallanmaya başlar.  $P > P_k$  halinde üç konum mümkündür.Bir tanesi kararsız olan I konumu ,diğer ikisi de  $\pm\phi$  ye karşılık gelen II ve II' kararlı konumlarıdır.Yük-sapma eğriletiindeki bu çok değerlilik  $P=P_k$  daki dallanmadan doğmuştur ve stabilitenin bu çeşidine dallanma tipi denir. Şekil 2.6 da ,anlatılan tüm bu denge konumları özetlenmiştir.

## 2.4. STABİLİTE PROBLEMLERİNİN ÇEŞİTLERİ

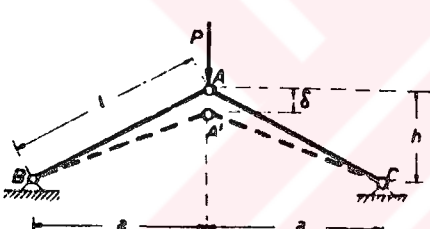
Stabilite problemleri kuvvet ile sapma arasındaki bağıntılarda mevcut olan çokdeğerlilik yönünden sınıflandırılabilir.

a) Dallanma tipi stabilite problemleri : Bu tipe şekil 2.3 deki basınç etkisindeki çubukta rastlamıştık. $P=P(\delta)$  eğrisi  $P=P_k$  noktasında dallanmakta ve aynı yüze üç ayrı denge konumu karşılık gelmektedir.

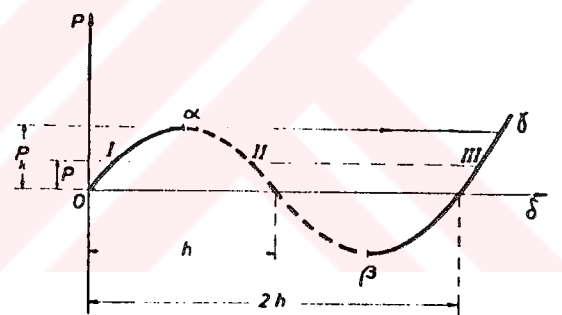
b) Vurgu tipi stabilite problemi : Burada da çok değerlilik sözkonusudur ama nedeni yük-sapma eğrisindeki çok değerlilik değildir. Şekil 2.7 deki iki elastik çubuk birleşimi örneğinde  $P=P(\delta)$  bağıntısını arayalım. Şekil değiştirmiş durum üzerindeki denge denklemleri yardımıyla bu bağıntı

$$P = 2EA \left( \frac{h-\delta}{\ell} \right) \left( \frac{\ell}{\sqrt{\ell^2 - 2h\delta + \delta^2}} - 1 \right) \quad (2.15)$$

olarak elde edilir. Burada denge denklemleri şekil değiştirmiş hal üzerinden elde edildiği için  $P$  ile  $\delta$  arasındaki bağıntı artık lineer degildir ve süperpozisyon geçmez.



Şekil 2.7

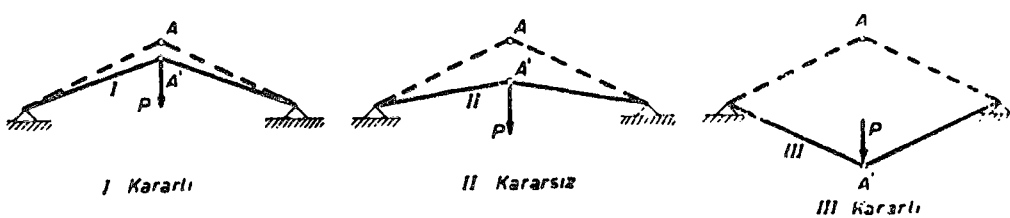


Şekil 2.8

(2.15) fonksiyonu  $(P, \delta)$  düzleminde gösterilirse şekil 8. deki eğri elde olunur. Bu eğri  $\delta$  ekseni  $\delta=0$ ,  $\delta=h$  ve  $\delta=2h$  gibi üç noktada keser. Bunlardan ilki  $P=0$ ,  $\delta=0$  gibi sistemin gerilmesiz durumudur. İkinci noktada  $P=0$  için  $\delta=h$  etmektedir. Bu durumda iki basınç çubuğu da aynı doğru üzerinde bulunmakta ve iç kuvvetler yalnız kendi aralarında denge yapmaktadır.  $\delta > h$  çokmeleri için  $P < 0$  olmakta, nihayet  $\delta=2h$  da sistem yine bir gerilmesiz hale ulaşmaktadır. Bu durumdan itibaren yük arttıkça monoton bir şekilde çokmenin de artışı devam eder.

Eğrinin  $0-\alpha$  arasındaki konumları hep kararlı olduğu halde  $\alpha-\beta$  arası tekrar kararlı denge konumlarına karşılık gelir. Durum  $\alpha$  ya ulaştığında sistem ani bir şekilde vurgu yaparak  $\gamma$  konumuna geçtiğinden,  $\alpha-\beta$  kararsız kolu üzerinde bir denge gerçeklemek mümkün değildir.  $P_\alpha = P_k$  değerine kritik vurgu yükü ve bu tür stabilite problemlerine vurgu stabilitesi adı verilir.  $P < P_k$  için şekil 2.8 den görüleceği üzere I, II, III gibi üç tane denge konumu sözkonusudur. Bunlardan I ve III kararlı olduğu halde II kararsızdır.

Şekil 2.9 da bu üç konum şematik olarak gösterilmiştir.



Şekil 2.9

## 2.5.BURKULMA

$P < P_k$  haliinde kararlı olan I denge konumu , yük  $P_k$  sınırına erişince farksız olur ve II ilke gösterilen diğer bir formu da alabilir.Yük sabit kalarak çubuğun doğru formdan eğilmiş bir forma geçmesine burkulma denir.Mühendis için önemli olan nokta , çubuğun burkulmaması için gerekli tedbirleri öngörmektir.Eğer çubuk burkulacak olursa eğri formdan gelen ikincil zorlamalar o kadar büyük olur ki , bunların etkisinde çubuk derhal harap olur.

Bir elastik çubukta gerilme veya stabilité problemlerinden hangisinin ön planda bulunduğuunu şu sayısal örnekle açıklayalım: 1 cm. x 1 cm. kare kesiti bir çelik çubuk ele alalım.Boyu 100 cm. olan bu çubuğun uçları şekil 10. daki gibi mafsallı olsun..Buna ait stabilité sınırını gösteren kritik yük ,175 kg. gibi küçük bir değerdir.Basınç gerilmesi yönünden hiç önemi olmayan bu durumda stabilité olayının ön planda olduğu açıklır.Fakat çubuk boyu 50 cm. veya 25 cm. seçilecek olursa kritik yük 700 kg. , 2800 kg. gibi değerler almaya başlar.Bu da çubuk boyu kısalıkça gerilme probleminin önem kazandığını gösterir.Özetle uzun ve narin bir çubukta stabilité ön planda gelen bir problem olduğu halde kısa ve ve bodur çubuklarda basınçtan ezilme ilk düşünülmeli gerekli tehlikedir.

### 3. STABİLİTE PROBLEMİNİN ÇÖZÜM YÖNTEMLERİ

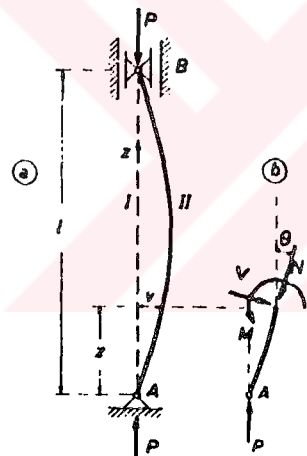
Bir stabilité probleminin çözümü yani sistemin güvenlikle taşıyabilecegi kritik yük  $P_k$  nin hesaplanması için çeşitli metodlar vardır.Bunlardan bazı temel metodlar şunlardır:

- a)diferansiyel denklem metodu
- b)matris determinant metodu
- c)enerji metodu
- d)varyasyon metodu
- e)yaklaşık metodlar

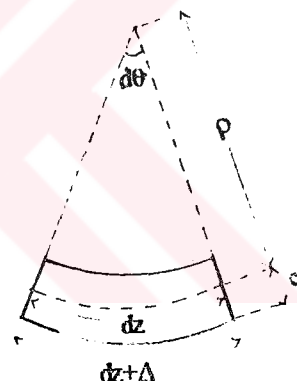
Bunlardan diferansiyel denklem metodu büyük sistemler için uygulanması imkansız hale gelecek kadar kullanışsızdır.Ancak stabilité teorisinin temelinin anlaşılabilmesi için çok önemli bir metoddür.

#### 3.1 DİFERANSİYEL METOD

Şekil 3.1 deki sistemin I denge konumunun hangi şartlar altında kararlı olacağını incelemek istiyoruz. I konumunun çok yakınında II ile işaretli bir denge konumunun daha bulunduğu ,diğer bir deyimle I konumunun farksız denge konumu olduğunu kabul edelim.



Şekil 3.1



Şekil 3.2

II denge formunu belirten  $v(z)$  elastik eğri fonksiyonunu arayalım.II formunda herhangi bir kesitteki iç kuvvetler , şekil 3.1.b den :

$$N = -P \cdot \cos\theta, \quad V = P \cdot \sin\theta, \quad M = P \cdot v$$

II eğrisinin I e çok yakın olduğu düşünülürse

$\theta \approx \tan\theta = v'$  ,  $\cos\theta = 1$  ve  $\sin\theta = \theta$  alınabilir.Bu durumda kesit tesirleri :

$$N = -P, \quad V = P \cdot v', \quad M = P \cdot v \quad (3.1)$$

II eğrisinin diferansiyel denklemini yazalım.Şekil 3.2 de II formundaki sistemden  $dz$  uzunlığında bir eleman alınmıştır. $d\theta$  merkez açısının çok küçük olduğu dikkate alınırsa

$$d\theta = \frac{dz}{\rho} = \frac{dz + \Delta}{\rho + c} \quad (3.2)$$

yazılabilir.Buradan

$$\frac{c}{\rho} = \frac{\Delta}{dz} \quad (3.3)$$

bulunur.  $\Delta/dz = \epsilon = \sigma/E$  olduğundan

$$c/\rho = \sigma/E \quad (3.4)$$

yazılabilir. (3.4) denkleminde  $\sigma = \frac{M}{I} \cdot c$  yi yerine koyarsak

$$\frac{1}{\rho} = \frac{M}{EI} \quad (3.5)$$

elde edilir.  $dz$  elemanın formu bir çember yayı kabul edilirse

$$\frac{1}{\rho} = \frac{\frac{d^2 v}{dz^2}}{\pm \left[ 1 + \left( \frac{dv}{dz} \right)^2 \right]^{3/2}} \quad (3.6)$$

yazılabilir. Burada  $(dv/dz)^2$ , 1 in yanında ihmal edilebilir :

$$\frac{1}{\rho} = \pm \frac{d^2 v}{dz^2} \quad (3.7)$$

(3.7) ve (3.5) denklemelerini eşitlersek

$$(d^2 v / dz^2) = -M/EI = -P \cdot v / EI \quad \text{veya}$$

$$\frac{d^2 v}{dz^2} + \frac{P}{EI} \cdot v = 0 \quad (3.8)$$

şeklinde elastik eğrinin diferansiyel denklemi elde edilir. Bunun sınır şartları iki tanedir :

$$v(0) = 0, \quad v(\ell) = 0 \quad (3.9)$$

ve (3.8) diferansiyel denkleminin çözümü :

$$v(z) = A \cdot \sin \lambda z + B \cdot \cos \lambda z \quad (3.10)$$

$$\text{burada} \quad \lambda^2 = P/EI \quad (3.11)$$

(3.10) çözümünde  $v(0) = 0$  sınır şartı için  $B = 0$  bulunur.

$$v(z) = A \cdot \sin \lambda z \quad (3.12)$$

$v(\ell) = 0$  sınır şartı için  $0 = A \cdot \sin \lambda \ell$  olur. Trivial olmayan çözüm için  $A \neq 0$  olması gereklidir. O halde  $\sin \lambda \ell = 0$  ise

$$\lambda \cdot \ell = n \cdot \pi \quad (3.13)$$

bultur. (3.11) ve (3.13) den yararlanarak

$$\lambda^2 = n^2 \pi^2 / \ell^2 = P/EI \quad \text{veya} \quad P = n^2 \cdot \frac{\pi^2 EI}{\ell^2} \quad (3.14)$$

şartı elde edilir. Başlangıçla I denge konumuna yakın başka denge konumlarının da bulunduğuunu varsayımyışık. O halde P yükü  $P_k$  ile gösterilen kritik değerlere eşit olmalıdır.

$$P_k = n^2 \cdot \frac{\pi^2 EI}{\ell^2} \quad n=1, 2, 3, \dots \quad (3.15)$$

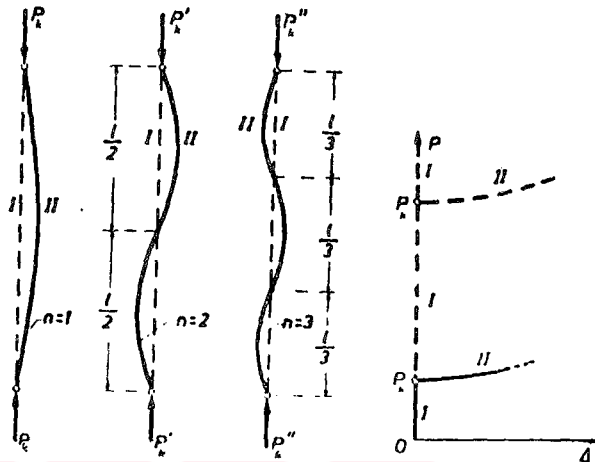
Çok sayıdaki bu özdeğerlere Euler kritik yükleri denir. Elastik çubugun I ile işaretlenen doğru formu

$P < P_k$  için kararlı

$P = P_k$  için farksız

$P > P_k$  için kararsız

olarak nitelendirilebilir. Şekil 3.3 de  $n=1$ ,  $n=2$  ve  $n=3$  için II denge formu çizilmiştir.  $n>1$  için olan kritik yüklerde yüksek kritik yükler adı verilir. En küçük kritik yükün 4, 9, 16, ... katlarıdır. Hepsi ara dönüm noktaları içerirler ve kararsız denge konumlarındır.



Şekil 3.3

Şekil 3.4

Basınç etkisindeki elastik çubugun karatılılık problemi dallanma tipindedir. Şekil 3.4 de  $n=1$  ve  $n=2$  halindeki kritik yüklerde ait iki dallanma eğrisi gösterilmiştir. Eğriye ait apsis ekseni en büyük sapma olan olan A genliğini ifade eder.  $P_k = \pi^2 \cdot EI / \ell^2$  ile gösterilen en küçük kritik yükte ilk dallanma olmakta ve II konumlarında A sıfırdan farklı değer almaktadır.  $P > P_k$  yükleri için artık I formu kararsızdır. Buna beraber  $P = P_k' = 4\pi^2 \cdot EI / \ell^2$  ve  $P = P_k'' = 9\pi^2 \cdot EI / \ell^2$  vs. gibi yüksek kritik değerlerde tekrar dallanmalar vardır. Fakat bu dallanmaların hepsi başladığı noktalar gibi kararsız durumlara karşılık gelirler ve teknik için önemli değildirler.

### 3.1.1. ELASTİKA

Yukarıda iki ucu mafsallı elastik çubugun I denge konumuna yakın olan II denge konumları incelenirken hesaplar lineer ve homojen diferansiyel denklemle yapıldı. Farksız denge konumunu belirten  $P_k$  kritik yükünü bu elemanter teori ile saptayabilmemize karşılık, A gibi bir sabit belirsiz kaldı. Bu sorun, eğriliği bulmak için yaklaşık olan  $d^2y/dx^2$  ifadesini kullanmış olmamızdan ileri gelmektedir. Eğer  $P \geq P_k$  yükleri için II denge formunu tam olarak bulmak istiyorsak, yukarıdaki elemanter teoriyi terketmek ve sapmaların sonlu olduğunu hesaba katarak daha kesin bir teori kurmak gereklidir.  $P \geq P_k$  yüklerine karşılık gelen bu sonlu sapmalı elastik eğriye elastika adı verilir. Şekil 3.5. de elastik eğrisi verilen basınç etkisindeki, iki ucu mafsallı elastik çubuğu inceleyelim. Buna ait diferansiyel denklem kurulurken sapmalar sonlu olduğu için moment - eğrilik bağıntısının (3.6) daki lineerleştirilmemiş ifadesi esas alınmalıdır. Yani,

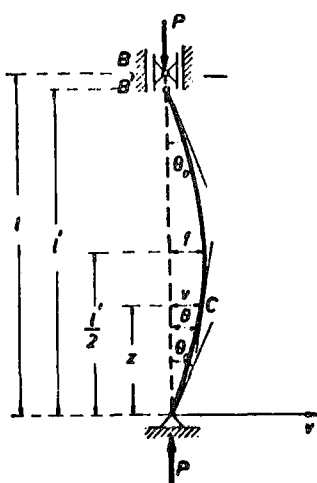
$$\frac{P \cdot v}{E \cdot I} = \frac{-v''}{(1+v'^2)^{3/2}}$$

diferansiyel denklemi ile  $v(0)=0$ ,  $v(\ell')=0$  sınır şartları söz konusu olacaktır. Problem bu haliyle nonlineer ve homojendir. Eğrinin herhangi bir noktasında teğetin eğimi açısı 0 ve eğri uzunluğu s ise

$1/\rho = d\theta/ds = -P \cdot v/EI$  veya  $d\theta/ds + P \cdot v/EI = 0$  yazılabilir.  $v$  yi yok etmek için tekrar türev alınır ve  $dv/ds = \sin \theta$  konursa

$$\frac{d^2\theta}{ds^2} + \frac{P}{EI} \sin \theta = 0 \quad (3.16)$$

denklemi bulumur. Bu denklemdeki sınır şartları  $s=0$  için  $\theta=\theta_0$  ve  $s=\ell/2$  için  $\theta=0$  (3.17) şeklindedir. Burada  $\theta_0$ , yalnız yükle bağlı bir parametredir ve başlangıçtaki teğetin açısını gösterir. (3.16) denklemi integre edilirse



Şekil 3.5

bulunur. Bu integral eliptik tiptendir ve normal forma sokularak tablo yardımıyla hesap edilir.  $s=\ell/2$  için  $\theta=0$  şartından yararlanarak  $\theta_0$  parametresine karşılık gelen P yükü elde edilir.  $\theta_0$  açısı sıfıra yaklaşacak olursa yük de  $P_k$  ile gösterilen kritik değere ulasılır. Bu kesin teori de kritik yük için (3.15) de bulunan değeri aynen verir. Elastik eğrinin koordinatları ise  $dz/ds = \cos \theta$ ,  $dv/ds = \sin \theta$  bağıntılarından yararlanarak

$$s = \int_0^{\theta_0} \frac{d\theta}{\sqrt{\frac{4P}{EI} (\sin^2 \frac{\theta_0}{2} - \sin^2 \frac{\theta}{2})}} \quad (3.18)$$

$$z = \int_{\theta_0}^{\theta} \cos \theta \cdot ds \quad \text{ve} \quad v = \int_{\theta_0}^{\theta} \sin \theta \cdot ds \quad (3.19)$$

integraliyle hesaplanır. Özetlersek elastikanın belirlenmesinde şu sıra izlenir:

- $\theta$  açısı belirlenir
- (3.16) denklemi çözülür.
- (3.17) denkleminde  $s=\ell/2$  için  $\theta=0$  şartından  $P$  elde edilir.
- (3.18) den  $v$  ve  $z$  koordinatları hesaplanır. Bu arada  $\ell'$  kiriş uzunluğu ve  $v_{max}=f$  değeri de

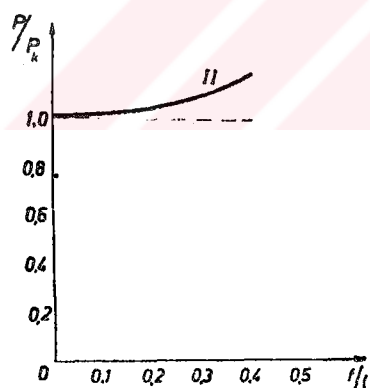
$$\ell' = \int_{\theta_0}^{\pi-\theta_0} \cos\theta \cdot ds \quad , \quad f = \int_{\theta_0}^0 \sin\theta \cdot ds \quad (3.20)$$

şeklinde bulunur. Tablo 3.1 de, ana hatlarıyla açıklanan bu teoriden elde olunan bazı sonuçlar özetlenmiştir.

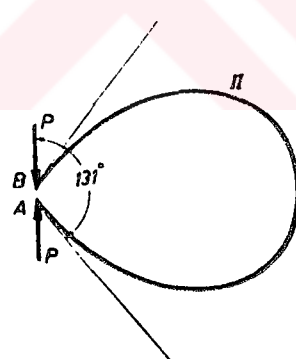
$\theta_0$	$0^\circ$	$20^\circ$	$40^\circ$	$60^\circ$	$80^\circ$	$90^\circ$	$100^\circ$	$113^\circ$	$120^\circ$	$131^\circ$
$P/P_k$	1	1.015	1.064	1.152	1.294	1.393	1.518	1.734	1.885	2.193
$f/\ell$	0	0.11	0.211	0.297	0.360	0.381	0.401	0.403	0.402	0.391
$\ell'/\ell$	1	0.97	0.881	0.741	0.559	0.457	0.349	0.203	0.123	0

Tablo 3.1

Tablonun incelenmesinden görülür ki yük değeri %1.5 gibi çok küçük bir miktarda aşılımcı  $\theta_0$  açısı  $20^\circ$  ye , f sapması kolon uzunluğunun %11 ine ulaşmaktadır.Bu durum bize kritik değer civarının ne kadar tehlikeli bir bölge olduğunu , bu yükler altında sistemin derhal çökebileceğini gösterir.Şekil 3.6 da  $P/P_k - f/\ell$  değişimini grafik olarak gösterilererek dallanma eğrisinin büyük sapmalar için kesin şekli elde edilmiştir.Tabloda  $\theta_0=131^\circ$  için  $\ell'/\ell=0$  olmakta yani elastik çubugun iki ucu birleşmektedir.Bu hal şekil 3.7 de çizilmiştir.



Şekil 3.6



Şekil 3.7

### 3.1.2.KESME KUVVETİNİN KRİTİK YÜKE ETKİSİ

Buraya kadar sürekli, eğriliğin eğilme momenti ile orantılı olduğu esasına dayanan (3.8) diferansiyel denklemi kullandık. Şimdi ise  $T=P.v'$  ile ifade edilen kesme kuvvetinin etkisini hesap etmek istiyoruz. Bu durumda II elastik eğrisinin denklemi

$$\frac{d^2v}{dz^2} = \frac{d^2v_M}{dz^2} + \frac{d^2v_T}{dz^2} = -\frac{M}{EI} + \frac{k' dT}{GA dz} = -\frac{Pv}{EI} + \frac{kP}{GA} \frac{d^2v}{dz^2}$$

veya

$$\frac{d^2v}{dz^2} + \frac{P.v}{EI(1 - \frac{kP}{GA})} = 0 \quad (3.21)$$

bulunur. Burada  $k'$ , kesitin geometrisiyle ilgili geometrik bir çarpanıdır. Dikdörtgen kesitlerde 1,2, daire kesitlerde 1,11 değerini alır. Yukarıdaki denklem (3.9) sınır şartları altında integre edilirse en küçük  $P_k$  kritik yükü için

$$P_k = \frac{\pi^2 EI}{\ell^2} \left(1 - \frac{k' P_k}{GA}\right) \quad \text{veya} \quad P_k = \frac{\pi^2 EI / \ell^2}{1 + \frac{\pi^2 EI}{\ell^2} \frac{k'}{GA}} = \frac{P_E}{1 + \frac{P_E}{GA / k'}} \quad (3.22)$$

elde olunur. Burada  $P_E = \pi^2 EI / \ell^2$  ile, yalnız eğilme momenti dikkate alınarak bulunan kritik yük yani Euler yükü gösterilmiştir. (3.22) denkleminden açıkça görüldüğü üzere  $P_k < P_E$  dir. Yani kesmenin hesaba katılması, kritik yükü azaltıcı yönde bir etki yapmaktadır ve daha güvenli bir hesap tarzı vermektedir. Dolu kesitli sistemlerde kesmenin etkisi ihmali edilebilecek kadar küçüktür. Örnegin olarak  $\ell=35$  cm.,  $A=1$  cm. x 2 cm.,  $E=2.1 \times 10^6$  kg/cm<sup>2</sup>,  $G=800000$  kg/cm<sup>2</sup>,  $k'=1.2$  olan bir çubuğu ele alalım.

$$P_E = \pi^2 EI / \ell^2 = (\pi^2 * 2.1 * 10^6 * 2.1^3 / 12) / 35^2 = 2820 \text{ kg}$$

$$\frac{P_k}{P_E} = \frac{1}{1 + \frac{k' P_E}{GA}} = \frac{1}{1 + \frac{1.2 * 2820}{8 * 10^5 * 2}} = 0.998$$

Bu örnekte kesmenin etkisi % 0.2 olmuştur. Çok parçalı kesitlerde ise kesmenin etkisi artmaya başlar. Öyle hallerde kesin hesap daha emin sonuçlar verdiği için etki ihmali edilemez.

### 3.1.3.KOLON HESAPLARI

Eksenel basınç etkisindeki kolonların stabilitesi ile ilgili problemleri ikiye ayırmak gereklidir : a)Kontrol problemi, b)Boyutlandırma problemi

Kontrol probleminde çubuğa ait  $\ell_b$  burkulma uzunluğu, kesit boyutları ve eksenel P basınç kuvveti verilmiştir.Kolonun verilen yükü emniyetle taşıyıp taşıyamayacağı araştırılmaktadır. $\lambda = \ell_b / l_{min}$  olarak narinlik derecesi hesaplanır ; eğer  $\lambda \geq \lambda_p$  ise Euler formülü uygulanarak  $\sigma_k$  bulunur. $\lambda < \lambda_p$  halinde seçilen  $\sigma_k = f(\lambda)$  gibi bir burkulma yükü yardımıyla  $\sigma_k$  belirtilir ; elde edilen  $\sigma_k$  değeri kesit alanı ile çarpılarak  $P_k = \sigma_k \cdot A$  dan kritik yük hesaplanır.Son olarak kolonun kaldırabileceği P yükünün de

$$P \leq P_k/n \quad n > 1 \quad (3.23)$$

şartını gerçekleme gereklidir.Burada n burkulmaya karşı güvenlik katsayısidır.

Boyutlandırma problemine gelince burada  $\ell_b$  burkulma uzunluğu ve kolonun kaldırılması gereklili P yükü verilmiştir.İstenen kesit boyutlarıdır.Verilen P yükü, n güvenlik katsayıısı ile çarpılarak  $n \cdot P = P_k$  kritik yükü bulunur.Sonra durum elastik bölgede kabul edilerek Euler formülünden

$$I_{gerekli} = n \cdot P \cdot \ell_b^2 / \pi^2 E \quad (3.24)$$

den kesit için gerekli atalet momenti hesap edilir.Bulunan değer kesidin en küçük atalet momentidir.Elastik olarak kabul edilen durumun sonucunda gerçekleşip gerçekleşmediğini kontrol etmek gereklidir.Kesit bulunduktan sonra narinlik derecesi hesap edilir ve  $\lambda \geq \lambda_p$  şartı araştırılır.Eğer  $\lambda < \lambda_p$  çıkarsa kesidi tekrar aramak gereklidir.Bu gibi durumlarda çubuk için bir kesit tahmin edilir ve bunun yeterli olup olmadığı kontrol edilir.Seçilen kesit, yük için yeterli oluncaya kadar hesap tekrarlanır(yoklama ve arama yolu).Hesapları basitleştirmek için bu amaçla hazırlanmış tablolar da kullanılabilir.

### 3.1.4.BURKULMA ÇARPANI İLE HESAP

Burkulma hesaplarını basitleştirmek ve stabilité problemlerini bir gerilme problemi gibi ele alma arzusuyla bir hesap metodu geliştirilmiştir. Bu metodda, verilen P yükü  $\omega$  ile çarpılır ve A kesit alanına bölünür. Elde edilen değerin o malzeme için kabul edilen çekme emniyet gerilmesine eşit olması

$$\sigma_{em} = P\omega/A \quad (3.25)$$

gerekir. Burada P yükü

$$P = P_k/n = \sigma_k \cdot A/n \quad (3.26)$$

şartını sağlamalıdır. (3.25) ve (3.26) arasında P yok edilirse

$$\omega = n \cdot \sigma_{em} / \sigma_k = \omega(\lambda) \quad (3.27)$$

formülü bulunur.  $\sigma_k$  kritik gerilmesi narinlik derecesine bağlı olduğundan  $\omega$  da ona bağlı olur. (3.27) den yararlanılarak bir  $(\omega, \lambda)$  tablosu hazırlanurken şu noktalar önceden bilinmelidir : a)  $\sigma_{em}$  seçimi, b) n sayısının tesbiti, c) elastik olmayan bölgede  $\sigma_k$  formülünün belirtilmesi gibi.

Aşağıda örnekk olarak verilen  $\omega$  tablosu St.37 çeliği için hazırlanmıştır. Burada  $\sigma_f = 2400 \text{ kg/cm}^2$ ,  $\sigma_p = 1900 \text{ kg/cm}^2$ ,  $\sigma_{em} = 1400 \text{ kg/cm}^2$ ,  $E = 2,1 \times 10^6 \text{ kg/cm}^2$  ve  $\lambda_p = 105$  olarak alınmış ve hesap edilmiştir. Emniyet katsayısı elastik bölge için  $n=2,4$  sabit alınmış, yalnız narinliğin  $20 \leq \lambda \leq 105$  arasındaki değerler için  $1,71 \leq n \leq 2,4$  arasında doğrusal olarak değiştirilmiştir.  $\lambda \leq 20$  halinde de  $n = 2400/1400 = 1,71$  olarak yine sabit tutulmuştur.

$\lambda$	0	10	20	30	40	50	60	70	80	90	100	110	120	130	140	150
$\omega$	1	1	1	1.05	1.1	1.16	1.23	1.3	1.38	1.49	1.64	1.96	2.34	2.74	3.18	3.65

Tablo 3.2

$\omega$  sayılarına göre kesit kontrolü şu şekilde yapılacaktır : Çubuğu narinlik derecesine göre tablodan  $\omega$  bulunacak, servis yükü bununla çarpılacak, elde edilen değer kesit alanına bölünecek ve

$$\omega \cdot P/A \leq \sigma_{em}$$

şartının gerçekleşip gerçekleşmediğine bakılacaktır. Çekme çubuklarında  $\omega=1$  olduğu bilindiğine göre basınç altındaki kararsızlık tehlikesi  $\omega \geq 1$  için dikkate alınıyor demektir.

### 3.2. ELASTİK STABİLİTEDE MATRİS METODU

### 3.2.1. Varsayımlar

Probleme matrisel yaklaşımı uygulayabilmek için şu varsayımları yapıyoruz :

D-Büyük sekil değiştirmelerde malzeme ideal elastik kabul ediliyor.

II)- Yükün konservatif olduğu kabul ediliyor. Yani yük doğrultusu şekil değiştirme sonrası aynı kalıyor. (Bkz. Sekil 3.8)



Konservatif

### Konservatif olmayan

Sekil 3.8

III)-Sistem kusursuzdur. Yani çubuk ekseni ideal doğrudur.

IV)-Yük ,orantılılık faktörü  $\lambda >0$  ile doğru orantılıdır.Her dış yük için

$R^t = \lambda R$  bağıntısı geçerlidir.

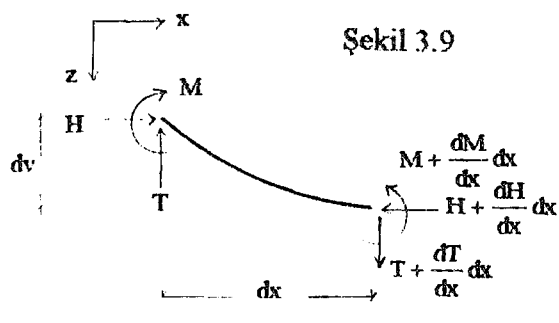
V)-Başlangıç durumunu olan I konumunun  $\varepsilon$  civarında bütün iç kuvvetler  $\lambda$  ile doğru orantılıdır :  $F' = \lambda F$

VT)-İnce cidarlı kesitlerde stabilite sınırı  $\lambda_k$  ya ulaşmadan önce buruşma başlayabilir.

VII)-Stabilite sınırına ulaşınca eğilme deformasyonlarının yanında kesit düzleminde dönme meydana gelebilir.Bu tür problemler eğilmeli burulma burulması olarak isimlendirilir.Eğer ayrıca kesme kuvveti de varsa yanal burulma problemi olarak nitelendirilir.

### 3.2.2. Temel Bağıntılar

Şekil 3.9 da gösterilen ,mesnet şartlarından bağımsız bir çubukun II formuna ait dx elemanın dengesini inceleyelim.



Şekil 3.9

Şekil değişirmiş durum üzerinde denge denklemelerini yazalım.

$$\begin{aligned} -T+T+\frac{dT}{dx} \cdot dx=0 &\Rightarrow \frac{dT}{dx} \cdot dx=0 \\ -H+H+\frac{dH}{dx} \cdot dx=0 &\Rightarrow \frac{dH}{dx} \cdot dx=0 \end{aligned} \quad (3.28)$$

$$-M+M+\frac{dM}{dx} \cdot dx - (T+\frac{dT}{dx} \cdot dx) \cdot dx - (H+\frac{dH}{dx} \cdot dx) \cdot dv=0 \quad (3.29)$$

(3.28) den yararlanarak (3.29) ifadesini şu hale indirgeyebiliriz :

$$\frac{dM}{dx} \cdot dx - T \cdot dx - H \cdot dv=0 \quad \text{veya} \quad \frac{dM}{dx} - T - H \frac{dv}{dx}=0 \quad (3.30)$$

Burada  $M=-EI \frac{d^2v}{dx^2}$  bağıntısı yerine konursa

$$T=(EI.v'') - H.v'$$

buradan tekrar türev alınarak T kuvveti yok edilirse

$$EI.v'' + H.v'''=0 \quad (3.31)$$

şeklinde aranan diferansiyel denklem elde edilmiş olur.

Bir çubukta bağımsız üç kuvvetlerini şekil 3.10. daki gibi seçersek



Şekil 3.10

ve küçük deformasyonlarda  $H \approx N$  (normal kuvvet) alırsak (V).varsayımlı uyarınca

$$\lambda.F_1=N$$

$$\lambda.F_2=-M(0)=EI.v''(0)$$

$$\lambda.F_3=M(l)=EI.v''(l)$$

yazılabilir.Buna göre (3.31) diferansiyel denklemi

$$EI.v'' + \lambda.F_1.v'''=0 \quad (3.32)$$

şekline gelir.Burada

$$\kappa^2=\lambda.F_1/EI \quad (3.33)$$

dönüşümü yapılsrsa

$$v'' + \kappa^2.v'''=0 \quad (3.34)$$

şeklinde çubuk burkulmasının diferansiyel denklemi elde edilir. Sabit katsayılı ,dördüncü mertebeden ,lineer ve homojen bu diferansiyel denklemin genel çözümü :

$$v = c_1 + c_2 \cdot x + c_3 \cdot \cos kx + c_4 \cdot \sin kx \quad (3.35)$$

c sabitlerinin bulunabilmesi için dört sınır şartının bilinmesi gereklidir.Bu sınır şartları (45) çözümü ile ifade edilirse

$$\begin{aligned} f_{11} \cdot c_1 + f_{12} \cdot c_2 + f_{13} \cdot c_3 + f_{14} \cdot c_4 &= 0 \\ f_{21} \cdot c_1 + f_{22} \cdot c_2 + f_{23} \cdot c_3 + f_{24} \cdot c_4 &= 0 \\ f_{31} \cdot c_1 + f_{32} \cdot c_2 + f_{33} \cdot c_3 + f_{34} \cdot c_4 &= 0 \\ f_{41} \cdot c_1 + f_{42} \cdot c_2 + f_{43} \cdot c_3 + f_{44} \cdot c_4 &= 0 \end{aligned} \quad (3.36)$$

şeklinde  $c_i$  sabitleri için dört tane lineer homojen denklem elde edilir.Bu denklem takımının  $c_1=c_2=c_3=c_4=0$  triviyal çözümü I konumunu gösterir. Bundan başka bir konumun daha bulunması şartı ise katsayılar matrisinin determinantının sıfır olmasıdır.

$$\Delta(k) = \begin{vmatrix} f_{11} & f_{12} & f_{13} & f_{14} \\ f_{21} & f_{22} & f_{23} & f_{24} \\ f_{31} & f_{32} & f_{33} & f_{34} \\ f_{41} & f_{42} & f_{43} & f_{44} \end{vmatrix} = 0 \quad (3.37)$$

Farksız dengenin mevcut olabilmesini ifade eden bu şartta burkulma şartı ve (3.37) determinantına da burkulma determinantı denir. $\Delta(k)=0$  denkleminin en küçük kökü olan  $k_1$  bize teknik için önemli olan kritik yük verir.Bu kritik yük (3.33) yardımıyla bulunur.

$$P_{kr} = \lambda \cdot F_1 = k_1^2 \cdot EI \quad (3.38)$$

### 3.2.3. BURKULMA DETERMINANTI VE ELASTİK RİJİTLİK MATRİSİ $K^e$ NİN OLUŞTURULMASI

Elastik sistemlerde deplasman metodunun temel bağıntısı

$$K_r \cdot r = R$$

idi.Elastik stabilité problemlerinde deplasman metodunun bu bağıntısı ikinci bir denge konumu için yazılırsa ,(IV). varsayıma göre  $\lambda R = R'$  olduğundan

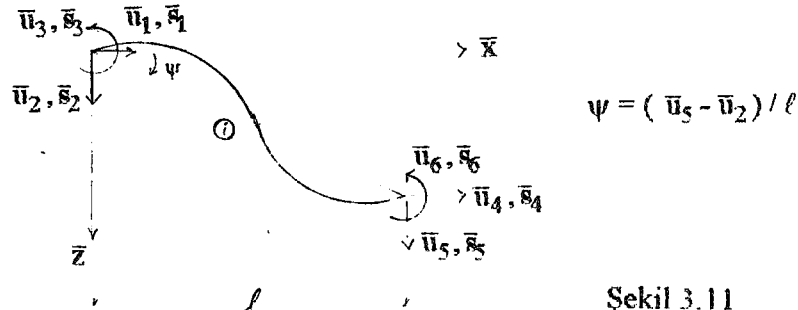
$$K(\lambda F) \cdot r = \lambda R \quad (3.39)$$

bulunur.Burada (3.39) ifadesi için  $0 < \lambda < \lambda_k$  olmak üzere r lerin çözümü aranmaktadır. Ayrıca (3.39) ifadesinin bir çözümü olabilmesi için katsayılar matrisinin regüller olması yani determinantının sıfırdan farklı olması lazımdır.Bu kural bize kritik yük ( $\lambda_k \cdot R$ ) nın bulunmasında Determinant Metodunun kullanılabileceğini gösterir.

Once  $R' = \lambda R$  , $\lambda=\epsilon$  gibi bir değerden başlanır,sonra  $\lambda$  ya gittikçe büyütülen değerler verilir ve her  $\lambda$  değeri için  $K(\lambda F)$  rijitlik matrisinin determinantı

hesaplanır. Determinantı sıfır yapan  $\lambda_k$  değeri ile  $(\lambda_k, R)$  kritik yükü elde edilir. Böylece stabilité problemi bir tijitlik matrisi bulunması problemine dönüştürülmiş olur.

Şimdi sınır şartlarının en genel durumu için problemi inceleyelim.



Şekil 3.11

Şekil 3.11 deki  $\bar{u}_2$  ye paralel olarak kaydırılmış elemanda sınır şartları :

$$\begin{aligned} \bar{x} = 0 \text{ için } & v = 0 \quad \text{ve} \quad v' = -\bar{u}_3 \\ \bar{x} = \ell \text{ için } & v = \bar{u}_5 - \bar{u}_2 \quad \text{ve} \quad v' = -\bar{u}_6 \end{aligned} \quad (3.40)$$

Bu sınır şartlarını (3.35) denkleminde kullanalım.

$$\begin{aligned} v(0) &= c_1 + c_2 \cdot 0 + c_3 \cdot \cos \kappa 0 + c_4 \cdot \sin \kappa 0 = c_1 + c_3 = 0 \\ v'(0) &= c_2 - c_3 \cdot \kappa \cdot \sin \kappa 0 + c_4 \cdot \kappa \cdot \cos \kappa 0 = c_2 - c_4 \cdot \kappa = -\bar{u}_3 \\ v(\ell) &= c_1 + c_2 \cdot \ell + c_3 \cdot \cos \kappa \ell + c_4 \cdot \sin \kappa \ell = \bar{u}_5 - \bar{u}_2 \\ v'(\ell) &= c_2 - c_3 \cdot \kappa \cdot \sin \kappa \ell + c_4 \cdot \kappa \cdot \cos \kappa \ell = -\bar{u}_6 \end{aligned} \quad (3.41)$$

Bu denklem takımını matrisel tarzda gösterelim

$$\begin{bmatrix} 1 & 0 & 1 & 0 \\ 0 & 1 & 0 & \kappa \\ 1 & \ell & \cos \kappa \ell & \sin \kappa \ell \\ 0 & 1 & -\kappa \sin \kappa \ell & \kappa \cos \kappa \ell \end{bmatrix} \begin{bmatrix} c_1 \\ c_2 \\ c_3 \\ c_4 \end{bmatrix} = \begin{bmatrix} 0 \\ -\bar{u}_3 \\ \bar{u}_5 - \bar{u}_2 \\ -\bar{u}_6 \end{bmatrix} \quad (3.42)$$

Buradan  $c_i$  sabitlerini belirleyelim

$$\begin{aligned} c_1 &= \frac{(\sin \kappa \ell - \kappa \ell \cos \kappa \ell) \bar{u}_3 + (\kappa \ell - \sin \kappa \ell) \bar{u}_6 + \kappa (1 - \cos \kappa \ell) (\bar{u}_5 - \bar{u}_2)}{2 \kappa (1 - \cos \kappa \ell) - \kappa^2 \ell \sin \kappa \ell} \\ c_2 &= \frac{(\cos \kappa \ell - 1) \bar{u}_3 - (1 - \cos \kappa \ell) \bar{u}_6 - \kappa \sin \kappa \ell (\bar{u}_5 - \bar{u}_2)}{2 (1 - \cos \kappa \ell) - \kappa \ell \sin \kappa \ell} \\ c_3 &= -c_1 \\ c_4 &= \frac{(\kappa \ell \sin \kappa \ell + \cos \kappa \ell - 1) \bar{u}_3 + (1 - \cos \kappa \ell) \bar{u}_6 + \kappa \sin \kappa \ell (\bar{u}_5 - \bar{u}_2)}{2 \kappa (1 - \cos \kappa \ell) - \kappa^2 \ell \sin \kappa \ell} \end{aligned} \quad (3.43)$$

Böylece elastik eğrinin fonksiyonu belirlenmiş olur.  $\bar{S}$  çubuk uç kuvvetleri  $\lambda \cdot F_1$  e bağlı olarak  $v$  fonksiyonu ve türevleri yardımıyla hesaplanır.

$$\begin{aligned}\bar{S}_1 &= -\lambda \cdot F_1 \\ \bar{S}_2 &= -\lambda \cdot F_1 \cdot \psi - \lambda(F_2 + F_3)/\ell \\ \bar{S}_3 &= \lambda \cdot F_2 = -M(0) = EI.v''(0) \\ \bar{S}_4 &= \lambda \cdot F_1 \\ \bar{S}_5 &= \lambda \cdot F_1 \cdot \psi + \lambda(F_2 + F_3)/\ell \\ \bar{S}_6 &= \lambda \cdot F_3 = M(\ell) = EI.v''(\ell)\end{aligned}\quad (3.44)$$

veya  $\bar{S}^i = T^i \cdot F^i$  şeklinde matrisel tarzda gösterirsek

$$\begin{bmatrix} \bar{S}_1 \\ \bar{S}_2 \\ \bar{S}_3 \\ \bar{S}_4 \\ \bar{S}_5 \\ \bar{S}_6 \end{bmatrix} = \begin{bmatrix} -\lambda & 0 & 0 \\ -\lambda \cdot \psi & -\lambda/\ell & -\lambda/\ell \\ 0 & \lambda & 0 \\ 0 & \lambda & 0 \\ \lambda \cdot \psi & \lambda/\ell & \lambda/\ell \\ 0 & 0 & \lambda \end{bmatrix} \cdot \begin{bmatrix} F_1 \\ F_2 \\ F_3 \end{bmatrix} \quad (3.45)$$

Elastik eğrinin (3.35) denklemının ikinci türevini yerine koyarsak

$$v''(x) = -\kappa^2 \cdot c_3 \cdot \cos \kappa x - \kappa^2 \cdot c_4 \cdot \sin \kappa x \quad (3.46)$$

ve (3.43) ifadelerinde şu dönüşümleri yaparsak

$$\begin{aligned}\Phi_1 &= \frac{\sin \kappa \ell - \kappa \ell \cdot \cos \kappa \ell}{2(1 - \cos \kappa \ell) - \kappa \ell \cdot \sin \kappa \ell} \kappa EI \\ \Phi_2 &= \frac{\kappa \ell - \sin \kappa \ell}{2(1 - \cos \kappa \ell) - \kappa \ell \cdot \sin \kappa \ell} \kappa EI\end{aligned}\quad (3.47)$$

çubuk uç kuvvetlerini ,uç şekil değiştirmeleri cinsinden elde ederiz :

$$\begin{aligned}\bar{S}_3 &= \varphi_1 \cdot \bar{u}_3 + \varphi_2 \cdot \bar{u}_6 + (\varphi_1 + \varphi_2) \psi \\ \bar{S}_6 &= \varphi_1 \cdot \bar{u}_3 + \varphi_2 \cdot \bar{u}_6 + (\varphi_1 + \varphi_2) \psi \\ \bar{S}_1 &= EA.(\bar{u}_1 - \bar{u}_4) \\ \bar{S}_4 &= EA.(-\bar{u}_1 + \bar{u}_4) \\ \bar{S}_2 &= -\lambda F_1(\bar{u}_5 - \bar{u}_2)/\ell - \bar{u}_3(\varphi_1 + \varphi_2)/\ell - \bar{u}_6(\varphi_1 + \varphi_2)/\ell - 2(\varphi_1 + \varphi_2)(\bar{u}_5 - \bar{u}_2)/\ell^2 \\ \bar{S}_5 &= \lambda F_1(\bar{u}_5 - \bar{u}_2)/\ell + \bar{u}_3(\varphi_1 + \varphi_2)/\ell + \bar{u}_6(\varphi_1 + \varphi_2)/\ell + 2(\varphi_1 + \varphi_2)(\bar{u}_5 - \bar{u}_2)/\ell^2\end{aligned}\quad (3.48)$$

Bu ifadelerde aşağıdaki kısaltmaları yaparsak

$$\bar{\Phi}_1 = 2/\ell^2 \cdot (\varphi_1 + \varphi_2) + \lambda F_1 / \ell$$

(3.49)

$$\bar{\Phi}_2 = (\varphi_1 + \varphi_2) / \ell$$

çubuk uç kuvvetleri şu hale gelir :

$$\begin{aligned}\bar{S}_1 &= EA \cdot (\bar{u}_1 - \bar{u}_4) \\ \bar{S}_2 &= \bar{\Phi}_1 \cdot \bar{u}_2 - \bar{\Phi}_2 \cdot \bar{u}_3 - \bar{\Phi}_1 \cdot \bar{u}_5 - \bar{\Phi}_2 \cdot \bar{u}_6 \\ \bar{S}_3 &= -\bar{\Phi}_2 \cdot \bar{u}_2 + \varphi_1 \cdot \bar{u}_3 + \bar{\Phi}_2 \cdot \bar{u}_5 + \varphi_2 \cdot \bar{u}_6 \\ \bar{S}_4 &= EA \cdot (-\bar{u}_1 + \bar{u}_4) \\ \bar{S}_5 &= -\bar{\Phi}_1 \cdot \bar{u}_2 + \bar{\Phi}_2 \cdot \bar{u}_3 + \bar{\Phi}_1 \cdot \bar{u}_5 + \bar{\Phi}_2 \cdot \bar{u}_6 \\ \bar{S}_6 &= -\bar{\Phi}_2 \cdot \bar{u}_2 + \varphi_1 \cdot \bar{u}_3 + \bar{\Phi}_2 \cdot \bar{u}_5 + \varphi_1 \cdot \bar{u}_6\end{aligned}\quad (3.50)$$

(3.50) ifadelerini

$$\underline{S}^i = \underline{k}_F^i \cdot \underline{u}^i \quad (3.51)$$

tarzında gösterirsek

$$\begin{bmatrix} \bar{S}_1 \\ \bar{S}_2 \\ \bar{S}_3 \\ \bar{S}_4 \\ \bar{S}_5 \\ \bar{S}_6 \end{bmatrix} = \begin{bmatrix} EA/\ell & 0 & 0 & EA/\ell & 0 & 0 \\ \bar{\Phi}_1 & -\bar{\Phi}_2 & 0 & -\bar{\Phi}_1 & -\bar{\Phi}_2 & \\ \varphi_1 & 0 & 0 & \bar{\Phi}_2 & \varphi_2 & \\ & EA/\ell & 0 & 0 & 0 & \\ \text{sim.} & & & -\bar{\Phi}_1 & -\bar{\Phi}_2 & \\ & & & & & \varphi_1 \end{bmatrix} \begin{bmatrix} \bar{u}_1 \\ \bar{u}_2 \\ \bar{u}_3 \\ \bar{u}_4 \\ \bar{u}_5 \\ \bar{u}_6 \end{bmatrix} \quad (3.52)$$

Böylece  $\underline{u}$  ile doğru orantılı değişen bir rijitlik bağıntısı elde edilmiş olur. Fakat burada rijitlik matrisi  $\underline{k}_F$ , bilinmeyen  $\lambda F_1$  çubuk uç normal kuvvetlerine bağlıdır.

Burada  $\underline{k}_F^i$  matrisi yerel koordinatlarda oluşturulmuştur. Genel koordinatlara geçiş yapmak için (3.51) ifadesini soldan, dönüşüm matrisi  $\underline{L}_D^i$  ile çarpalım.

$$\underline{L}_D^i \cdot \underline{S}^i = \underline{S}^i = \underline{L}_D^i \cdot \underline{k}_F^i \cdot \underline{u}^i \quad (3.53)$$

Uç şekil değiştirmeleri için

$$\underline{u}^i \cdot (\underline{L}_D^i)^T \cdot \underline{u}^i$$

yazılırsa (3.53) ifadesi

$$\underline{S}^i = \underline{k}_F^i \cdot \underline{u}^i \quad (3.54)$$

haline gelir. Burada  $\underline{k}_F^i$  rijitlik matrisi,

$$\underline{k}_F^i = \underline{L}_D^i \cdot \underline{k}_F^i \cdot (\underline{L}_D^i)^T \quad (3.55)$$

şeklinde genel koordinatlarda elde edilir.

$$\underline{k}_F^i = \begin{bmatrix} c^2EA/\ell + s^2\bar{\varphi}_1 & sc(EA/\ell - \bar{\varphi}_1) & s\bar{\varphi}_2 & -c^2EA/\ell - s^2\bar{\varphi}_1 & -sc(EA/\ell - \bar{\varphi}_1) & s\bar{\varphi}_2 \\ s^2EA/\ell + c^2\bar{\varphi}_1 & -c\bar{\varphi}_2 & -sc(EA/\ell - \bar{\varphi}_1) & -s^2EA/\ell - c^2\bar{\varphi}_1 & -c\bar{\varphi}_2 & -s\bar{\varphi}_1 \\ \bar{\varphi}_1 & -s\bar{\varphi}_2 & c\bar{\varphi}_2 & \bar{\varphi}_2 & -s\bar{\varphi}_2 & c\bar{\varphi}_1 \\ \text{sim.} & & & & s^2EA/\ell + c^2\bar{\varphi}_1 & -c\bar{\varphi}_2 \end{bmatrix} \quad (3.56)$$

burada  $s = \sin\alpha = (z_T - z_\ell)/\ell$   $c = \cos\alpha = (x_T - x_\ell)/\ell$

(3.56) da bulduğumuz  $\lambda F_1^i$  ye bağlı  $\underline{k}_F^i(\lambda F_1^i)$  rijitlik matrisi yapı olarak  $\underline{k}^i$  eleman rijitlik mattisine benzemektedir. Ama  $\lambda F_1^i = 0$  için  $\underline{k}_F^i(\lambda F_1^i)$  matrisi oluşturulamaz. Çünkü  $\bar{\varphi}_1$ ,  $\bar{\varphi}_2$  parametreleri 0/0 gibi belirsiz değerler alır. Bu durumlar için l'Hospital kuralı uygulanırsa sınır değerler

$$\lim_{\lambda F_1 \rightarrow 0} \bar{\varphi}_1 = 4EI/\ell$$

$$\lim_{\lambda F_1 \rightarrow 0} \bar{\varphi}_2 = 2EI/\ell \quad (3.57)$$

değerlerini alır. Böylece nonlinear olan eleman rijitlik matrisi  $\underline{k}_F^i(\lambda F_1^i)$ , linear olan  $\underline{k}^i$  eleman rijitlik mattisine eşit olur. Eleman rijitlik matrisleri  $\underline{k}_F^i(\lambda F_1^i)$  lerden, direkt oluşturma yöntemiyle sistem rijitlik matrisi aşağıdaki şekilde teşkil edilebilir:

$$c \cdot \underline{k}_F \cdot c^T = \underline{K}(\lambda F) \quad (3.58)$$

### ÖZET :

I)-Once şekil değiştirilmemiş sisteme lineer bir hesapla her elemandaki normal kuvvette karşılık gelen

$$\underline{F}_1^T = [\underline{F}_1^1 \dots \underline{F}_1^n]$$

vektörü tespit edilir.

II)-Bu bilinen normal kuvvetlerle her elemandaki  $\kappa^i$  değeri hesaplanır.

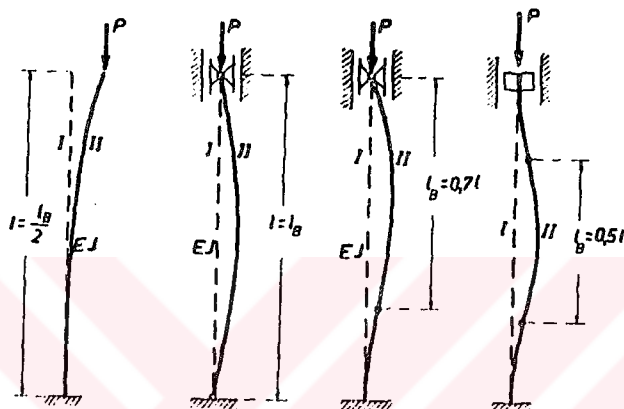
$$\kappa^T = \left[ \sqrt{\frac{\lambda F_1^1}{EI}} \dots \sqrt{\frac{\lambda F_1^n}{EI}} \right]$$

III)-Her eleman için  $\varphi_1$ ,  $\varphi_2$ ,  $\bar{\varphi}_1$  ve  $\bar{\varphi}_2$  parametreleri hesaplanarak ve normal kuvvetin işaretini göz önünde tutularak  $k_F^i$  eleman rijitlik matrisi oluşturulur.

IV)-Direkt rijitlik metoduyla  $K(\lambda F_1)$  sistem rijitlik matrisi elde edilir.

### 3.2.4. ÇEŞİTLİ MESNET ŞARTLARI İÇİN ÇÖZÜM

Determinant metodunun buraya kadar olan bölümlerinde mesnet şartlarından bağımsız bir eleman için çözüm bağıntılarını çıkardık. Şekil 3.12 de ,Euler halleri olarak adlandırılan dört farklı mesnetlenme biçimindeki , basına maruz çubuklar gösterilmiştir. Şimdi 2. den başlamak üzere bu sistemleri inceleyelim :



Şekil 3.12

İlk önce düğüm noktası serbestlikleri tespit edilir(bkz. Şekil 3.13). Çubuğun boyundaki değişme  $r_3$  ,elastisite bağıntılarıyla hesap edilebilir ve tüm  $\lambda < \lambda_k$  değerleri için  $EA/\ell \cdot r_3 = \lambda \cdot F_1$  yazılabilir.

$$r_1 = u_3 \quad r_2 = u_6 \\ \xrightarrow{\ell} \quad r_3 = u_4$$

Şekil 3.13

$r_1$  ve  $r_2$  düğüm noktası dönmezleri olmak üzere moment denge denklemlerini yazalım.

2.Euler çubuğunu sınır şartları :  $v''(0)=0$  ve  $v''(\ell)=0$  olduğundan ,

$$\varphi_1 \cdot r_1 + \varphi_2 \cdot r_2 = 0 \quad ((3.52) \text{ nin } 3.\text{satırından})$$

$$\varphi_2 \cdot r_1 + \varphi_1 \cdot r_2 = 0 \quad ((3.52) \text{ nin } 6.\text{satırından})$$

Bu denklem sisteminin katsayılarından oluşan burkulma determinantı

$$\varphi_1^2 - \varphi_2^2 = 0$$

veya

$$(\varphi_1 - \varphi_2)(\varphi_1 + \varphi_2) = 0$$

olarak bulunur.

(3.47) yi yerine koymak suretiyle

$$2\sin\kappa\ell - \kappa\ell - \kappa\ell\cos\kappa\ell)(\kappa\ell - \kappa\ell\cos\kappa\ell)=0$$

denklemi elde edilir. İlk çarpanı sıfır eşitlediğimizde

$$\kappa\ell = \pi, 3\pi, 5\pi, \dots$$

İkinci çarpanı sıfır eşitlediğimizde

$$\kappa\ell = 2\pi, 4\pi, \dots$$

bulunur.  $\kappa\ell$  nin en küçük değeri olan  $\pi$  yi (3.33) nolu  $\kappa^2=\lambda F_1/EI$  bağıntısında kullanırsak kritik yük bulunur:

$$\lambda_k = \pi^2 EI / \ell^2 \quad (2.\text{Euler çubuğu}) \quad (3.59)$$

1.Euler çubuğu için hesapları tekrarlayalım.

Boş ucta kesme kuvveti ve moment değeri sıfır olduğundan

$$\bar{\Phi}_1 \cdot u_5 + \bar{\Phi}_2 \cdot u_6 = 0 \quad ((3.52) \text{ nin } 5.\text{satırından})$$

$$\bar{\Phi}_2 \cdot u_5 + \bar{\Phi}_1 \cdot u_6 = 0 \quad ((3.52) \text{ nin } 6.\text{satırından})$$

Buradan burkulma determinanı

$$\bar{\Phi}_1 \cdot \Phi_1 - \bar{\Phi}_2^2 = 0$$

$$\text{veya} \quad \kappa^5 / \ell \cdot \cos\kappa\ell = 0 \quad \text{olarak bulunur.}$$

Bunun kökleri

$$\kappa\ell = \pi/2, 3\pi/2, \dots (2n+1)\pi/2$$

özdeğerlerini verir. En küçük köke göre bulunacak kritik yük (3.33) den

$$\lambda_k = (\pi/2)^2 EI / \ell^2 = \pi^2 EI / 4\ell^2 \quad (1.\text{Euler çubuğu}) \quad (3.60)$$

3. Euler çubuğu için kritik yükü bulalım :

Kayıci mesnette moment sıfır olduğundan

$$\Phi_1 \cdot u_6 = 0 \quad ((3.52) \text{ nin } 6.\text{satırından})$$

yazılabilir. Burada  $u_6 \neq 0$  olduğundan  $\Phi_1 = 0$  olur.

$$\Phi_1 = \frac{\sin\kappa\ell - \kappa\ell \cdot \cos\kappa\ell}{2(1 - \cos\kappa\ell) - \kappa\ell \cdot \sin\kappa\ell} \kappa EI = 0$$

$$\sin\kappa\ell - \kappa\ell \cdot \cos\kappa\ell = 0$$

$$\tan\kappa\ell = \kappa\ell$$

eşitliği elde edilir. Bu denklemin sıfırdan farklı en küçük kökü  $\kappa\ell = 4.493$  bulunur

Buna göre kritik yük (3.33) den

$$\lambda_k = (4.493/\ell)^2 EI = 2.04 \cdot \pi^2 EI / \ell^2 \quad (3.\text{Euler çubuğu}) \quad (3.61)$$

4. Euler çubuğu için benzeri işlemlerle burkulma şartı olarak

$$2\kappa(1 - \cos \kappa l) - \kappa^2 l \cdot \sin \kappa l = 0$$

elde edilir. Bu denklemin en küçük kökü  $\kappa l = 2\pi$  bulunur. (3.33)den

$$\lambda_k = 4\pi^2 EI / l^2 \quad (4. \text{ Euler çubuğu}) \quad (3.62)$$

Aşağıdaki tabloda, bulunan sonuçlar özetiştir.

Tablo 3.3

Euler hal	I	II	III	IV
Burkulma determinantı	$\begin{vmatrix} 1 & 0 & 0 & 1 \\ 0 & k & \frac{1}{l} & 0 \\ -k^2 & 0 & 0 & 0 \\ -k^2 \cos kl + k^2 \sin kl & 0 & \cos kl & \sin kl \\ 0 & 0 & -k^2 & 0 \end{vmatrix}$	$\begin{vmatrix} 1 & 0 & 0 & 1 \\ -k^2 & 0 & 0 & 0 \\ \cos kl & \sin kl & 1 & 1 \\ 0 & k & \frac{1}{l} & 0 \end{vmatrix}$	$\begin{vmatrix} 1 & 0 & 0 & 1 \\ \cos kl & \sin kl & 1 & 1 \\ 0 & k & \frac{1}{l} & 0 \\ -k^2 \cos kl - k^2 \sin kl & 0 & 0 \end{vmatrix}$	$\begin{vmatrix} 1 & 0 & 0 & 1 \\ 0 & k & \frac{1}{l} & 0 \\ \cos kl & \sin kl & 1 & 1 \\ -k^2 \sin kl - k^2 \cos kl & 0 & 0 \end{vmatrix}$
Burkulma denklemi	$\cos kl = 0$	$\sin kl = 0$	$\tan kl = kl = 0$	$\tan \frac{kl}{2} \left( \tan \frac{kl}{2} - \frac{kl}{2} \right) = 0$
En küçük kök	$k l = l \sqrt{\frac{P}{E J}}$	$\frac{\pi}{2}$	$\pi$	$4,493$
$P_{cr}, N$	$\frac{\pi^2 E J}{4l^2}$ $= \frac{\pi^2 E J}{(2l)^2}$	$\frac{\pi^2 E J}{l^2}$	$\frac{4,493^2 E J}{l^2}$ $\approx \frac{\pi^2 E J}{(0,7l)^2}$	$\frac{4 \pi^2 E J}{l^2}$ $= \frac{\pi^2 E J}{(\frac{l}{2})^2}$

Dört Euler haline ait (3.59),(3.60),(3.61),(3.62) formüllerinden görüldüyor ki mesnefler deplasman yönünden ne kadar bağlı ise ona göre kritik yükün değeri de artmaktadır. 1.Euler çubugunu esas alacak olursak 2. mesnet halı için bulunan yük bunun 4 katı ,3 de ise yaklaşık 8 katı ve 4 hali için de tam 16 katıdır.

Kritik yük formüllerinde geçen I atalet momenti kesitin en küçük atalet momenti olan  $I_{min}$  dur.Kesitin iki asal ekseninden en büyük atalet momentini veren eksen , daima çubugun burkulma doğrultusunu gösterir.

### 3.2.5.BURKULMA UZUNLUĞU

Çeşitli mesnet şartları için bulunan kritik yük formüllerinin hepsini tek bir form altında toplamak olanaklıdır. Genel ifadeyle

$$P_k = \frac{\pi^2 EI}{\ell_b^2} \quad (3.63)$$

yazılabilir. Burada  $\ell_b$  burkulma uzunluğunu gösterir. Çeşitli mesnet şartları için şu değerleri alır : 1)  $\ell_b=2\ell$       2)  $\ell_b=\ell$       3)  $\ell_b=0.7\ell$       4)  $\ell_b=0.5\ell$

Mesnet durumuna göre bu uzunluk bazen kolonun uzunluğundan fazla , bazen eşit ve bazı halde de küçük olur. Burkulma uzunluğu kavramına geometrik bir anlam vermek de mümkündür. Bu uzunluk II denge konumuna ait elastik eğrinin iki  $M=0$  dönüm noktası arasındaki mesafedir.

### 3.2.6.GEOMETRİK RİJİTLİK MATRİSİ $K^g$ NİN OLUŞTURULMASI VE DETERMINANT METODUYLA ÇÖZÜM

Bu bölümde lineerleştirilmiş bir burkulma yükü hesabından bahsedilecek , eleman düzleminde civar konumlar arasında bir lineer yaklaşım yapılacaktır. Geometrik rijitlik matrisi , (3.52) de verilen çubukun nonlinear rijitlik matrisinden yatarlanarak kurulacaktır. Bunun için Castigiano 'nun çözümü ve determinant metodunun çözümü birlikte kullanılacaktır. Bunun başlangıç eşitliği , (3.51) den hatırlarsak

$$\bar{S}^i = \bar{k}_F^i (\lambda F_1^i) . \bar{u}^i$$

şeklindeydi. Burada  $\bar{k}_F^i$ ,  $F_1^i$  in transendant bir fonksiyonudur. i elemanında  $F_1^i$  belli bir  $\lambda$  değerine kadar belirlidir. O yüzden

$$\bar{S}^i = \bar{k}_F^i (\lambda) . \bar{u}^i \quad (3.64)$$

şeklinde yazabiliz. Bu eşitliği başlangıç değer  $\lambda_0$  olmak üzere Taylor serisine açarsak

$$\bar{S} = \bar{k}_F(\lambda_0) . \bar{u} + (\lambda - \lambda_0) \frac{d}{d\lambda} \{ \bar{k}_F(\lambda_0) \} \bar{u} + \text{kalan} \quad (3.65)$$

Lineer bir hesap yapığımızdan 2 terimden sonrası terkediliyor. İlk parçası için sınır değer

$\bar{k}_e^i$      $\lambda_0 \rightarrow 0$  iken belli olduğundan  $\bar{k}_e^i$  matrisini elemanın rijitlik matrisi  $\bar{k}_F^i$   $_{3 \times 3}$  den yatarlanarak da bulabiliriz.

$$\bar{k}_e^i = T^i . k_F^i . (T^i)^T$$

$$\underline{k}_e^i = \lim_{\lambda_0 \rightarrow 0} \underline{k}_F(\lambda_0) = \begin{bmatrix} EA/\ell & 0 & 0 & -EA/\ell & 0 & 0 \\ 12EI/\ell^3 & -6EI/\ell^2 & 0 & 12EI/\ell^3 & -6EI/\ell^2 & \\ & 4EI/\ell^2 & 0 & 6EI/\ell^3 & 2EI/\ell^2 & \\ & & EA/\ell & 0 & 0 & \\ \text{sim.} & & & 12EI/\ell^3 & -6EI/\ell^2 & \\ & & & & 4EI/\ell^2 & \end{bmatrix} \quad (3.66)$$

Genel koordinatlara dönüştürürsek  $\underline{k}_e^i$ , tablolarda verilmiş eleman rijitlik matrisi  $\underline{k}^i$  ile eşdeğerdir.  $\lambda_0 \rightarrow 0$  iken (3.65) in ikinci kısmını alırsak şu türev hesaplanmalıdır :

$$\frac{d}{d\lambda} \{\underline{k}_F(\lambda_0)\}$$

Böylece geometrik rijitlik matrisinin elemanları

$$\underline{k}_g^i = \lambda_0 \lim_{\lambda_0 \rightarrow 0} \frac{d}{d\lambda} \{\underline{k}_F(\lambda_0)\} \quad \text{şeklinde bulunur.}$$

$\underline{k}_F^i(\lambda)$  nin sınır değerlerinin hesabı çok fazla işlem gerektirir. En azından şu sınır değerler hesaplanmalıdır :

$$\lim_{\lambda_0 \rightarrow 0} \frac{d\varphi_1(\lambda_0)}{d\lambda} \quad \text{ve} \quad \lim_{\lambda_0 \rightarrow 0} \frac{d\varphi_2(\lambda_0)}{d\lambda}$$

Hospital kuralı ile hesaplamak için  $Z_1$  ve  $Z_2$  fonksiyonlarının türevi ve müşterek N fonksiyonunun teşkil edilmesi gereklidir. Burada  $x=\kappa\ell$  olmak üzere

$$(-1/F_1.\ell).Z_1 = (\sin x - x.\cos x + x^2.\sin x)(2 - 2\cos x - x.\sin x) - x(\sin x - x.\cos x)^2$$

$$(-1/F_1.\ell).Z_2 = (2x - \sin x - x.\cos x)(2 - 2\cos x - x.\sin x) - (x^2 - x.\sin x)(\sin x - x.\cos x)$$

$$N = 2x(2 - 2\cos x - x.\sin x)^2$$

$Z_1$ ,  $Z_2$  ve  $N$  fonksiyonlarının sıfır elde etmek için i.inci türevlerine kadar götürürlür. Ancak  $i=9$  da  $(0/0)$  olmayan belirli bir ifade elde edilir.

$$(-1/F_1.\ell)(d^9Z_1/dx^9) = 2(128x^2.\cos x^2 + x^2\cos x - 128x^2.\sin x^2 + 1280x.\cos x.\sin x + 19x.\sin x - 256\cos x^2 - 80\cos x + 256\sin x^2)$$

$$(-1/F_1.\ell)(d^9Z_2/dx^9) = -x^3.\sin x + 24x^2.\cos x + 168x.\sin x + 512\cos x^2 - 344\cos x - 512\sin x^2$$

$$d^9N/dx^9 = 8(128x^3 \cdot \cos x \cdot \sin x - 608x^2 \cdot \cos x^2 - x^2 \cdot \cos x + 608x^2 \cdot \sin x^2 - 2816x \cdot \cos x \cdot \sin x - 16x \cdot \sin x + 576\cos x^2 + 54\cos x - 576\sin x^2)$$

$x=0$  için şu değerler bulunur :

$$\lim_{x \rightarrow 0} \frac{Z_1}{N} = \frac{2}{15} F_1 \cdot \ell \quad \text{ve} \quad \lim_{x \rightarrow 0} \frac{Z_2}{N} = -\frac{1}{30} F_1 \cdot \ell$$

Bu türrevler hesaplandıktan sonra yerel koordinatlarda geometrik rijitlik matrisi elde edilir.

$$\underline{k}_g^i = F_1 \cdot \begin{bmatrix} 0 & 0 & 0 & 0 & 0 & 0 \\ 6/5\ell & -1/10 & 0 & -6/5\ell & 1/10 & \\ & 2\ell/15 & 0 & 1/10 & -\ell/30 & \\ & & 0 & 0 & 0 & \\ & & & 6/5\ell & 1/10 & \\ & & & & 2\ell/15 & \end{bmatrix} \quad (3.67)$$

Bu matrisi (3.55) de yaptığımız şekilde genel koordinatlara çevirebiliriz.

$$\underline{k}_g^i = \frac{F_1}{30\ell} \begin{bmatrix} 36s^2 & -36sc & 3s\ell & -36s^2 & 36sc & 3s\ell \\ 36c^2 & -3cl & 36sc & -36c^2 & -3cl & \\ 4\ell^2 & -3sl & 3cl & -\ell^2 & & \\ 36s^2 & -36sc & -3sl & & & \\ 36c^2 & 3cl & & & & \\ 4\ell^2 & & & & & \end{bmatrix} \quad (3.68)$$

$$c = \cos \alpha = (x_r - x_\ell) / \ell_i \quad s = \sin \alpha = (z_r - z_\ell) / \ell_i$$

Böylece çubuk elemanlarının nonlineer rijitlik matrisine lineer yaklaşım ve çubuk uç kuvvetleri belirlenmiş olur :

$$\underline{k}_p^i(\lambda) = \underline{k}_e^i + \lambda \underline{k}_g^i \quad (3.69)$$

$$\underline{S}^i(\lambda) = \underline{k}_e^i \underline{u}^i + \lambda \underline{k}_g^i \underline{u}^i \quad (3.70)$$

(3.69) ve (3.70) deki önemli rijitlik bağıntıları yardımıyla şimdilik sistemin civar konumlardaki toplam rijitliği hesaplanabilir.  $\lambda \underline{R}$  dış yükü için

$$(\underline{K}^e + \lambda \underline{K}^g) \cdot \underline{r} = \lambda \underline{R} \quad (3.71)$$

yazılabilir.  $\underline{K}^e$ , lineer toplam rijitlik matrisidir ve bu bildiğimiz  $\underline{K}$  matrisinin aynısıdır.  $\underline{K}^g$  geometrik rijitlik matrisidir ve (68) eleman rijitlik matrisi ile teşkil edilebilir. Bu matrislerin kurulması, direkt yöntemle yapılır.

Virtüel iş prensibine göre aşağıdaki teorem yazılabilir:

**Teorem:** Bir sisteme verilen  $\underline{f} \neq 0$  virtüel yer değiştirmenin dış kuvvetlerle yaptığı virtüel iş sıfır olursa o sistem instabildir.

(3.70) i soldan  $\underline{r}$  ile çarpalım.

$$\underline{f}^T (\underline{K}^e + \lambda \underline{K}^g) \cdot \underline{r} - \lambda \underline{f}^T \underline{R} = 0 \quad (3.72)$$

$\underline{r} \neq 0$  olduğundan

$$(\underline{K}^e + \lambda \underline{K}^g) \cdot \underline{r} = 0 \quad (3.73)$$

şeklinde, elastik stabilitenin temel bağıntısı elde edilir.

(3.73) denklemının formu, bir genel özdeğer problemi olarak tanımlanabilir.  $n \times n$  boyutlu  $\underline{K}^e$  ve  $\underline{K}^g$  matrisleri için  $\lambda_1, \lambda_2, \dots, \lambda_n$  gibi  $n$  tane özdeğer ve bu özdeğerlere karşılık gelen  $\underline{r}_1, \underline{r}_2, \dots, \underline{r}_n$  özvektörleri elde edilir.

**Teorem:** (3.73) Temel bağıntısının en küçük pozitif özdegeri  $\lambda = \lambda_k$ , bize sistemin kritik yükünü verir.

$$R_k = \lambda \cdot R \quad (3.74)$$

Genel bir özdeğer problemi çözümü, lineer denklemen tekrar tekrar çözümlerinin birleşimi ile elde edilir. Özel özdeğer problemlerinin çözümü bu kadar çok işlem gerektirmez. Bu sebepten genel özdeğer problemlerini özel özdeğer problemlerine dönüştürerek çözmek uygun olur. Daha önceden Bölüm 1.4 de açıklanan bu dönüşüm işlemi aşağıda özetlenmiştir :

$$(\underline{K}^e + \lambda \underline{K}^g) \cdot \underline{r} = 0 \quad (3.75)$$

denkleminde pozitif, tanımlı olan  $\underline{K}^e$  matrisini  $\underline{L}$  ve  $\underline{L}^T$  ye ayıralım.  $\underline{L}^T \cdot \underline{r}$  çarpımını  $\underline{\tilde{r}}$  ile ifade edersek  $\underline{L}$  nin inversinin alınması ve soldan bu inversle çarpılması sonucunda özel özdeğer problemi elde edilir.

$$(\underline{\tilde{K}} - \Lambda \underline{I}) \cdot \underline{\tilde{r}} = 0 \quad (3.76)$$

Burada

$$\begin{aligned} \underline{K}^e &= \underline{L} \underline{L}^T \\ \underline{\tilde{K}} &= \underline{L}^{-1} \cdot \underline{K}^g \cdot (\underline{L}^{-1})^T \\ \Lambda &= -1/\lambda \end{aligned} \quad (3.77)$$

$\Lambda$  özdeğerleri ve  $\underline{\tilde{r}}$  özvektörleri bulunduktan sonra aşağıdaki dönüşümlerle  $\lambda$  ve  $\underline{r}$  hesaplanır.

$$\lambda = -1/\Lambda \quad , \quad \underline{r} = (\underline{L}^{-1})^T \cdot \underline{\tilde{r}} \quad (3.78)$$

### 3.3. MC MINN'İN YAKLAŞIK STABİLİTE HESABI

Yöntemin avantajları :

- Oldukça küçük matrislerle çalışılması işlem kolaylığı sağlar. Örneğin iki açıklıklı, 10 katlı bir çerçeve için matris metodunda  $90 \times 90$  boyutunda matrislerle işlem yapmak gereklidir, Mc Minn'in metodunda  $10 \times 10$  luk matrislerin kullanımı yeterlidir.

- Kesin hesaba oldukça yakın sonuç verir. Matris metodu referans alındığında hata %1 civarında kalmaktadır.

- Programlamaya, dolayısıyla farklı kesitler için defalarca çözüm yaparak boyut optimizasyonu sağlamaya elverişlidir.

Yöntemin dezavantajları :

- Simetrik yük sınırlaması vardır.

- Yüksek narinlik dereceleri için sonuç vermez.

- Tabloların kullanılabilmesi için birimler inch ve tona dönüştürülmelidir.

#### Rijit Çerçevelerin Stabilitesi

Stabilite kriteri şudur : Yapı yükülü iken ek yük veya rastlantusal bir yerdeğiştirme gibi herhangi bir bozucu etkiye pozitif bir dayanım göstermelidir. Bu stabilite yapının titresimi ile bağlantılıdır. Çünkü bozucu etkinin uygulanması, yapının boyutlarına, malzemesine ve taşıdığı yükle bağlı titrem peryodu ile denge durumu etrafında sallanmasına yol açar. Yükleme sıfırdan başlayarak artırılırken, bozucu etkiye karşı dayanım düşer, titrem peryodu yükselir. Kritik yükle ulaşıldığında yapı hiçbir dayanım göstermez ve titrem peryodu sonsuz olur. Kritik yükün üzerine çıktıığında dayanım negatif olur. Yani yapı bozucu etkiden uzaklaşarak yeni bir konuma ulaşır.

Yöntemin temel rijitlik bağıntısı

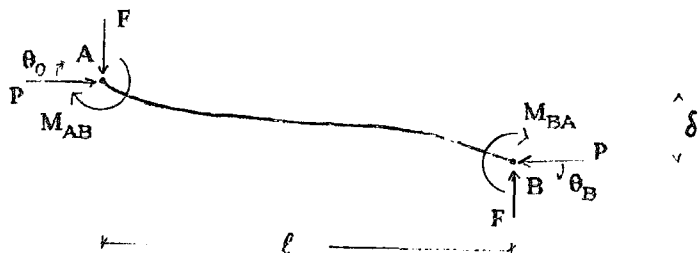
$$W_D = K_D \cdot \Delta_D \quad (3.79)$$

şeklinde olup burada  $W_D$  dış yük vektörü,  $K_D$  rijitlik matrisi,  $\Delta_D$  yerdeğiştirme vektöridür.

Dayanım pozitif ise her  $W_D$  için belirli bir  $\Delta_D$  değeri vardır. Kritik yük durumunda  $\Delta_D$  nin elemanları sonsuz veya belirsiz olur.

### 3.3.1 YANAL DEPLASMAN YAPMAYAN SİSTEMLERDE McMENN METODU

Yanal deplasman yapmayan sistemlerde çerçeveyenin göçmesi, bir veya daha fazla düğüm noktasının dönmesi şeklinde dir.



Şekil 3.14

$$M_{AB} = E \cdot k \cdot s [\theta_A + c \cdot \theta_B - (1+c) \delta / \ell] \quad (3.80)$$

$$M_{BA} = E \cdot k \cdot s [c \cdot \theta_A + \theta_B - (1+c) \delta / \ell] \quad (3.81)$$

Burada  $k=I/\ell$  ve  $s$  rijitlik katsayısıdır.  $c$ , eksenel yük  $P$  ye bağlı carry-over katsayısıdır. Bunlar  $\rho=P/P_E$  nin farklı değerleri için tablo haline getirilerek tablo 3.4 ve grafik gösterimi bölüm sonunda verilmiştir. Bu tablolar hakkında ayrıntılı bilgi Livesley ve Chandler'ın Stability Functions for Structural Frameworks, Manchester University yayınında bulunabilir.

$P=0$  iken  $s=4$  ve  $c=1/2$  olur

$P=P_E=\pi^2 \cdot E \cdot I / \ell^2$  iken  $s=2.4674$ ,  $c=1$  olur.

$P=2.05 \cdot P_E$  iken  $s=0$ ,  $c=\infty$  olur.

Eğer çerçevedeki bir i doğrultum noktası  $\theta_i$  kadar döndürülürse, hareket üretmek için gerekli moment :

$$\begin{aligned} M_i' &= \theta_i \sum E \cdot s \cdot k \\ &= E \cdot \theta_i \sum (s \cdot k)_{ij} \end{aligned} \quad (3.82)$$

j, i ye bağlı komşu düğüm noktasıdır. Eğer j,  $\theta_j$  kadar döndürülürse i deki moment :

$$M_i'' = E \theta_j (s \cdot k \cdot c)_{ij} \quad (3.83)$$

ve tüm düğüm noktaları döndüğünde i deki moment :

$$M_i = E \left[ \theta_i \sum (s \cdot k)_{ij} + \sum \theta_j (s \cdot k \cdot c)_{ij} \right] \quad (3.84)$$

**Matrisel gösterimle :**

$$\begin{aligned} W_D &= \{M_1 \ M_2 \ \dots \ M_n\} \\ \Delta_D &= \{\theta_1 \ \theta_2 \ \dots \ \theta_n\} \end{aligned} \quad (3.85)$$

$$W_D = E \cdot K_D \cdot \Delta_D \quad (3.86)$$

Burada  $K_D$  nin elemanları :

$$\begin{aligned} k_{ii} &= i \text{ D.N. da birleşen elemanların s.k toplamı} = \sum (s.k)_{ij} \\ k_{ij} &= ij \text{ elemani için } s.k.c \text{ değeri} = (s.k.c)_{ij} \end{aligned} \quad (3.87)$$

Çerçeve kritik yükünü taşıırken  $K_D$  singülerdir. Yani  $\det K_D = 0$  dir. Bu kritik yükle deneme yanlışlıkla ulaşılabilir. Ancak birçok yük için  $K_D$  nin hesaplanması oldukça güçtür. Bu yüzden problemi bir çeşit bilinmeyen köklerin bulunması problemine dönüştürmek daha uygun olur.

$$K_D = B + D \quad (3.88)$$

yazabiliz. Burada D, bir diagonal matristir ve elemanları :

$$d_{ii} = k_{ii} = \sum (s.k)_{ij} \quad (3.89)$$

şeklindedir. B matrisinin ise diagonaldeki elemanları sıfırdır. (3.88) eşitliğini D parantezine alalım :

$$K_D = D(B \cdot D^{-1} + I) \quad (3.90)$$

Eğer  $\det K_D = 0$  ise  $\det D = 0$  veya  $\det(B \cdot D^{-1} + I) = 0$  olur. Diğer yandan herhangi bir düğüm noktasında kritik yük  $\sum (s.k) = 0$  yapmaya yetmiyorsa D hiçbir zaman singüler olmaz. O halde

$$\det(B \cdot D^{-1} + I) = 0 \quad (3.91)$$

olmalıdır. Bu durumda  $(B \cdot D^{-1})$  in kökü  $\lambda = -1$  dir.

Burada  $C = (B \cdot D^{-1})$  dönüşümü yaparsak C nin elemanları şöyle bulunur :

$$C_{ij} = 0$$

$$C_{ij} = (s.k.c)_{ij} / \sum (s.k)_{ij} \quad (3.92)$$

$(B \cdot D^{-1})$  in diagonal dışındaki elemanları,  $K_D$  nin her kolonunu esas diagonaldeki elemanlara bölmek suretiyle bulabiliriz. Diagonaldeki tüm elemanlar sıfırdır.

Yapıda yükleme yok iken tüm carry-over katsayıları aynı olur :  $c = 1/2$ . Bu yüzden  $(B \cdot D^{-1})$  in tüm kolon toplamları  $= 1/2$  dir. Bu demektir ki  $(B \cdot D^{-1})$  in kökleri  $\pm 1/2$  arasındadır.

Yapıya etkiyen yük artarken,  $K_D$  ve  $(B \cdot D^{-1})$  in elemanları ve  $(B \cdot D^{-1})$  in kökleri yavaşça değişir. Kritik yük durumundaki kök  $\lambda = -1$  bu yüzden en büyük negatif köktür.

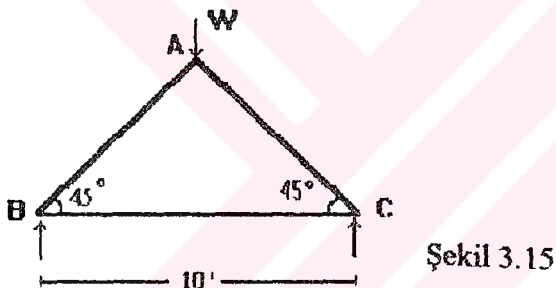
$$Q = B \cdot D^{-1} - I \quad (3.93)$$

dönüşümü yapılrsa  $K_D$  singüler iken  $Q$  nun kökü  $\lambda = -2$  dir. Bu kökün değerini sınamak  $\det K_D$  işlemini yapmaktan daha kolaydır. Yapının taşıyabileceği yük sistemi hesaplanır ve  $W$  yük parametresi ile çarpılır. Problem, yapının stabil olmadığı durumlarda  $W$  nun hesaplanmasıdır.  $W$  keyfi seçilir ve her  $W$  için  $\lambda = -2$  elde edilene dek  $\det K_D$  veya  $Q$  nun en büyük kökü hesaplanabilir. Aşağıdaki kontrollerle işi oldukça küçültebiliriz :

**Özellik I-)** Eğer  $K_D$  matrisine esas diagonalı hakimse, singüler olamaz. Bu yüzden çerçeveye stabildir.

**Özellik II-)** Eğer  $K_D$  nin esas diagonalinde bir eleman sıfır veya (-) ise çerçeveye kararsız denge durumundadır yani labildir. Çünkü dış yükün o noktada sıfır veya negatif bir dayanımla karşılaştığını gösterir.

### ÖRNEK 1.



Şekil 3.15

Şekildeki çerçevenin düğüm noktaları riyittir. Tüm elemanlar,  $3'' \times 3'' \times (1/4)''$  lik çift köşebentdir. Bu kesit için  $I=2.4 \text{ in}^4$   $E=13500 \text{ ton/in}^4$

BC elemanı için

$$\ell=120''$$

$$P_E=\pi^2 EI/\ell^2=22,2066 \text{ ton}$$

$$k=I/\ell=2.4/120=0,02 \text{ in}^3$$

AB ve BC elemanları için

$$\ell=84,84''$$

$$P_E=44,4132 \text{ ton}$$

$$k=0,028 \text{ in}^3$$

İlk olarak  $W=0$  sıfır yüklemesi için sistemi inceleyelim.

Tüm elemanlar için  $s=4$  ve  $c=1/2$  dir.

$$\text{BC için } s.k=0,08 \quad s.k.c=0,04$$

$$\text{AB ve AC için } s.k=0,113 \quad s.k.c=0,057$$

$$K_D = \begin{bmatrix} 0,226 & 0,057 & 0,057 \\ 0,057 & 0,193 & 0,040 \\ 0,057 & 0,040 & 0,193 \end{bmatrix}$$

$$k_{ij} = (skc)_{ij}$$

$$k_{ii} = \sum (sk)_{ij} \quad k_{11} = 0,113 * 2 = 0,226 \quad k_{22} = k_{33} = 0,113 + 0,08 = 0,193$$

$$C = \begin{bmatrix} 0 & 0,295 & 0,295 \\ 0,25 & 0 & 0,207 \\ 0,25 & 0,207 & 0 \end{bmatrix}$$

$$C_{ij} = (skc)_{ij} / \sum (sk)_{ij} \quad C_{ii} = 0$$

$$Q_0 = \begin{bmatrix} -1 & 0,295 & 0,295 \\ 0,25 & -1 & 0,207 \\ 0,25 & 0,207 & -1 \end{bmatrix} \quad Q = B \cdot D^{-1} - I = C - I$$

$$\text{Bunun bilinmeyen kökleri } \lambda_1 = -1,294 \quad X_1 = \{1 \quad -0,4987 \quad -0,4987\}$$

$$\lambda_2 = -1,207 \quad X_2 = \{0 \quad 1 \quad 1\}$$

$$\lambda_3 = -0,499 \quad X_3 = \{1 \quad -0,8496 \quad -0,8496\}$$

W=1 için

$$P_{AB} = P_{AC} = 0,707 \text{ ton basınc}$$

$$P_{BC} = 0,5 \text{ ton çekine}$$

$$\rho_{AB} = \rho_{AC} = 0,707 / 44,4132 = 0,015921$$

$$\rho_{BC} = 0,5 / 22,22066 = 0,022516$$

Şimdi yük parametresi W için bir değer seçerek buna ait K<sub>D</sub> ve Q matrislerini bulalım.

W=60

Eleman	k	P <sub>60</sub>	s	c	s.k	s.k.c
AB	0,028	0,9553	2,5481	0,9570	0,071347	0,068279
AC	0,028	0,9553	2,5481	0,9570	0,071347	0,068279
BC	0,020	-1,3509	5,5341	0,3051	0,110682	0,033769

$$K_D = \begin{bmatrix} 0,142694 & 0,068279 & 0,068279 \\ 0,068279 & 0,182029 & 0,033769 \\ 0,068279 & 0,033769 & 0,182029 \end{bmatrix}$$

Matrisin esas diagonali baskın durumdadır. O halde I. özelliğe göre çerçeve bu yük için stabildir. Hesaplama, W iki katına çıkarılarak devam eder.

**W=120**

Eleman	k	P <sub>120</sub>	s	c	s.k	s.k.c
AB	0,028	1,9105	0,4091	8,311	0,011455	0,095201
AC	0,028	1,9105	0,4091	8,311	0,011455	0,095201
BC	0,020	-2,7019	6,7481	0,226	0,134962	0,030501

$$K_D = \begin{bmatrix} 0,02291 & 0,095201 & 0,095201 \\ 0,095201 & 0,146417 & 0,030501 \\ 0,095201 & 0,030501 & 0,146417 \end{bmatrix}$$

$$Q_{120} = \begin{bmatrix} -1 & 0,650205 & 0,650205 \\ 4,155524 & -1 & 0,208316 \\ 4,155524 & 0,208316 & -1 \end{bmatrix}$$

Q nun en büyük kökü  $\lambda_1 = |-3,222| > |-2|$  olduğundan yük kritik noktanın üzerindedir. W yük parametresini 60 ile 120 arasında seçip devam edelim.

**W=90**

Eleman	k	P <sub>90</sub>	s	c	s.k	s.k.c
AB	0,028	1,4329	1,6065	1,749	0,044982	0,078673
AC	0,028	1,4329	1,6065	1,749	0,044982	0,078673
BC	0,020	-2,0264	6,1703	0,2585	0,123406	0,031900

$$K_D = \begin{bmatrix} 0,089964 & 0,078673 & 0,078673 \\ 0,078673 & 0,168388 & 0,0319 \\ 0,078673 & 0,0319 & 0,168388 \end{bmatrix}$$

$$Q_{90} = \begin{bmatrix} -1 & 0,361299 & 0,361299 \\ 0,874494 & -1 & 0,205097 \\ 0,874494 & 0,205097 & -1 \end{bmatrix}$$

Q<sub>90</sub> matrisinin en büyük kökü  $\lambda_1 = |-1,814| < |-2|$  olduğundan W=90 yüklemesi kritik yükten düşüktür. Öyleyse kritik yük 90 ile 120 arasındadır.

$W=100$

Eleman	$k$	$P_{100}$	$s$	$c$	$s.k$	$s.k.c$
AB	0,028	1,5921	1,243	2,3914	0,034804	0,08323
AC	0,028	1,5921	1,243	2,3914	0,034804	0,08323
BC	0,020	-2,2516	6,3687	0,2465	0,127374	0,031398

$$K_D = \begin{bmatrix} 0,069608 & 0,08323 & 0,08323 \\ 0,08323 & 0,162178 & 0,031398 \\ 0,08323 & 0,031398 & 0,162178 \end{bmatrix}$$

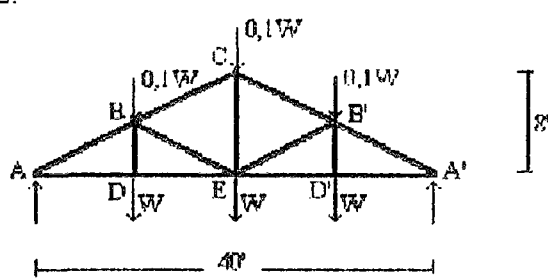
$$Q_{100} = \begin{bmatrix} -1 & 0,513202 & 0,513202 \\ 1,195696 & -1 & 0,193602 \\ 1,195696 & 0,193602 & -1 \end{bmatrix}$$

$Q_{100}$  matrisinin en büyük kökü  $\lambda_1 = -2,015 \equiv -2$  dir.

$$X_1 = \{1 \quad -0,989 \quad -0,989\}$$

Aranılan göçme yükü  $W_c = 100$  ton olur.

### ÖRNEK 2.



Şekil 3.16

Eleman	$\ell$	I	E.k	$P_F$	P	$P_1$
AB & AB'	129,24	5,2	543,2	41,43	4,443	0,1072
BC & B'C	129,24	5,2	543,2	41,43	2,962	0,0715
AD & AD'	120	4,4	495	40,71	-4,125	-0,1013
DE & D'E	120	4,4	495	40,71	-4,125	-0,1013
BD & BD'	48	0,7	196,9	40,49	-1	-0,0247
BE & B'E	129,24	1,96	204,7	15,63	1,481	0,0948
CE	96	0,96	135	13,88	-2,1	-0,1513

Yukarıdaki tabloda, şekil 3.16'daki kafes sistemin ön hesapları görülmektedir. Tablonun son kolonu,  $W=1$  iken  $\rho$  değerleridir. Başlangıçta  $W=10$  seçelim. Buna göre elde edilecek  $K_D$  matrisinde esas diagonal baskın olur. Yani çerçeve stabildir. Yük iki katına çıkarılıp işlemlere  $W=20$  için devam edilir. Bulunan  $Q_{20}$  matrisinin en büyük kökü -2 den büyük olduğundan 10 ile 20 arasında değerler seçilir ve sonuçta kritik yük  $W_c=17,5$  ton bulunur. Bu işlemler aşağıda gösterilmiştir.

$W=10$

Eleman	E.k	$\rho_{10}$	s	c	E.s.k	E.s.k.c
AB & AB'	543,2	1,072	2,338	1,074	1270	1363,98
BC & B'C	543,2	0,715	2,956	0,777	1605,7	1247,63
AD & AD'	495	-1,013	5,185	0,336	2566,58	862,37
DE & D'E	495	-1,013	5,185	0,336	2566,58	862,37
BD & BD'	196,9	-0,247	4,31	0,446	848,64	378,49
BE & B'E	204,7	0,948	2,556	0,952	523,21	498,1
CE	135	-1,513	5,69	0,291	768,15	223,53

$$K_D = \begin{bmatrix} 3836,58 & 1363,98 & 0 & 862,37 & 0 & 0 & 0 \\ 4247,55 & 1247,63 & 378,49 & 498,10 & 0 & 0 & 0 \\ & 3979,55 & 0 & 223,53 & 0 & 1247,63 & 0 \\ & & 5981,8 & 862,37 & 0 & 0 & 0 \\ & & & 6947,73 & 862,37 & 498,10 & 0 \\ \text{sim} & & & & 5981,8 & 378,49 & 862,37 \\ & & & & & 4247,55 & 1363,98 \\ & & & & & & 3836,58 \end{bmatrix}$$

$W=20$

Eleman	E.k	$\rho_{10}$	s	c	E.s.k	E.s.k.c
AB & AB'	543,2	2,144	-0,324	-1,197	-176	2106,72
BC & B'C	543,2	1,430	1,613	1,74	876,18	1524,553
AD & AD'	495	-2,026	6,168	0,258	3053,16	787,72
DE & D'E	495	-2,026	6,168	0,258	3053,16	787,62
BD & BD'	196,9	-0,494	4,620	0,403	909,68	366,6
BE & B'E	204,7	1,896	0,45	7,48	92,12	689,06
CE	135	-3,026	7	0,214	945	202,23

$$K_D = \begin{bmatrix} 2877,62 & 2106,72 & 0 & 787,72 & 0 & 0 & 0 & 0 \\ & 1701,98 & 1524,55 & 366,6 & 689,6 & 0 & 0 & 0 \\ & & 2697,36 & 0 & 202,23 & 0 & 1524,55 & 0 \\ & & & 7016 & 787,72 & 0 & 0 & 0 \\ & & & & 7235,56 & 787,72 & 689,06 & 0 \\ \text{sim} & & & & & 7016 & 366,6 & 787,72 \\ & & & & & & 1701,98 & 2106,72 \\ & & & & & & & 2894,44 \end{bmatrix}$$

$$Q_{20} = \begin{bmatrix} -1 & 1,2378 & 0 & 0,1123 & 0 & 0 & 0 & 0 \\ 0,7322 & -1 & 0,5652 & 0,0523 & 0,0952 & 0 & 0 & 0 \\ 0 & 0,8958 & -1 & 0 & 0,0279 & 0 & 0,8558 & 0 \\ 0,2738 & 0,2154 & 0 & -1 & 0,1089 & 0 & 0 & 0 \\ 0 & 0,4049 & 0,075 & 0,1123 & -1 & 0,1123 & 0,4049 & 0 \\ 0 & 0 & 0 & 0 & 0,1089 & -1 & 0,2154 & 0,2738 \\ 0 & 0 & 0,5652 & 0 & 0,0952 & 0,0523 & -1 & 0,7322 \\ 0 & 0 & 0 & 0 & 0 & 0,1123 & 1,2378 & -1 \end{bmatrix}$$

$$\lambda_1 = -2,4075$$

$$X_1 = \{1 \quad -1,331 \quad -1,428 \quad -0,067 \quad 0,585 \quad -0,067 \quad -1,131 \quad 1\}$$

$W=15$  için de aynı işlemler yapılır.  $Q_{15}$  için bulunan kök

$$\lambda_1 = -1,7865 < -2$$

$$X_1 = \{1 \quad -1,474 \quad -1,616 \quad -0,164 \quad 0,608 \quad -0,164 \quad -1,474 \quad 1\}$$

$|-1,7865| < |-2|$  olduğundan yük artırılmalıdır.

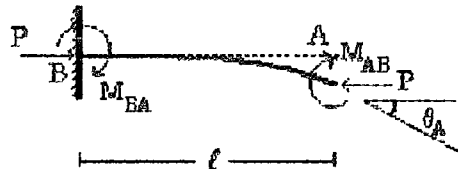
$W=17,5$  için

$$\lambda_1 = -2,0004 \geq -2$$

$$X_1 = \{1 \quad -1,338 \quad -1,548 \quad -0,118 \quad 0,607 \quad -0,118 \quad -1,338 \quad 1\}$$

$\lambda_1 \geq -2$  olduğundan seçilen yük çarpanı, kritik yük değeri demektir. Yani  $W_c = 17,5$  olur.

### 3.3.2. YANAL DEPLASMAN YAPAN SİSTEMLERDE McMINN ÇÖZÜMÜ



Şekil 3.17

Eğer AB elemanının B ucu ankastre mesnetli ve A ucu eşzamanlı bir deplasman hareketi ile, sıfır kesme kuvveti verecek şekilde  $\theta_A$  kadar dönerse şöyle yazabiliriz :

$$M_{AB} = n.E.k.\theta_A \quad (3.94)$$

$$M_{BA} = -o.E.k.\theta_A \quad (3.95)$$

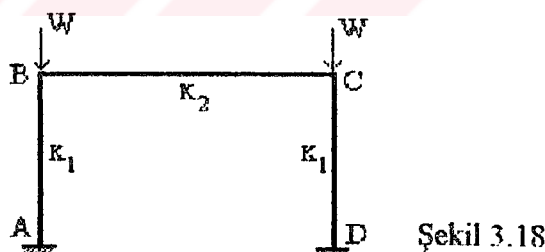
$n$  ve  $o$  fonksiyonlarının Livesley-Chandler tablolarında  $\rho=P/P_E$  ye bağlı değerleri mevcuttur. Bu  $n$  ve  $o$  fonksiyonları, tek açıklıklı ve eşit uzunluktaki kolonlara sahip sistemlere uygulanabilir. Ayakları farklı uzunluktaki veya birden fazla açıklıklı çerçeveler Lightfoot yöntemiyle tek açıklıklı, eşit ayaklı bir eşdeğer sisteme dönüştürülmelidir.

### ÖRNEK 3.

Şekil 3.18 deki basit çerçeveyi incelersek ; iki mümkün göçme modu vardır. İki iki düğüm noktası B ve C karşıt yönlerde dönerler. Yük ve sistem simetrikliğinden

$$\theta_C = -\theta_B$$

yazılabilir. Bu durumda yanal deplasman yoktur. Çünkü iki ayaktaki kesme kuvvetleri eşit ve ters yönlüdür. Bu yüzden 3.3.1 bölümündeki yöntemi kullanabiliriz.



Şekil 3.18

Eğer BC deki eksenel kuvveti ihmal edersek  $S_{BC}=4$  ,  $C_{BC}=0$  olur. Simetri sebebiyle yalnız bir dönme hesaplanacaktır.

$$\begin{aligned} M &= E.\theta_B(4k_2+s.k_1)+0_C.s.k_2.c \\ &= E.\theta_B(2k_2+s.k_1) \end{aligned}$$

$M=0$  ve  $\theta_B$  sonlu iken  $(2k_2+s.k_1)=0$  yani  $s=-2k_2/k_1$  yazarsak, eğer  $k_1=k_2$  ise  $s=-2$  olur. Tablolardan  $\rho=2,552$  olur. olur. Burada  $P_E$ , AB için Euler yükü olmak üzere

$$W_c=2,552.P_E$$

buhunur.

İkinci olası göçme modu ise iki düğüm noktasının aynı yönde dönmesidir. İki kolon da aynı olduğundan kesme kuvvetleri eşit olacaktır. Toplam kesme kuvveti sıfır olduğundan kolonlarda kesme kuvveti sıfır olur. Her iki kolon da aynı yanal deplasmana ve sıfır kesme kuvvetine sahip olduğundan

$$M = E \cdot \theta_B(n \cdot k_1 + 4k_2) + E \cdot \theta_C \cdot 2k_2 \\ = E \cdot \theta_B(n \cdot k_1 + 6k_2)$$

#### **Kritik yük durumunda :**

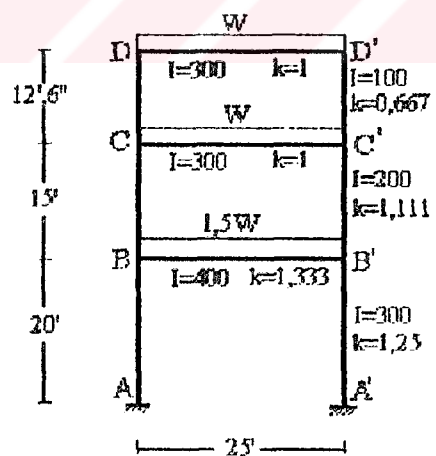
$$(n \cdot k_1 + 6k_2) = 0 \quad , \quad n = -6 \cdot k_2 / k_1$$

Eğer  $k_1 = k_2$  ise  $n = -6$  olur. Bunun için  $\rho = 0,75$  olur.

$$W_C = 0,75 \cdot P_E$$

Bu kritik yük, yanal deplasman yapmayan durum için hesap edilenden daha küçük olduğundan gerçek kritik yüklerdir.  $W=2.552$ .  $P_E$  durumu, ancak B ve C noktalarının yanlardan desteklenmesiyle mümkün olabilir ve bu farklı bir problemdir.

#### ÖRNEK 4.



Sekil 3.19

Şekil 3.19 da görülen çerçeve yanal deplasman yapmayan durum için analiz edilmeyecektir. Çünkü sonuç 3. örnek ile aynı olacaktır. Yani bulunan W değeri yanal deplasmanlı durumda bulunandan daha büyük olacaktır.

Çerçeve yanal deplasman yaptığı zaman her bir kirişin iki ucunda dönmelet aynı olacaktır. Öyleyse yalnız bir ayağı ( $AB$ ,  $BC$  ve  $CD$  elemanları) gözönüne almamız yeterlidir.

B ye uygulanan moment :

$$\begin{aligned} M_B &= E \cdot \theta_B [(nk)_{AB} + (nk)_{BC} + 4k_{BB'}] + E \cdot \theta_B' \cdot 2k_{BB'} - E \cdot \theta_B \cdot 2k_{BB'} - E \cdot \theta_C \cdot (o.k)_{BC} \\ &= E \cdot \theta_B [(nk)_{AB} + (nk)_{BC} + 6k_{BB'}] - E \cdot \theta_C \cdot (o.k)_{BC} \end{aligned}$$

C ye uygulanan moment :

$$M_C = E \cdot \theta_C [(nk)_{BC} + (nk)_{CD} + 4k_{CC'}] - E \cdot \theta_B \cdot (o.k)_{BC} - E \cdot \theta_D \cdot (o.k)_{CC}$$

D ye uygulanan moment :

$$M_D = E \cdot \theta_D [(nk)_{CD} + 4k_{DD'}] - E \cdot \theta_C \cdot (o.k)_{CD}$$

Bu denklemleri matris formunda toparlarsak

$$M = K_D \cdot \theta$$

$$K_D = \begin{bmatrix} ((nk)_{AB} + (nk)_{BC} + 6k_{BB'}) & -(ok)_{BC} & 0 \\ -(ok)_{BC} & ((nk)_{BC} + (nk)_{CD} + 6k_{CC'}) & -(ok)_{CD} \\ 0 & -(ok)_{CD} & ((nk)_{CD} + 6k_{DD'}) \end{bmatrix}$$

CD deki yük=W/2

BC deki yük=W

AB deki yük=7W/4

CD için Euler yükü =592,18 ton

BC için Euler yükü =822,47 ton

AB için Euler yükü =693,96 ton

W=1 için

$$\rho_{AB}=0,0025218 \quad \rho_{BC}=0,0012158 \quad \rho_{CD}=0,0008443$$

W=200

Eleman	k	$\rho_{200}$	n	o	nk	ok
AB	1,250	0,5044	-1,7335	2,8256	-2,1669	0,6505
BC	1,111	0,2432	0,0333	1,5497	0,0370	1,7217
CD	0,667	0,1689	0,3707	1,3434	0,2473	0,8960

$$K_D = \begin{bmatrix} 5,8701 & -1,7217 & 0 \\ -1,7217 & 6,2843 & -0,896 \\ 0 & -0,896 & 6,2473 \end{bmatrix}$$

Matrisin esas diagonali baskındır. Öyleyse I. özelliğe göre, çerçeve stabildir.

W=300

Eleman	k	$\rho_{200}$	n	o	nk	ok
AB	1,250	0,7565	-6,3050	6,8719	-7,8813	8,5899
BC	1,111	0,3647	-0,6425	2,0032	-0,7138	2,2256
CD	0,667	0,2533	-0,0164	1,5813	-0,0109	1,0547

$$K_D = \begin{bmatrix} -0,5951 & -2,2256 & 0 \\ & 5,2753 & -1,0547 \\ \text{sim.} & & 5,9891 \end{bmatrix}$$

$k_{11}$  negatiftir. Yani II. özelliğe göre W=300, kritik yükün üzerindedir. Çünkü B düğüm noktasına uygulanan dönme, bir negatif momente ihtiyaç gösterir. Bu da sistemin labil olması demektir.

W=250

Eleman	k	$\rho_{250}$	n	o	nk	ok
AB	1,250	0,6305	-3,3019	4,1382	-4,1274	5,1728
BC	1,111	0,3040	-0,2821	1,7551	-0,3134	1,9499
CD	0,667	0,2111	0,1848	1,4552	-0,1233	0,9706

$$K_D = \begin{bmatrix} 3,5592 & -1,9499 & 0 \\ & 5,8099 & -0,9706 \\ \text{sim.} & & 6,1233 \end{bmatrix}$$

Esas diagonal baskın olduğundan çerçeve stabildir. Kritik yük 250 ile 300 arasındadır

W=280

Eleman	k	$\rho_{280}$	n	o	nk	ok
AB	1,250	0,7061	-4,8144	5,4909	-6,0180	6,8636
BC	1,111	0,3404	-0,4918	1,8978	-0,5464	2,1085
CD	0,667	0,2364	0,0661	1,5290	0,0441	1,0198

$$K_D = \begin{bmatrix} 1,4356 & -2,1085 & 0 \\ & 5,4977 & 1,0198 \\ \text{sim.} & & 6,0441 \end{bmatrix}$$

$$Q_{280} = \begin{bmatrix} -1 & -0,3835 & 0 \\ -1,4687 & -1 & -0,1687 \\ 0 & 0,1855 & 1 \end{bmatrix}$$

$$\lambda_1 = -1,771$$

$$X_1 = \{1 \quad 2,0106 \quad 0,4838\}$$

$$W=290$$

Eleman	k	$\rho_{290}$	n	o	nk	ok
AB	1,250	0,7313	-5,4922	6,1142	-6,8653	7,6428
BC	1,111	0,3526	-0,5664	1,9497	-0,6293	2,1661
CD	0,667	0,2448	0,0254	1,5547	0,0169	1,0370

$$K_D = \begin{bmatrix} 0,5054 & -2,1661 & 0 \\ & 5,3876 & -1,037 \\ \text{sim.} & & 6,0169 \end{bmatrix}$$

$$Q_{290} = \begin{bmatrix} -1 & -0,4021 & 0 \\ -4,2859 & -1 & -0,1723 \\ 0 & -0,1925 & -1 \end{bmatrix}$$

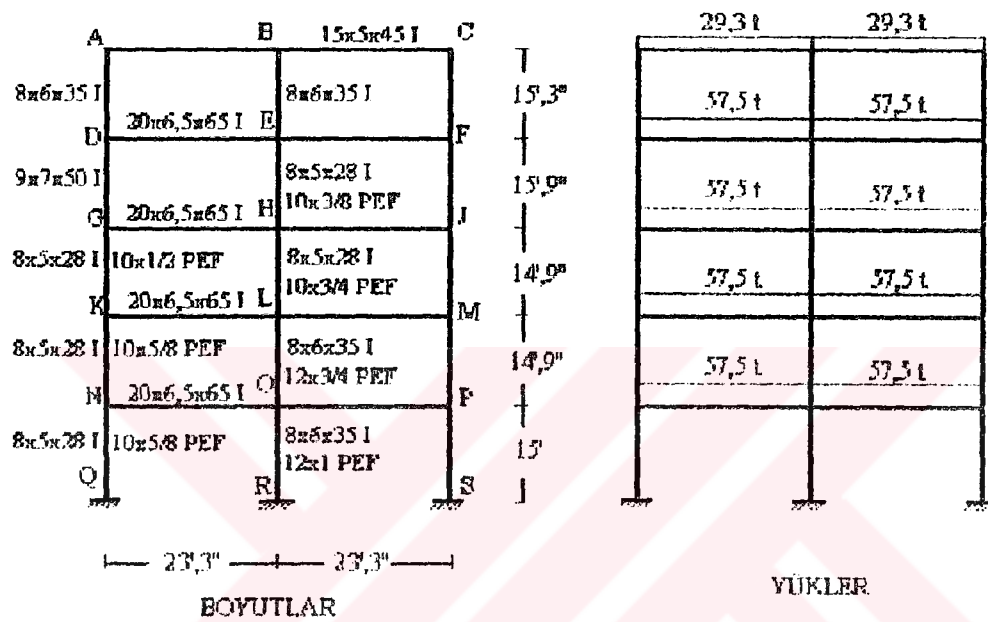
$$\lambda_1 = -2,325$$

$$X_1 = \{1 \quad 3,296 \quad 0,4787\}$$

Yapılan son iki hesapta görüyoruz ki kritik yük 280 ile 290 arasında yer almaktadır.  $W_c=285$  alırsak hesaplarla saptanan hata %2 den fazla olmaz.

### ÖRNEK 5.

Şekil 3.20 de görülen çerçeve Bowles ve Merchant tarafından tartışılmıştır. Gösterilen yüklemeler, çerçeve için tasarlanmış işletme yükleridir. Bunlarla çarpılarak kritik yükü verecek W parametresi araştırılmaktadır. Mc Minn yöntemiyle çözülebilmesi için ilk olarak çerçeve, Lightfoot metoduyla tek açıklıklı çerçeveye indirgenir.(bkz. şekil 3.21)



Şekil 3.20

Lightfoot metoduna göre :

-Eşdeğer çerçevenin her bir katı için  $\rho$  değeri :

$$\rho = P/P_E = (P_1 + P_2 + P_3)/(P_{E1} + P_{E2} + P_{E3})$$

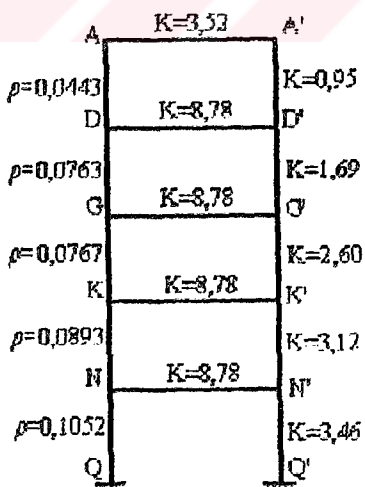
şeklinde bulunur. Burada  $P_n$ =n. kolondaki eksenel yük,  $P_{En}$ =n. kolonun Euler yüküdür.

-Kolon rıjitliği, o kattaki kolonların rıjitlik toplamlarının yarısı olarak alınır.

-Kiriş rıjitliği, o kattaki kirişlerin rıjitlikleri toplamına eşittir

Bu hesaplamalar aşağıdaki tabloda gösterilmiştir.

Eleman	P	I	$\ell$	k	$P_E$	Eşdeğer ρ	Eşdeğer k
AD & CF	14,6	115	183	0,63	440	$\frac{14,6+29,3+14,6}{440+440+440} = 0,0443$	0,945
DG & FJ	43,4	208	189	1,1	745	$\frac{43,4+86,8+43,4}{745+793+745} = 0,076$	1,685
GK & JM	72,2	271	177	1,53	1110	$\frac{72,2+144,3+72,2}{1110+1550+1110} = 0,0766$	2,600
KN & MP	100, 9	322	177	1,82	1320	$\frac{100,9+201,8+100,9}{1320+1880+1320} = 0,0893$	3,120
NQ,PS	129, 6	322	180	1,79	1275	$\frac{129,6+259,8+129,6}{1275+2380+1275} = 0,1053$	3,46
BE	29,3	115	183	0,63	440		
EH	86,8	221	189	1,17	793		
HL	144, 3	378	177	2,14	1550		
LO	201, 8	460	177	2,60	1880		
OR	259, 8	602	180	3,34	2380		
AB & BC	-	492	279	1,76	-		3,520
Kirişler	-	1226	279	4,39	-		8,78



Tek eştirkili eşdeğer sistem

Sekil 3.21

Tek açıklıklı eşdeğer sistemi elde ettikten sonra başlangıç olarak  $W=5$  seçelim.

$W=5$

Eleman	k	$\rho_s$	n	o	n.k	o.k
AD	0,95	0,2215	0,1368	1,4849	0,1300	1,4107
DG	1,69	0,3815	-0,7519	2,0811	-1,2707	3,5171
GK	2,60	0,3835	-0,7653	2,0907	-1,9898	5,4358
KN	3,12	0,4465	-1,2258	2,4311	-3,8245	7,5850
NQ	3,46	0,5260	-1,9497	2,9989	-6,7460	10,376

$$K_D = \begin{bmatrix} 21,25 & -1,4107 & 0 & 0 & 0 \\ 51,5393 & -3,5171 & 0 & 0 & 0 \\ & 49,4195 & -5,4358 & 0 & 0 \\ \text{sim.} & & 46,8657 & -7,585 & \\ & & & & 42,1095 \end{bmatrix}$$

Esas diagonal baskın olduğundan yük artırılarak devam edilir.

$W=8$

Eleman	k	$\rho_R$	n	o	n.k	o.k
AD	0,95	0,3544	-0,5776	1,9575	-0,5487	1,85960
DG	1,69	0,6104	-2,9915	3,8696	-5,0556	6,53960
GK	2,60	0,6136	-3,0396	3,9111	-7,9030	10,1689
KN	3,12	0,7144	-5,0257	5,6843	-15,880	17,7350
NQ	3,46	0,8416	-10,861	11,235	-37,580	38,8814

$$K_D = \begin{bmatrix} 20,5713 & -1,8596 & 0 & 0 & 0 \\ 47,0757 & -6,5396 & 0 & 0 & 0 \\ & 39,7214 & 10,1689 & 0 & 0 \\ \text{sim.} & & 28,8968 & -17,735 & \\ & & & & -0,7803 \end{bmatrix}$$

$k_{55}$  negatif olduğundan  $W=8 > W_c$  demektir.

$W=7$

Eleman	k	$\rho_7$	n	o	n.k	o.k
AD	0,95	0,3101	-0,3159	1,7778	-0,30010	1,68890
DG	1,69	0,5341	-2,0352	3,0683	-3,43950	5,18540
GK	2,60	0,5369	-2,0653	3,0928	-5,36980	8,04130
KN	3,12	0,6251	-3,2163	4,0639	-10,0349	12,6749
NQ	3,46	0,7364	-5,6457	6,2566	-19,5341	21,6478

$$K_D = \begin{bmatrix} 20,8199 & -1,6889 & 0 & 0 & 0 \\ & 48,9404 & -5,1854 & 0 & 0 \\ & & 43,8707 & -8,0413 & 0 \\ & \text{sim.} & & 37,2753 & -12,6794 \\ & & & & 23,111 \end{bmatrix}$$

Esas diagonal baskındır. O halde kritik yük 7 ile 8 arasındadır.

$W=7,5$

Eleman	k	P <sub>7,5</sub>	n	o	n.k	o.k
AD	0,95	0,3323	-0,4437	1,8646	-0,42150	1,77140
DG	1,69	0,5723	-2,4763	3,4324	-4,18490	5,80080
GK	2,60	0,5723	-2,5141	3,4641	-6,53670	9,00670
KN	3,12	0,6698	-4,0072	4,7611	-12,5025	14,8546
NQ	3,46	0,7890	-7,6217	8,1166	-26,3711	28,0834

$$K_D = \begin{bmatrix} 20,6985 & -1,7714 & 0 & 0 & 0 \\ & 48,0736 & -5,8008 & 0 & 0 \\ & & 41,9584 & -9,0067 & 0 \\ & \text{sim.} & & 33,6408 & -14,8546 \\ & & & & 13,8064 \end{bmatrix}$$

$$Q_{7,5} = \begin{bmatrix} -1 & -0,0368 & 0 & 0 & 0 \\ -0,0856 & -1 & -0,1383 & 0 & 0 \\ & -0,1207 & -1 & -0,2677 & 0 \\ & & -0,2147 & -1 & -1,0759 \\ & & & -0,4416 & -1 \end{bmatrix}$$

$\lambda_1 = -1,731$

$X_1 = \{0,0036 \quad 0,0719 \quad 0,378 \quad 1 \quad 0,6041\}$

$|-1,731| < |-2|$  olduğundan kritik yük 7,5 ile 8 arasındadır.

W=7,7

Eleman	k	$\rho_{7,7}$	n	o	n.k	o.k
AD	0,95	0,3411	-0,4961	1,9007	-0,47130	1,80570
DG	1,69	0,5875	-2,6719	3,5970	-4,51550	6,07890
GK	2,60	0,5906	-2,7129	3,6317	-7,05350	9,44240
KN	3,12	0,6876	-4,3814	5,0975	-13,6725	15,9042
NQ	3,46	0,8100	-8,7019	9,1498	-30,1086	31,6583

$$K_D = \begin{bmatrix} 20,6487 & -1,8057 & 0 & 0 & 0 \\ 47,6932 & -6,0789 & 0 & 0 & 0 \\ & 41,111 & -9,4424 & 0 & 0 \\ \text{sim.} & & 31,9565 & -15,9042 & \\ & & & 8,9014 & \end{bmatrix}$$

$$Q_{7,7} = \begin{bmatrix} -1 & -0,0379 & 0 & 0 & 0 \\ -0,0874 & -1 & -0,1479 & 0 & 0 \\ 0 & -0,1275 & -1 & -0,2955 & 0 \\ 0 & 0 & -0,2297 & -1 & -1,7867 \\ 0 & 0 & 0 & -0,4977 & -1 \end{bmatrix}$$

$$\lambda_1 = -1,979 \cong -2$$

$$X_1 = \{0,0018 \quad 0,0466 \quad 0,3079 \quad 1 \quad 0,5083\}$$

$\lambda_1 \cong -2$  olduğundan  $W_c=7,7$  bulduk.

Tablo 3.4 Livesley & Chandler Tabloları

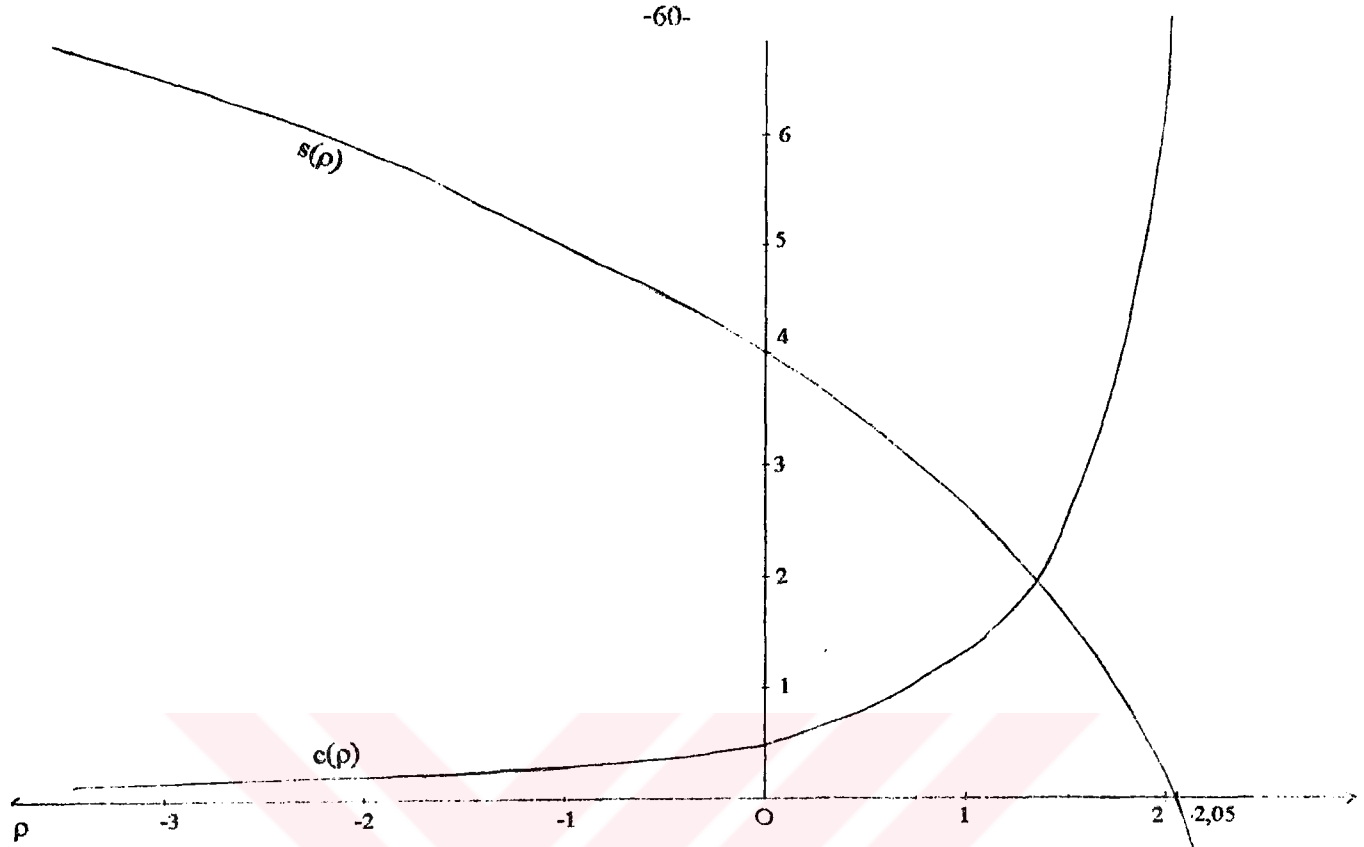
Yatay deplasman yapmayan sistemler  
için  $s(\rho)$  ve  $c(\rho)$  tablosu

$\rho$	$s$	$c$
-3,026	7	0,214
-2,7019	6,7481	0,226
-2,2516	6,3687	0,2465
-2,0264	6,1703	0,2585
-1,773	5,939	0,274
-1,513	5,69	0,291
-1,3509	5,5341	0,3051
-1,013	5,185	0,336
-0,494	4,62	0,403
-0,371	4,46	0,428
-0,247	4,31	0,446
0	4	0,5
0,715	2,956	0,777
0,9553	2,548	0,957
1	2,4674	1
1,072	2,338	1,074
1,251	1,989	1,333
1,4329	1,6065	1,749
1,5921	1,243	2,3914
1,659	1,028	2,988
1,9105	0,4091	8,311
2,05	0	$\infty$
2,144	-0,324	

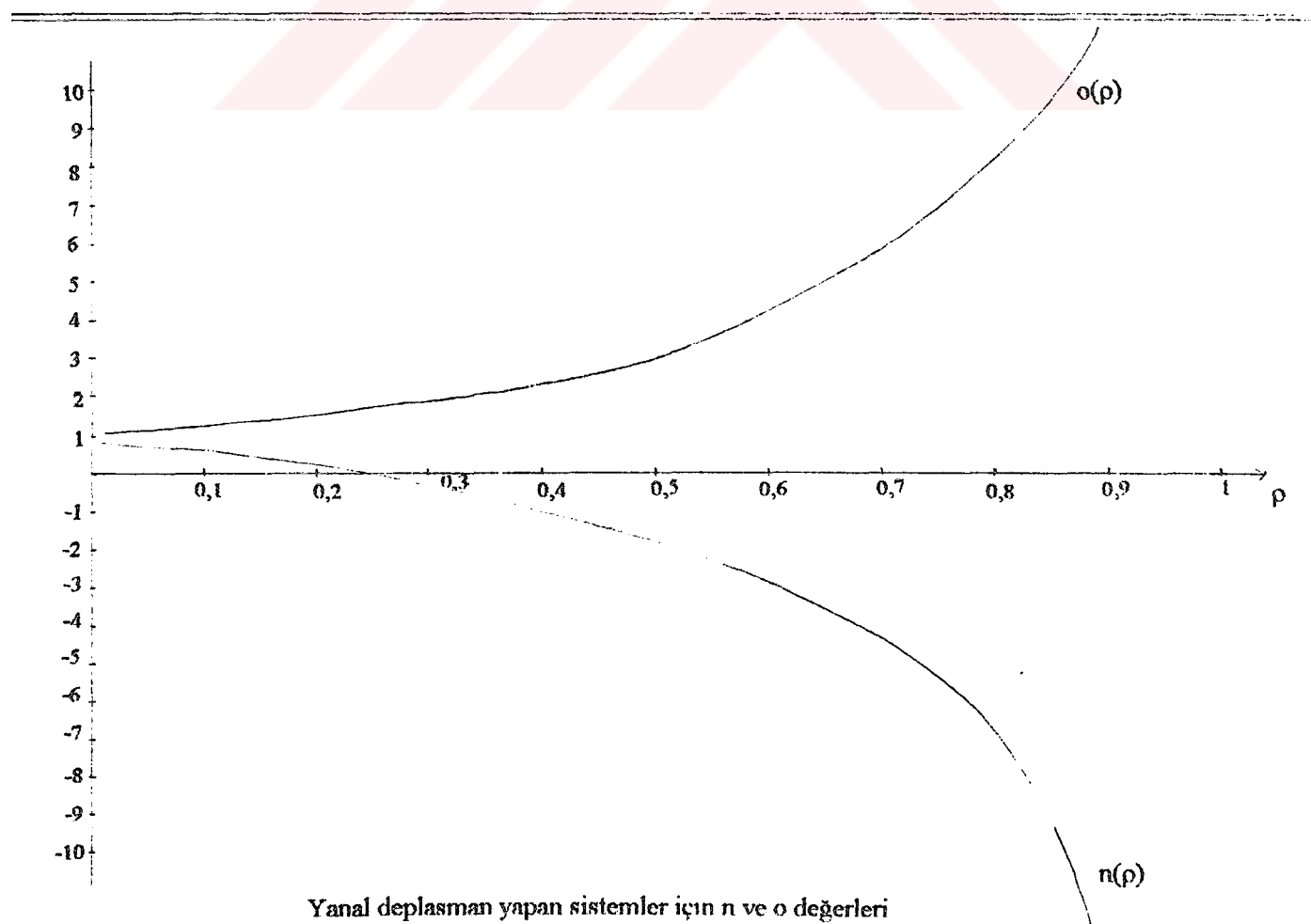
Yatay deplasman yapan sistemler  
için  $n(\rho)$  ve  $o(\rho)$  tablosu

$\rho$	$n$	$o$
0,1689	0,3707	1,3434
0,211	0,1848	1,4552
0,2215	0,1368	1,4849
0,2432	0,0333	1,5497
0,2533	-0,0164	1,5813
0,304	-0,2812	1,7551
0,3404	-0,4918	1,8978
0,3647	-0,6425	2,0032
0,4465	-1,2258	2,4311
0,5044	-1,7335	2,8256
0,526	-1,9497	2,9989
0,5369	-2,0653	3,0928
0,5723	-2,4763	3,4324
0,5875	-2,6719	3,597
0,6305	-3,3019	4,1382
0,6698	-4,0072	4,7611
0,7061	-4,8144	5,4909
0,7565	-6,305	6,8719
0,789	-7,6217	8,1166
0,81	-8,7019	9,1498
0,8416	-10,8613	11,2347

-60-



Yanal deplasman yapmayan sistemler için  $s$  ve  $c$  değerleri



Yanal deplasman yapan sistemler için  $n$  ve  $o$  değerleri

#### 4. ELASTİK STABİLİTENİN SINIRI VE İNELASTİK STABİLİTE

Cısmın elastik olduğu ve Hooke kanunu uyduğu esasından hareket eden stabilité teorisi ve formüllerin hepsi sınırlıdır. Çünkü yapı malzemeleri bu söylenen özelliklere ancak belirli sınırlar arasında sahip olabilir.

Formüllerin uygulama alanını belirtmek için birçok halleri kapsayan (3.63) de verilen kritik yük formülünü ele alalım,  $P_k = \pi^2 EI / \ell_b^2$ : burada E ile Hooke kanunu uyduğu kabul edilen malzemenin sabit elastisite modülü gösterilmektedir. Hesapları kritik yük yerine gerilme cinsinden yapalım. A, çubukun kesit alanı ise kritik gerilme

$\sigma_k = P_k / A = (\pi^2 EI) / (\ell_b^2 A)$  şeklinde bulunur.  $I/A = i^2$  kesitin atalet yarıçapı olduğuna göre yukarıdaki formül de  $\sigma_k = \pi^2 E / (\ell_b / i)^2$  şeklinde girer. Tarif olarak

$$\lambda = \ell_b / i \quad (4.1)$$

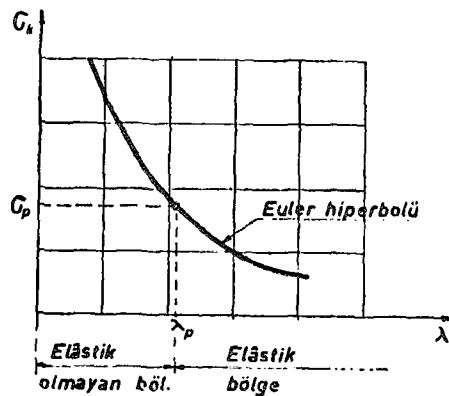
oranına narinlik derecesi denirse  $\sigma_k$  kritik yük formülü

$$\sigma_k = \frac{\pi^2 E}{\lambda^2} \quad (4.2)$$

şeklini alır. Buna göre kritik gerilmenin narinlik derecesinin karesiyle ters orantılı olduğu anlaşılır. Şekil 4.1 de  $(\sigma_k, \lambda)$  bağıntısı çelik için grafik olarak çizilmiştir. Euler hiperbolü denen bu eğri küçük narinlik dereceleri için büyük ordinatlara sahiptir ve belirli bir  $\lambda_p$  narinlik derecesi için Hooke kanununun uygulama alanını sınırlayan  $\sigma_p$  orantılılık sınırına ulaşır. İşte bu narinlik derecesi Euler formülünü sınırlayan en küçük narinlik derecesidir ve şu şekilde bulunur :

$$\lambda_p = \sqrt{\frac{\pi^2 E}{\sigma_p}} \quad (4.3)$$

Örneğin St. 37 için  $\sigma_p = 1900 \text{ kg/cm}^2$ ,  $E = 2.1 \times 10^6 \text{ kg/cm}^2$  alınacak olursa  $\lambda_p = 105$  elde olunur. Aynı şekilde St. 52 için  $\sigma_p = 2850 \text{ kg/cm}^2$  alınmak suretiyle  $\lambda_p = 85$  bulunur.



Şekil 4.1

Çubukta narinlik sınırı  $\lambda < \lambda_p$  olursa (4.2) ile bulunacak  $\sigma_k$  değeri  $\sigma_p$  sınırını aşar ve öngörülen şartlar gerçekleşenmediği için artık Euler formülü kullanılamaz. Bu bölgeye elastik olmayan bölge denir, ( $0 < \lambda < \lambda_p$ ). Kısa çubuklar için bahis konusu olabilecek bu bölgede kritik yük veya gerilmenin hesabı, elastik bölgede olduğu gibi basit bir problem değildir. Buna şu faktörler sebep olmaktadır :

a) Orantılılık sınırının üstünde gerilme ve şekil değiştirme bağıntısı her malzeme de farklı bir karakter gösterir.

b) Cisin bu alanda göstereceği kalıcı=plastik şekil değiştirmeler dolayısıyla gerilme ve şekil değiştirme bağıntılarında birebir tekabül bulunmaz.

Yani malzemenin geçmişi = strain history hesapta rol oynar.

c) Çubuk eğri forma geçince her listedeki durum birbirinden farklı olur, dolayısıyla çubuğun kesit şekli kritik yüklerin hesabına etki eder.

d)  $(\sigma, \varepsilon)$  bağıntısı yalnız bir listeden diğerine değil, aynı lif üzerinde kalsak bile, eksen boyunca da farklı durumlar gösterir.

Bütün bu sayılan noktalardan ötürü elastik olmayan bölgede her malzeme ve kesit şekli için (4.2) dekine benzer tek bir formül vermeğe imkan yoktur. Bu konuda yapılmış deneysel çalışmalar ve teorik araştırmaları ele alalım.

İlk deneysel çalışmalar Tetmajer tarafından yapılmış ve çelik için varılan sonuçlar şekil 4.2 de şematik olarak gösterilmiştir. Şekilden anlaşıldığına göre,  $\sigma_k$  kritik gerilmeleri narinliğe bağlı olarak değişmekte ve  $\lambda < \lambda_p$  bölgesinde Euler hiperbolünün çok altında değerler almaktadır. Tetmajer, deneyden elde ettiği sonuçlara dayanarak  $\lambda < \lambda_p$  bölgesi için  $(\sigma_k, \lambda)$  bağıntısının doğrusal bir fonksiyonla ifade edilebileceğini kabul etmiştir. Tetmajer burkulma formülleri şu esas kabule dayanmaktadır :  $\sigma_k$  kritik gerilmesi elastik olmayan bölgede de yalnız  $\lambda$  narinlik derecesine bağlıdır. Gerilme boyutları  $\text{kg/cm}^2$  olmak üzere birkaç önemli yapı malzemesi için Tetmajer formülleri :

Yapi çeliği için :

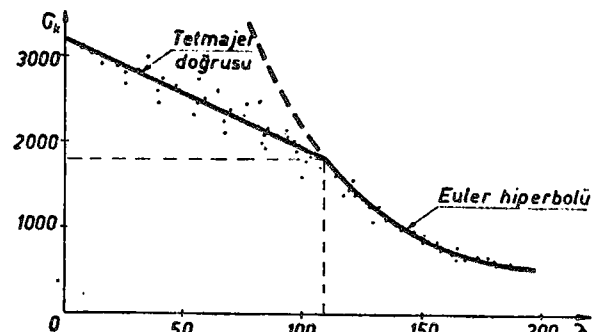
$$\sigma_k = 3100 - 11.4\lambda \quad \lambda < \lambda = 105 \quad (4.4)$$

Ahşap için :

$$\sigma_k = 293 - 1.94\lambda \quad \lambda < \lambda = 100 \quad (4.5)$$

Dökme demir için:

$$\sigma_k = 7760 - 120\lambda + 0.53\lambda^2 \quad \lambda < \lambda = 80 \quad (4.6)$$



Şekil 4.2

Benzer burkulma deneyleri birçok araştırmacılar tarafından tekrarlanılmış ve oldukça yakın sonuçlar elde edilmiştir. Çeşitli araştırmacılardan varlığı sonular arasındaki farkı, burkulma deneylerinin zorluğu, çubuk mesnetlerindeki istenmeyen eksantrikliklerin varlığı ve mafsallardaki sürtünmelerle açıklamak mümkündür. Deneylerde kullanılan malzeme ve kesit şekillerindeki farklar da, somuçların birbirleriyle karşılaştırmasında, güçlükler çıkarmaktadır.

Deney ve kabullere dayanan burkulma formüllerinden biri de Rankine formülüdür. Bunun dayandığı esas şudur : Çubuk çok kısa ( $\lambda \rightarrow 0$ ) olursa kritik yük olarak cismin basınçtaki mukavemeti, mesela çelik için akın yükü almacaktır ; bu değere  $P_M$  diyelim. Eğer çubuk çok uzun ( $\lambda \rightarrow \infty$ ) olursa kritik yük Euler formülünden bulunacaktır ; o da  $P_E = (\pi^2 E / \lambda^2) A$  dan ibarettir. Bu iki sınır arasındaki narinlik dereceleri için de

$$1/P_k = 1/P_M + 1/P_E$$

şeklinde bir ortalama alınmasını Rankine önermiştir. Buradan  $P_k$  kritik yükü çözülürse

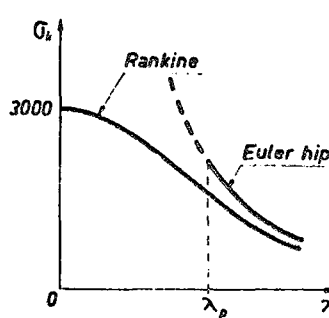
$$P_k = \frac{P_M}{1 + P_M/P_E} = \frac{P_M}{1 + P_M \lambda^2 / \pi^2 EA} \quad \text{veya kritik gerilme için}$$

$$\sigma_k = \frac{a}{1 + b \lambda^2} \quad (4.7)$$

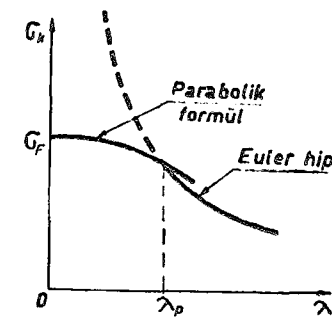
şeklinde bir formül bulunur. Burada a ve b yalnız malzeme ile ilgili sabitlerdir. Örneğin St.37 için Rankine formülü

$$\sigma_k = \frac{3000}{1 + 0.000077 \lambda^2} \quad (4.8)$$

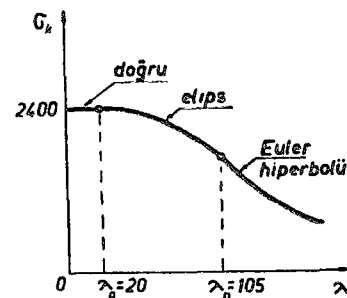
şeklindedir. Şekil 4.3.de Rankine formülü grafik olarak gösterilmiştir.



Şekil 4.3



Şekil 4.4



Şekil 4.5

Amprik formüller arasında nisbeten basit bir ifadeye sahip olan parabolik formülü sayabiliyoruz. Bu formülle göre elastik olmayan bölgede kritik gerilme eğrisi çelik için bir parabolle gösterilmektedir :

$$\sigma_k = a - b \lambda^2 \quad (4.9)$$

Burada  $a$  ve  $b$  malzemeye bağlı sabitlerdir. Bunlardan  $a$  sabiti malzemenin basınçtaki akma sınırı olarak alınabilir, çünkü  $\lambda=0$  için  $\sigma_k=a=\sigma_F$  olacaktır.  $b$  sabiti ise  $\lambda=\lambda_p$  için  $\sigma_k=\sigma_p$  şartından hesaplanmalıdır; ancak bu takdirde Euler hiperbolü ile ordinat yönünden bir süreklilik sağlanabilir:  $b=a/\lambda_p^2-\pi^2E/\lambda_p^4$  eder. Şekil 4.4 de parabolik formül ve Euler hiperbolü şematik olarak gösterilmiştir. Herşeye rağmen  $\lambda=\lambda_p$  için iki eğrinin teğetlerinde bir süreksizlik olduğuna dikkat etmelidir. İki bölgenin birleşim noktasındaki bu teğet süreksizliğini ortadan kaldırmak için, elastik olmayan bölgede,  $(\sigma_k, \lambda)$  bağıntısını iki parçalı bir eğri kabul etmek gerekir. Şekil 4.5 de bu tip  $(\sigma_k, \lambda)$  eğrisi gösterilmiştir. Birinci parça  $0 \leq \lambda \leq \lambda_0$  arasında olup

$$\sigma_k = \sigma_F \quad 0 \leq \lambda \leq \lambda_0 \quad (4.10)$$

gibi apsis ekseniye paralel bir doğrudan ibarettir; burada  $\sigma_F$  ile çeliğin basınçtaki akma sınırı gösterilmiştir.  $\lambda_0$  da, seçilen bir ara narinlik derecesidir. Eğrinin ikinci parçası bir elipsten ibaret olup,  $\lambda=\lambda_0$  noktasında yatay doğuya  $\lambda=\lambda_p$  de Euler hiperbolüne teğettir. Bu özelliklere sahip elipsin denklemi,  $\lambda_0 = 20$ ,  $\lambda_p = 105$  ve  $\sigma_p = 1900 \text{ kg/cm}^2$  alınmak şartıyla

$$\sigma_k = 1778 + 7.178 \sqrt{7515 - (\lambda - 20)^2} \quad 20 \leq \lambda \leq 105 \quad (4.11)$$

den ibarettir. Benzer  $(\sigma_k, \lambda)$  eğrisi St. 52 için de düşünülebilir.

Engesser'in çubukların elastik olmayan burkulma problemi üzerindeki teorik araştırmaları sonucunda basit bir düşünceye dayanarak

$$\sigma_k = \frac{\pi^2 E_t}{\lambda^2} \quad \lambda \leq \lambda_p \quad (4.12)$$

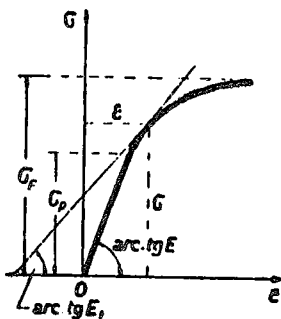
formülüne ileri sürülmüştür. Engesser formülü ile (4.2) de verilen Euler formülünün tek farkı oradaki sabit elastisite modülü  $E$  yerine burada  $E_t$  ile gösterilen ve teğet modülü denen değişken bir büyülüüğün konmasıdır. Şekil 4.6. da malzemenin orantılılık sınırının üstünde tipik  $\sigma, \epsilon$  diyagramı gösterilmiştir.  $\sigma > \sigma_p$  için  $E_t$  modülünün tarifi

$$E_t = \left( \frac{d\sigma}{d\epsilon} \right)_{\sigma=\sigma_k} \quad (4.13)$$

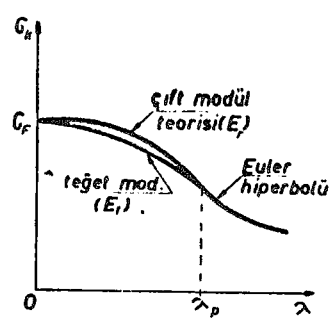
dan ibarettir. Genel olarak  $E_t$  modülü  $\sigma$  ya bağlı olduğu için önce bir  $\sigma=\sigma_k$  seçilir. Buna karşılık gelen  $E_t$  bulunur ve (4.12) den

$$\lambda = \pi \sqrt{\frac{E_t}{\sigma_k}} \quad (4.14)$$

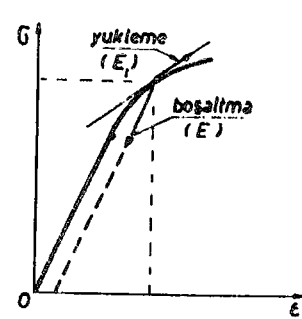
şeklinde narinlik hesaplanır. Bu tarzda elde olunan kritik gerilme eğrisi şekil 4.7 de gösterilmiştir.  $(\sigma, \epsilon)$  diyagramında yatay eşiğe karşılık gelen akma sınırı için,  $E_t=0$  olduğundan  $\lambda=0$  dir.



Şekil 4.6



Şekil 4.7



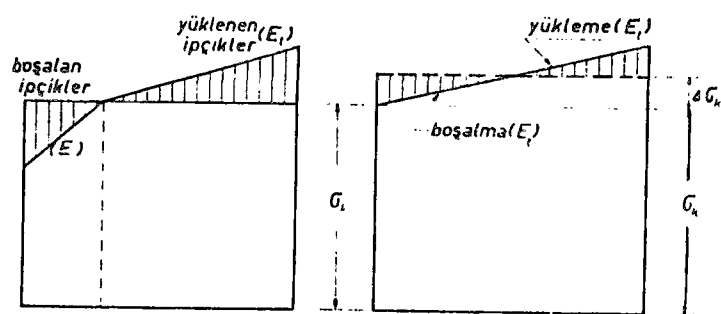
Şekil 4.8

Engesser teorisi bu haliyle yetersizdir. Çubuk farksız denge konumuna ulaşınca I ile gösterilen doğru denge konumu yanında, ona çok yakın II ile gösterilen eğri bir denge konumu bulunması gereklidir. O halde çubuk I den II ye geçerken yani bükülürken bazı liflerdeki basınç gerilmesinin artması (yükleme), bazı liflerdekinin de azalması (boşaltma) gereklidir. Çelik gibi plastik özelliğe sahip bir malzemede, elastik sınırın üzerinde yükleme ve boşaltma eğrileri aynı değildir (bkz. Şekil 4.8). Bu duruma göre kritik gerilmeyi ( $\lambda_{cr}$ ) olduğu gibi yalnız  $E_t$  modülünün değil  $E$  modülünün de etkimesi gereklidir. Kısaca teori çift modülü olmalıdır.

$$\sigma_k = \frac{\pi^2 E_r}{\lambda^2} \quad (4.15)$$

Burada  $E_r$  ile gösterilen modül  $E$  ve  $E_t$  modüllerine ve kesitin şecline bağlı olan indirgenmiş bir modüldür.

$E_r$  nin hesabı şun esasa dayanır : Kolon eğri forma geçince kesitte gerilme dağılışı Şekil 4.9.a daki gibi olur. Toplam kuvvet sabit kalmak şartıyla bazı liflerdeki gerilmeler artar ve bir kısmında da azalır. Şekildeki taralı diyagram eğilme momentine karşılık gelen dağılışı gösterir, fakat çekme ve basınç kısmındaki modüller eşit değildir. Böyle hallerde eğilik - moment bağıntısını indirgenmiş bir modülle ifade etmek olanağıdır.



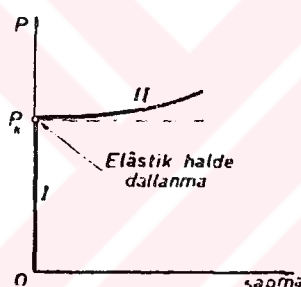
Şekil 4.9

Kesitin geometrisine bağlı  $E_r$  modülü dikdörtgen kesit için

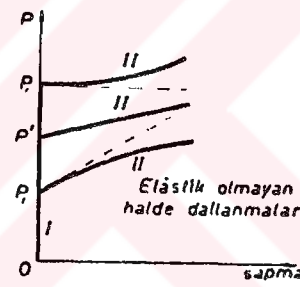
$$E_r = \frac{4E \cdot E_t}{(\sqrt{E} + \sqrt{E_t})^2} \quad (4.16)$$

olarak bulunur.  $E \geq E_t$  olduğundan daima  $E_r \geq E_t$  eder ki bu da (4.15) ile hesaplanandan büyük edeceğini gösterir. Şekil 4.7 de çift modül teorisinden elde olunan  $(\sigma_k, \lambda)$  diyagramı da şematik olarak gösterilmiştir.

Elastik olmayan stabilite problemleri Shanley'in araştırmaları ile aydınlatılmıştır. Shanley'in esas fikri söylece özettlenebilir : Eğer stabilite problemleri bir dallanma problemi olarak ele alınırsa elastik olanla olmayan arasında prensip yönünden çok önemli farklar vardır. Elastik halde yük ve yerdeğiştirme eğrisinde dallanma daima farksız denge konumlarında olmaktadır ve çubuk, yakın eğri formdaki dengeye geçerken  $P$  yükü sabit kalmaktadır. O halde dallanma eğrisinin  $P=P_k$  da sapma eksenine paralel bir yatay teğeti bulunmaktadır (bkz. şekil 4.10). Elastik olmayan hale gelince Shanley göstermiştir ki dallanma  $P$  yükünün çeşitli değerlerinde mümkün olmaktadır (çok değerlilik). Ancak çeşitli yük seviyesindeki dallanmalarda yük sabit kalmamaktadır. Demek ki dallanma eğrisinin başlangıç teğetleri artık, elastik halde olduğu gibi, sapma eksenine paralel olmayacağıdır (bkz. şekil 4.11).



Şekil 4.10



Şekil 4.11

Ayrıca Shanley ispat etmiştir ki teğeti yatay olmayan ilk dallanma ancak

$$P_t = \frac{\pi^2 E_t}{\lambda^2} A = \frac{\pi^2 E_t}{\ell_b^2} I \quad (4.17)$$

değerinde mümkündür. Bu da teğet modülne göre hesaplanan kritik yükün aynıasıdır. Bu arada önemli noktalardan biri de hangi yük seviyesinde, dallanma yük sabit kalarak meydana gelir sorusudur. Bunun cevabı olan yok

$$P_r = \frac{\pi^2 E_r}{\lambda^2} A = \frac{\pi^2 E_r}{\ell_b^2} I \quad (4.18)$$

değerinden ibarettir. Bu ise çift modülle bulunan kritik yükün aynıasıdır. Bu duruma göre Engesser'in ilk verdiği ve teğet modülü esasına dayanan yük ile sonradan çift modülden hareket ederek hesapladığı yükün ikisi de aynı iki tip dallanmaya karşılık gelen

değerlerdir. Ayrıca  $P_t < P' < P_r$  arasındaki her  $P'$  yükü için de bir dallanma olanaklıdır. Dallanmada yük arttığı takdirde, eğilme hesaplarının tek bir modül ile yapılabileceğini, şekil 31.b deki gerilme dağılışı açıkça göstermektedir. Shanley'in ana hatlarıyla açıklanan fikirlerini özetleyecek olursak, elastik olmayan durumlarda :

- Dallanma çeşitli yük seviyeleri için mümkündür(sonsuz).
- Yük artmak şartıyla, dallanmanın mümkün olduğu en küçük yük (4.17) de verilen  $P_t$  yüküdür.

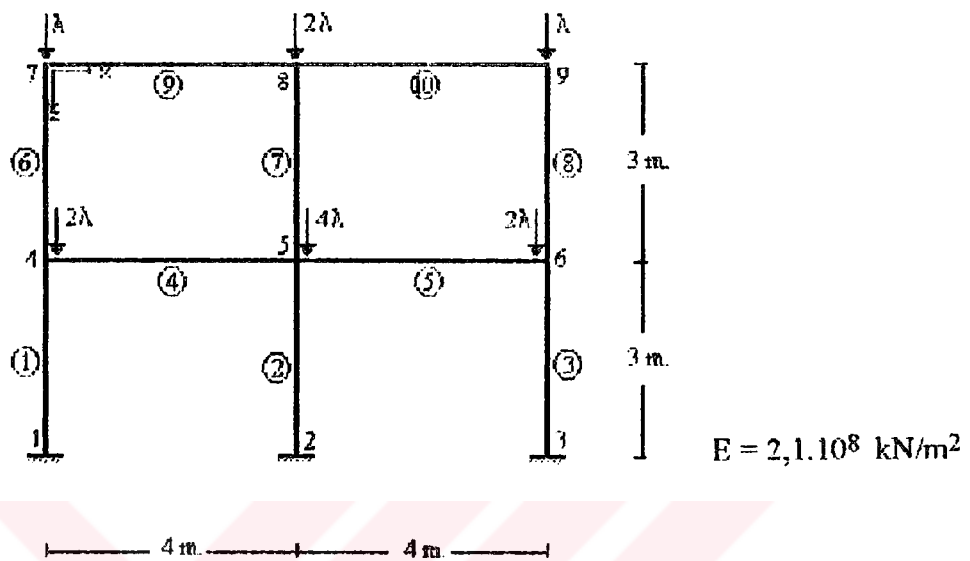
Shanley teorisinden anlaşıldığına göre teğet modülü ile hesaplanan

$$P_t = \frac{\pi^2 E_t}{\ell_b^2} J = (P')_{\min} \quad (4.19)$$

yükü en küçük dallanma yüküdür ; onun için emniyet tarafında bulunan bir sınır değer sayılması gereklidir.

## 5. SAYISAL UYGULAMALAR

Aşağıdaki stabilité problemi önce matris metoduyla sonra da Mc Minn'in metoduyla analiz edilerek kritik yük çarpanı hesaplanacak, sonuçlar karşılaştırılacaktır.



Şekil 5.1

Kolonlar : IPB 300

$$I_y = 25170 \text{ cm}^4$$

$$A = 149 \text{ cm}^2$$

Kirişler : IPB 200

$$I_y = 5700 \text{ cm}^4$$

$$A = 78,1 \text{ cm}^2$$

### 5.1 MATRİS METODU İLE ÇÖZÜM

Eleman Tablosu

Eleman no	$l$ ucu	$r$ ucu	$\ell_i$	Cos $\alpha$	Sin $\alpha$
1	1	4	3	0	-1
2	2	5	3	0	-1
3	3	6	3	0	-1
4	4	5	4	1	0
5	5	6	4	1	0
6	4	7	3	0	-1
7	5	8	3	0	-1
8	6	9	3	0	-1
9	7	8	4	1	0
10	8	9	4	1	0

### Elastik Rijitlik Matrisi ( $\underline{K}^e$ ) nin Direkt Rijitlik Matrisi Yöntemiyle Oluşturulması

$$\underline{K}^e = \begin{bmatrix} \underline{k}_{44}^1 + \underline{k}_{44}^4 + \underline{k}_{44}^6 & \underline{k}_{45}^6 & 0 & \underline{k}_{47}^6 & 0 & 0 \\ \underline{k}_{55}^2 + \underline{k}_{55}^4 + \underline{k}_{55}^7 + \underline{k}_{55}^5 & \underline{k}_{56}^2 & 0 & \underline{k}_{58}^7 & 0 & 0 \\ & \underline{k}_{66}^3 + \underline{k}_{66}^5 + \underline{k}_{66}^9 & 0 & 0 & \underline{k}_{69}^8 & 0 \\ & \text{sim.} & \underline{k}_{77}^6 + \underline{k}_{77}^9 & \underline{k}_{78}^9 & 0 & 0 \\ & & & \underline{k}_{88}^7 + \underline{k}_{88}^9 + \underline{k}_{88}^{10} & \underline{k}_{89}^{10} & \underline{k}_{99}^8 + \underline{k}_{99}^{10} \\ & & & & & \end{bmatrix}$$

1,2,3,6,7 ve 8 için Eleman Rijitlik Matrisi

$$\underline{k}_e^i = \begin{bmatrix} 23492 & 0 & -35238 & -23492 & 0 & -35238 \\ & 3066869 & 0 & 0 & -3066869 & 0 \\ & & 70476 & 35238 & 0 & 35238 \\ & \text{sim.} & & 23492 & 0 & 35238 \\ & & & & 3066869 & 0 \\ & & & & & 70476 \end{bmatrix}$$

4,5,9 ve 10 için Eleman Rijitlik Matrisi

$$\underline{k}_e^i = \begin{bmatrix} 410032,4 & 0 & 0 & -410032,4 & 0 & 0 \\ & 2244,4 & -4489 & 0 & -2244,4 & 4489 \\ & & 11970 & 0 & 4489 & 5985 \\ & \text{sim.} & & 410032,4 & 0 & 0 \\ & & & & 2244,4 & 4489 \\ & & & & & 11970 \end{bmatrix}$$

### Geometrik Rijitlik Matrisi ( $\underline{K}^g$ ) nin Direkt Rijitlik Matrisi Yöntemiyle Olusturulmasi

$$\underline{K}_g = \begin{bmatrix} \underline{k}_{44}^1 + \underline{k}_{44}^6 & 0 & 0 & \underline{k}_{47}^6 & 0 & 0 \\ 0 & \underline{k}_{55}^2 + \underline{k}_{55}^7 & 0 & 0 & \underline{k}_{58}^7 & 0 \\ 0 & 0 & \underline{k}_{66}^3 + \underline{k}_{66}^8 & 0 & 0 & \underline{k}_{69}^8 \\ 0 & 0 & 0 & \underline{k}_{77}^6 & 0 & 0 \\ 0 & 0 & 0 & 0 & \underline{k}_{88}^7 & 0 \\ 0 & 0 & 0 & 0 & 0 & \underline{k}_{99}^8 \end{bmatrix}_{18 \times 18}$$

1,2,3,6,7 ve 8 için Eleman Geometrik Rijitlik Matrisi

$$\underline{k}_g^i = F_1 \cdot \begin{bmatrix} 6/15 & 0 & -1/10 & -6/15 & 0 & -1/10 \\ 0 & 0 & 0 & 0 & 0 & 0 \\ 0 & 6/15 & 1/10 & 0 & -1/10 & \\ 0 & 6/15 & 0 & 1/10 & & \\ 0 & 0 & 0 & 0 & & \\ 0 & 0 & 0 & 6/15 & & \end{bmatrix}$$

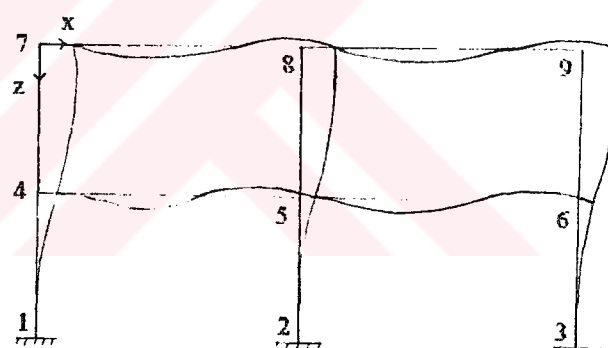
(Kg)=

$$(\underline{K}) = \begin{bmatrix} 3500.95 & 0 & 756.558 & 3005.49 & -6.0005 & -28.492 & 5030.94 & 0.21167 & 1.02615 & -304.34 & 6.09850 & 1941.08 & 117.214 & -48.294 & 2103.80 & 3806.36 & 38.9954 & 625.423 \\ 0 & 0 & 10463.5 & 649.487 & -82.990 & -394.06 & 1087.18 & 2.92750 & 14.1920 & -907.39 & 80.8032 & -4069.8 & -349.04 & 4.74321 & 459.604 & -2603.9 & -62.202 & 1291.96 \\ 756.558 & 0 & 649.487 & 8990.77 & -5.1513 & 1370.80 & 15049.8 & -10.499 & 51.701 & 366.709 & 14.28558 & 5891.26 & 149.208 & -132.27 & 4886.97 & 10787.6 & 121.341 & 2221.68 \\ 3005.49 & 0 & -82.990 & -5.1513 & 0.65822 & 3.12548 & -8.6228 & -0.0232 & -0.1125 & 7.19588 & -0.6411 & 32.2793 & 2.76840 & -0.0376 & -3.6452 & 20.6530 & 0.49335 & -10.247 \\ -6.0005 & 0 & -394.06 & 1370.80 & 3.12548 & 1950.1 & 2291.60 & -148.89 & -732.97 & 379.951 & 139.322 & 1322.54 & -1323.5 & -28.599 & -5780.1 & -3428.5 & -80.989 & 3032.66 \\ -28.492 & 0 & 1087.18 & 15049.8 & -8.6228 & 2294.60 & 38502.7 & -17.575 & 1389.74 & 2475.50 & 22.4037 & 13706.3 & 2030.29 & -287.17 & 12186.4 & 23234.7 & 265.773 & 4929.77 \\ 5030.94 & 0 & 2.92760 & -10.499 & -0.0232 & -148.89 & -17.575 & 1.39984 & 5.61116 & -2.9009 & -1.0672 & -10.090 & 10.1350 & 0.21890 & 51.9011 & 24.2695 & 0.42054 & -23.227 \\ 0 & 1.02615 & 0 & 14.1920 & -51.701 & -0.1125 & -732.97 & 1389.74 & 5.61116 & 10506.6 & 97.4075 & -8.1863 & 372.004 & 301.197 & 75.2895 & 816.814 & -4404.0 & -184.86 & -2333.3 \\ -304.34 & 0 & -907.39 & 866.909 & 7.19588 & 379.951 & 2475.50 & -2.2009 & 97.4075 & 1055.10 & -5.5335 & 1666.35 & 789.336 & -24.852 & 602.756 & 6061.41 & 114.569 & -1879.1 \\ 6.09850 & 0 & 80.8432 & 14.28558 & -0.6411 & 137.322 & 22.4307 & -1.0672 & -8.1853 & -5.5335 & 1.65538 & -24.363 & 13.385 & -0.1560 & -46.947 & 50.990 & -1.1579 & 35.0889 \\ 1941.08 & 0 & -4069.8 & 5891.26 & 32.2793 & 1322.54 & 13706.3 & -10.090 & 372.004 & 1666.35 & -24.363 & 12999.1 & 645.781 & -244.55 & 4451.26 & 10945.2 & 128.890 & 1954.27 \\ 117.214 & 0 & -348.04 & 149.208 & -2.76840 & -1.323.5 & 2060.29 & 10.1350 & 301.197 & 789.336 & -13.385 & 645.781 & 2339.96 & -1.5371 & 1922.19 & 14351.5 & 278.806 & -661.8.5 \\ -48.294 & 0 & 4.7921 & -132.27 & -0.0376 & -88.599 & -207.17 & 0.21890 & 75.2895 & -24.852 & -0.1560 & -244.55 & -1.5371 & 5.88405 & -90.195 & -204.63 & -2.96932 & -92.393 \\ 2103.80 & 0 & 459.404 & 4886.97 & -3.6452 & -6780.1 & 12186.4 & 51.9011 & 816.814 & 602.756 & -46.947 & 4451.26 & 1922.19 & -90.195 & 16844.0 & 11040.4 & -57.145 & 352.793 \\ 3806.36 & 0 & -2603.9 & 10787.6 & 20.6530 & 3428.5 & 25334.7 & 26.3695 & -4404.0 & 6061.41 & -50.990 & 10945.2 & 14351.5 & -204.63 & 11040.4 & 135867. & 2761.13 & -51.805. \\ 38.9954 & 0 & -62.202 & 121.341 & 0.49335 & -80.989 & 265.773 & 0.653054 & -184.86 & 114.569 & -1.1579 & 129.890 & 278.806 & -2.8882 & -57.1.45 & 2761.13 & 62.6174 & -1129.8 \\ 625.453 & 0 & 1291.96 & 2221.68 & -10.247 & 3032.66 & 4929.77 & -23.227 & -2345.3 & -1879.1 & 35.0889 & 1956.27 & -6618.5 & -92.393 & 352.793 & -51805. & -1129.8 & 36339.2 \end{bmatrix}$$

K<sup>e</sup> ve K<sup>g</sup> matrisleri oluşturulduktan sonra bir genel özdeğer problemi olan  $(\underline{K}^e + \lambda \cdot \underline{K}^g) \cdot \underline{r} = 0$  matrisel stabilité bağıntısı, Bölüm 1.4.2. deki Cholesky yöntemiyle  $(\tilde{\underline{K}}^e - \Lambda \underline{I}) \cdot \underline{r} = 0$  özel özdeğer problemine dönüştürülür. Sonuç olarak  $\lambda$  özdeğerleri ve  $\underline{r}$  özvektörleri bulunur. En küçük  $\lambda$  özdegeri ve karşılık gelen  $\underline{r}$  özvektörü şöyledir :

$$\lambda_1 = 5990,57 \text{ kN}$$

$$\underline{r}_1 = \begin{bmatrix} 0,5 \cdot 10^{-2} & r_{4x} \\ -0,302 \cdot 10^{-4} & r_{4z} \\ -0,217 \cdot 10^{-2} & \theta_4 \\ 0,502 \cdot 10^{-2} & r_{5x} \\ 0 & r_{5z} \\ -0,202 \cdot 10^{-2} & \theta_5 \\ 0,5 \cdot 10^{-2} & r_{6x} \\ 0,302 \cdot 10^{-4} & r_{6z} \\ -0,217 \cdot 10^{-2} & \theta_6 \\ 0,111 \cdot 10^{-1} & r_{7x} \\ -0,425 \cdot 10^{-4} & r_{7z} \\ -0,159 \cdot 10^{-2} & \theta_7 \\ 0,111 \cdot 10^{-1} & r_{8x} \\ 0 & r_{8z} \\ -0,129 \cdot 10^{-2} & \theta_8 \\ 0,111 \cdot 10^{-1} & r_{9x} \\ 0,425 \cdot 10^{-4} & r_{9z} \\ -0,159 \cdot 10^{-2} & \theta_9 \end{bmatrix}$$

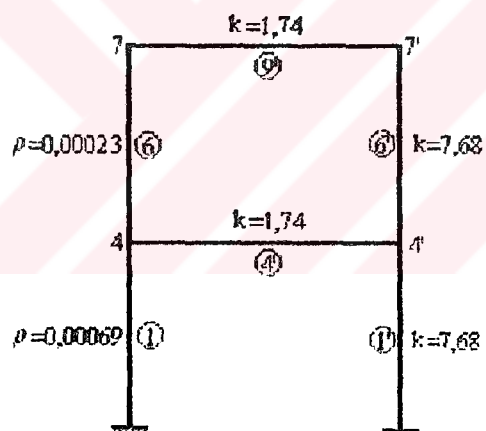


Şekil 5.2 Kalitatif burkulma diagramı

## 5.2. MC MINN'İN METODUYLA ÇÖZÜM

Cözüm için sistem önce Lightfoot yöntemiyle eşdeğer tek açıklıklı sisteme dönüştürülür.

Eleman	P	I	$\ell$	k	$P_E$	Eşdeğer $\rho$	Eşdeğer k
1 & 3	3	604,71	118,11	5,1	5796,46	$(1+2+1)/(5796,46)*3=$	7,68
		2		2			
2	6	604,71	118,11	5,1	5796,46	0,00023	
		2		2			
6 & 8	1	604,71	118,11	5,1	5796,46	$(3+6+3)/(5796,46*3)=$	7,68
		2		2			
7	2	604,71	118,11	5,1	5796,46	0,00069	
		2		2			
Kirişler	-	136,94	157,48	0,8	735,720	-	1,74
		0		7			



Şekil 5.3

Şimdi, elde ettigimiz bu eşdeğer tek açıklıklı sisteme Mc Minn metodunu uygulayabiliriz. Başlangıç olarak W=500 seçelim.

W=500

Eleman	k	$\rho_{500}$	n	o	n.k	o.k
6	7,68	0,115	0,499	1,200	3,832	9,216
1	7,68	0,345	-0,52	1,918	-3,994	14,73

$$K_D = \begin{bmatrix} (n.k)_6 + 6.k_9 & - (n.k)_6 \\ - (n.k)_6 & (n.k)_1 + (n.k)_6 + 6.k_4 \end{bmatrix} \cdot \begin{bmatrix} 14,272 & 9,216 \\ 9,216 & 10,278 \end{bmatrix}$$

Esas diagonal baskın olduğundan W=500 kritik yükten küçüktür.

W=700

Eleman	k	$\rho_{700}$	n	o	n.k	o.k
6	7,68	0,161	0,371	1,34	2,85	10,29
1	7,68	0,483	-1,549	2,68	-11,9	20,58

$$K_D = \begin{bmatrix} 13,29 & -10,29 \\ -10,29 & 1,39 \end{bmatrix} \quad Q_{700} = \begin{bmatrix} -1 & -7,403 \\ -0,774 & -1 \end{bmatrix}$$

Q nun en büyük kökü  $\lambda_1 = -3,39$  dur.  $|\lambda_1| > |-2|$  olduğundan kritik yük aşılmış demektir Kritik yük 500 ile 700 arasındadır.

W=600

Eleman	k	$\rho_{600}$	n	o	n.k	o.k
6	7,68	0,138	0,507	1,261	3,894	9,685
1	7,68	0,414	-0,994	2,261	-7,634	17,36

$$K_D = \begin{bmatrix} 14,33 & -9,685 \\ -9,685 & 6,7 \end{bmatrix} \quad Q_{600} = \begin{bmatrix} -1 & -1,4455 \\ -6,67585 & -1 \end{bmatrix}$$

Q nun en büyük kökü  $\lambda_1 = -1,988$  dir. Kritik yüke oldukça yaklaşılmış durumda.

W=610

Eleman	k	$\rho_{610}$	n	o	n.k	o.k
6	7,68	0,1403	0,497	1,26745	3,8170	9,7340
1	7,68	0,4209	-1,043	2,29720	-8,0102	17,642

$$K_D = \begin{bmatrix} 14,257 & -9,734 \\ -9,734 & 6,2468 \end{bmatrix} \quad Q_{610} = \begin{bmatrix} -1 & -1,5582 \\ -0,683 & -1 \end{bmatrix}$$

Q nun en büyük kökü  $\lambda_1 = -2,03$  olduğundan kritik yükün biraz üzerindedir.

W=603

Eleman	k	$\rho_{603}$	n	o	n.k	o.k
6	7,68	0,1387	0,504	1,260	3,871	9,677
1	7,68	0,4161	-1,010	2,272	-7,757	17,45

$$K_D = \begin{bmatrix} 14,311 & -9,677 \\ -9,677 & 6,554 \end{bmatrix} \quad Q_{603} = \begin{bmatrix} -1 & -1,477 \\ -0,6762 & -1 \end{bmatrix}$$

$$\lambda_1 = -1,9994 \pm -2 \quad X = \{ 1,477 \quad 1 \}$$

Q nun en büyük kökü  $\lambda_1 = -1,9994 \pm -2$  olduğundan kritik yük We=603 ton=6030 kN bulunmuş olur. Bu sonuç, matris metoduyla bulunan  $\lambda_k = 5990,57$  kN sonucundan sadece % 0,65 farklıdır.

### 5.3 SİSTEMİN YAKLAŞIK BURKULMA YÜKÜNÜN TS 500 ' DE BULUNAN ABAKLAR YARDIMIYLA HESABI

Bu kısımda sistemin TS 500 ' de verilen formül ve abaklardan yararlanarak burkulma yükü araştırılmıştır. Çerçeve yanal yük olmadığı için burkulmadan önce şekil değiştirmeyen sistem olarak kabul edilmiştir.

Kolonlar tek tek ele alınmış, birleşimleri ve rıjilikleri ayrı ayrı incelenmiş olup, her kolon için ayrı burkulma yükü hesaplanmış ve bunların içinden en küçük olanı ele alınmıştır.

Kullanılan formüller ve notasyonlarının anlamı aşağıdaki gibidir.

$$N_k = \frac{\pi^2 (EI)}{(k\ell)^2}$$

$N_k$  : Adı geçen kolona ait kritik burkulma yükü

EI : Kolonun alt ve üst birleşimleri göz önünde bulundurularak formülle bulunacak rıjılığının adıdır.

k : Abaklardan  $\alpha_a$  ve  $\alpha_b$  sayıları yardımıyla bulunan katsayı. a ve b katsayıları kolonun alt ve üst uçlarını göstermektedir.

$\ell$  : Kolon boyu

$$\alpha = \frac{\sum \frac{I}{\ell} (\text{kolon})}{\sum \frac{I}{\ell} (\text{kiriş})}$$

Kirişlerde çatlaklı kesit atalet momentleri temel alınmıştır. Çatlaklı kesit atalet momenti, brüt kesit atalet momentinin %50 si olarak alınmıştır.

$$EI = \frac{E_c I_c}{2.5} \left( \frac{1}{1 + R_m} \right)$$

$E_c I_c$  : Bağıntıdaki brüt beton kesitin eğilme rıjılığının adıdır

$R_m$  : Basınç elemanına etkiyen kalıcı eksenel yükün toplam eksenel yükle oranıdır

$R_m$  katsayısının değişken olabileceği düşünülmerek 0,25 ile 0,50 arasında 0,05 artımla bütün değerler için hesap yapılmıştır.

Once bütün kolonlara ait  $\alpha_a$  ve  $\alpha_b$  katsayıları bulunup, bunların yardımıyla abaktan k katsayıları alınmıştır. Her kolona P yükünün ayrı katları olarak etkiyen normal kuvvetler biçiminde alınan yükler olduğu için P yükünün başındaki katsayı esas alınarak aşağıdaki programla hesap yapılmıştır.

Bu programda kullanılan başlıca notasyonlardan,

R : Adı geçen kolona ait brüt EI değeri

J :  $R_m$  değeri

$P_k$  : Kritik P burkulma yükü

### 10 ' TS 500 BURKULMA HESABI

20'

30 PI=3.141592

40 INPUT "Kolon sayısı :" ; N

50 FOR I = 1 TO N

60 INPUT " Kolon adı :" ; ad

70 INPUT " K , L , P , R :" ; K , L , P , R

80 D = K \* L

90 FOR J = 0.25 TO 0.55 STEP 0.05

100 C = (R / 2.5)\*(1 / (1 + J))

110 PK=(PI ^ 2 \* C / D ^ 2) / P

120 PRINT AD , J , PK

130 NEXT J

140 NEXT I

Programdan Çıkan Sonuçlar :

KOLON NO : 6	RM= .25	KRITIK YUK= 19511.93
KOLON NO : 6	RM= .3	KRITIK YUK= 18761.47
KOLON NO : 6	RM= .35	KRITIK YUK= 18066.6
KOLON NO : 6	RM= .4	KRITIK YUK= 17421.37
KOLON NO : 6	RM= .45	KRITIK YUK= 16820.63
KOLON NO : 6	RM= .5000001	KRITIK YUK= 16259.94
KOLON NO : 1	RM= .25	KRITIK YUK= 12986.44
KOLON NO : 1	RM= .3	KRITIK YUK= 12486.96
KOLON NO : 1	RM= .35	KRITIK YUK= 12024.48
KOLON NO : 1	RM= .4	KRITIK YUK= 11595.04
KOLON NO : 1	RM= .45	KRITIK YUK= 11195.21
KOLON NO : 1	RM= .5000001	KRITIK YUK= 10822.03
KOLON NO : 7	RM= .25	KRITIK YUK= 10276.2
KOLON NO : 7	RM= .3	KRITIK YUK= 9880.958
KOLON NO : 7	RM= .35	KRITIK YUK= 9514.996
KOLON NO : 7	RM= .4	KRITIK YUK= 9175.175
KOLON NO : 7	RM= .45	KRITIK YUK= 8860.789
KOLON NO : 7	RM= .5000001	KRITIK YUK= 8563.496
KOLON NO : 2	RM= .25	KRITIK YUK= 6685.602
KOLON NO : 2	RM= .3	KRITIK YUK= 6428.463
KOLON NO : 2	RM= .35	KRITIK YUK= 6190.372
KOLON NO : 2	RM= .4	KRITIK YUK= 5969.287
KOLON NO : 2	RM= .45	KRITIK YUK= 5763.45
KOLON NO : 2	RM= .5000001	KRITIK YUK= 5571.334

Bu sonuçlardan sonra  $R_m$  sayısının çeşitli değerlerine karşılık gelen kritik burkulma yüklerinin tümünün 2 nolu elemandan gerçekleştiği görülmektedir.

Sonuçları matris metodu ile bulunan 5990,57 kN değeri ile karşılaştıracak olursak,  
 $R_m=0,25$  ,  $R_m=0,30$  ve  $R_m=0,35$  için % 11 , % 7 ve % 3.2 kadar güveniksiz tarafta kalmaktadır.  
 $R_m=0,40$  ,  $R_m=0,45$  ve  $R_m=0,50$  için % 0,4 , % 4 ve % 7,5 kadar güvenilikli tarafta kalmaktadır.

## **SONUÇLAR VE ÖNERİLER :**

Bu tez çalışmasında, elastik stabilité hesabının farklı çözüm yöntemleri analiz edilerek, elde edilen sonuçların karşılaştırılması ve değerlendirilmesi için olanak sağlanmış oldu.

Kesin çözüm metodlarından diferansiyel metodun büyük sistemlere uygulanması işlemsel açıdan büyük güçlükler arzetmektedir. Elde edilen yüksek mertebeli diferansiyel denklemlerin çözüm zorluğu, pratik uygulamasını sınırlamaktadır.

Kesin çözüm metodlarından matris metodu ise programlanabilirliği ve tam sonuç vermesi ile en avantajlı metoddur. Ancak matrislerin mertebesinin, sistemin serbestlik derecesinin üç katı olarak gelişmesi ve bunun sonucunda büyük sistemlerde oldukça geniş matrislerle çalışma zorunluluğu, matrislerin ancak bilgisayar yoluya çözümünü sınırlı tutmaktadır.

Yaklaşık çözüm metodları içerisinde yine matrisyel bir metod olan Mc Minn metodu bazı sınırlamalar içerisinde kesin çözüme oldukça yakın sonuçlar vermektedir. Hesaplamalarda hata oranı %1 den küçük olmaktadır. Ancak simetrik yük sınırlaması vardır ve yüksek narinlik dereceleri için çözüm elde edilememektedir. Bu dezavantajlarına rağmen oldukça pratik olması, programlamaya dolayısiyla defalarca çözüm ile kesit optimizasyonuna uygunluğu ve yaklaşıklığı yüksek çözümler vermesi ile geniş kullanım alanı bulabilecek bir metoddur.

Bu çalışmada, T.S. 500 deki abaklar yardımıyla çözüm de incelendi. Kalıcı eksenel yükün toplam eksenel yüke oranı azaldıkça ( $0,25 \leq R_m < 0,35$ ) çözüm güvenliksiz bölgede kalmaktadır. Kalıcı eksenel yükün oranı artsa bile ( $0,35 \leq R_m \leq 0,50$ ), en fazla  $R_m=0,50$  için % 7,5 kadar bir güvenlik sağlamaktadır ki yeterli bir güvenlik olarak gözükmektedir.

**KAYNAKLAR :**

- Barnett,S. , Storey,C. ,Matrix Methods in Stability Theory . Nelson ,1970
- Hestenes,M.R. ,Landesman,E.M. ,Linear Algebra for Mathematics, Science and Engineering , Prentice-Hall International, Inc. :207-281
- Inan,M. ,Cisimlerin Mukavemeti , 1969 ,Elastik Stabilite :483-553
- Lawo-Thierauf , Stabtragwerke , Matrizenmethoden der Statik und Dynamik , Teil 1: Statik :275-311 , 434-458
- Mc Minn,S.J. ,Matrices for Structural Analysis ,1966 ,Stability of Rigid Frames , Lecturer in Structural Engineering, University of Manchester Institute of Science and Technology, E.F.N. Spon Ltd. : 32-43 , 146-203
- T.S. 500 , 1984 :35-38

## ÖZGEÇMİŞ:

19 Aralık 1971 tarihinde Malatya'da doğdum. İlk, orta ve lise eğitimimi Çerkezköy'de tamamladıktan sonra 1988 yılında Yıldız Teknik Üniversitesi İnşaat Mühendisliği bölümüne kayıt oldum. Lisans öğrenimini tamamladığım 1992 yılında Yıldız Teknik Üniversitesi Fen Bilimleri Enstitüsü İnşaat Mühendisliği Anabilim Dalı Yapı Bölümünde yüksek lisans programına girdim.

